

การผลิตและลักษณะสมบัติของโมโนโคลนอลแอนติบอดีต่ออะฟลาทอกซินเอ็ม1

นางสาวอภิญญา แสงดอกไม้

วิทยานิพนธ์นี้เป็นส่วนหนึ่งของการศึกษาตามหลักสูตรปริญญาวิทยาศาสตรมหาบัณฑิต

สาขาวิชาเทคโนโลยีชีวภาพ

คณะวิทยาศาสตร์ จุฬาลงกรณ์มหาวิทยาลัย

ปีการศึกษา 2554

ลิขสิทธิ์ของจุฬาลงกรณ์มหาวิทยาลัย

บทคัดย่อและแฟ้มข้อมูลฉบับเต็มของวิทยานิพนธ์ตั้งแต่ปีการศึกษา 2554 ที่ให้บริการในคลังปัญญาจุฬาฯ (CUIR)

เป็นแฟ้มข้อมูลของนิสิตเจ้าของวิทยานิพนธ์ที่ส่งผ่านทางบัณฑิตวิทยาลัย

The abstract and full text of theses from the academic year 2011 in Chulalongkorn University Intellectual Repository(CUIR)
are the thesis authors' files submitted through the Graduate School.

PRODUCTION AND CHARACTERIZATION OF MONOCLONAL ANTIBODIES AGAINST
AFLATOXIN M₁

Miss Apinya Sangdokmai

A Thesis Submitted in Partial Fulfillment of the Requirements
for the Degree of Master of Science Program in Biotechnology
Faculty of Science
Chulalongkorn University
Academic Year 2011
Copyright of Chulalongkorn University

| | |
|---------------------------------|---|
| หัวข้อวิทยานิพนธ์ | การผลิตและลักษณะสมบัติของโมโนโคลนอลแอนติบอดี ต่ออะฟลาทอกซินเอ็ม1 |
| โดย | นางสาวอภิญา แสงดอกไม้ |
| สาขาวิชา | เทคโนโลยีชีวภาพ |
| อาจารย์ที่ปรึกษาวิทยานิพนธ์หลัก | อาจารย์ ดร.กิตตินันท์ โกมลภิส |
| อาจารย์ที่ปรึกษาวิทยานิพนธ์ร่วม | รองศาสตราจารย์ ดร.ธนาภัทร ปาลกะ |

คณะวิทยาศาสตร์ จุฬาลงกรณ์มหาวิทยาลัย อนุมัติให้บัณฑิตวิทยาลัย
ขอการศึกษาตามหลักสูตรปริญญาวิทยาศาสตรบัณฑิต

..... คณบดีคณะวิทยาศาสตร์
(ศาสตราจารย์ ดร.สุพจน์ หารหนองบัว)

คณะกรรมการสอบวิทยานิพนธ์

..... ประธานกรรมการ
(รองศาสตราจารย์ ดร.พลกฤษณ์ แสงวณิช)

..... อาจารย์ที่ปรึกษาวิทยานิพนธ์หลัก
(อาจารย์ ดร.กิตตินันท์ โกมลภิส)

..... อาจารย์ที่ปรึกษาวิทยานิพนธ์ร่วม
(รองศาสตราจารย์ ดร.ธนาภัทร ปาลกะ)

..... กรรมการ
(รองศาสตราจารย์ ดร.นาตยา งามโรจนวิชัย)

..... กรรมการภายนอกมหาวิทยาลัย
(อาจารย์ ดร.ศรียุทธ ชาญโพธิ์)

อภิญา แสงดอกไม้ : การผลิตและลักษณะสมบัติของโมโนโคลนอลแอนติบอดี
ต่ออะฟลาทอกซินเอ็ม1. (PRODUCTION AND CHARACTERIZATION OF
MONOCLONAL ANTIBODIES AGAINST AFLATOXIN M₁) อ.ที่ปรึกษา
วิทยานิพนธ์หลัก : อ.ดร.กิตตินันท์ โกมลภิส, อ.ที่ปรึกษาวิทยานิพนธ์ร่วม :
รศ.ดร.ธนาภัทร ปาลกะ, 91 หน้า.

อะฟลาทอกซินเอ็ม1 (AFM₁) เป็นแมทาบอลไลต์ที่ถูกเติมหมู่ไฮดรอกซิลของ
อะฟลาทอกซินบี1 (AFB₁) ทนต่อการให้ความร้อน เช่น การพาสเจอร์ไรส์ (pasteurization)
AFM₁ เป็นที่รู้จักกันว่าเป็นสารพิษต่อเซลล์ตับและเป็นสารก่อมะเร็ง ดังนั้นการตรวจหา
ปริมาณของ AFM₁ ที่มีอยู่ในผลิตภัณฑ์นมจึงมีความจำเป็น งานวิจัยนี้จึงมีวัตถุประสงค์ในการ
ผลิตโมโนโคลนอลแอนติบอดีต่อ AFM₁ เพื่อใช้ในการพัฒนาชุดตรวจด้วยวิธี ELISA ต่อไป
โดยทำการฉีดแอนติเจน AFM₁ ที่เชื่อมต่อกับ BSA เพื่อทำการกระตุ้นภูมิคุ้มกันของหนูไมซ์
สายพันธุ์ BALB/c จำนวน 5 ตัว พบว่าหนูทุกตัวตอบสนองต่อแอนติเจน โดยมีค่าระดับ
แอนติบอดีในเลือด ระหว่าง 8,192,000 และ 32,768,000 เมื่อทำการหลอมรวมเซลล์ม้ามของ
หนูไมซ์กับเซลล์มัยอีโลมา P3X พบว่าได้โมโนโคลน จำนวน 5 โคลน ได้แก่ AFM₁-1, AFM₁-3,
AFM₁-9, AFM₁-15 และ AFM₁-17 แอนติบอดีที่ได้มีไอโซไทป์เป็นชนิด IgG₁ ทั้งหมด ความไว
ซึ่งจะวัดในรูปของค่าความเข้มข้นของสารที่ต่ำที่สุดที่สามารถตรวจวัดได้ มีค่าเท่ากับ 16, 15,
5, 7 และ 8 พิโคกรัมต่อมิลลิลิตร ตามลำดับ โมโนโคลนอลแอนติบอดีเกิดปฏิกิริยาข้ามกับ
AFB₁ และ AFG₁ แต่ไม่เกิดปฏิกิริยาข้ามกับสารนอกกลุ่มที่ใช้ทดสอบ ดังนั้นโมโนโคลนอล
แอนติบอดีเหล่านี้ จึงมีศักยภาพในการนำไปใช้พัฒนาชุดตรวจสอบโดยใช้หลักการทาง
ภูมิคุ้มกันวิทยาสำหรับตรวจวัด AFM₁ ได้

สาขาวิชา เทคโนโลยีชีวภาพ
ปีการศึกษา 2554

ลายมือชื่อนิสิต.....
ลายมือชื่อ อ.ที่ปรึกษาวิทยานิพนธ์หลัก.....
ลายมือชื่อ อ.ที่ปรึกษาวิทยานิพนธ์ร่วม

5172591923 : MAJOR BIOTECHNOLOGY

KEYWORDS : AFLATOXIN / AFLATOXIN M₁ / MONOCLONAL ANTIBODY / ELISA

APINYA SANGDOKMAI : PRODUCTION AND CHARACTERIZATION OF
MONOCLONAL ANTIBODIES AGAINST AFLATOXIN M₁. ADVISOR :
KITTINAN KOMOLPIS, Ph.D., CO-ADVISOR : ASSOC.PROF.TANAPAT
PALAGA, Ph.D., 91 pp.

Aflatoxin M₁ (AFM₁) is the hydroxylated metabolites of aflatoxin B₁ (AFB₁) and stable during heat treatments like pasteurization. AFM₁ is known to be a hepatotoxic and carcinogenic agent. Therefore, detection of AFM₁ presented in dairy products is essential. The aim of this work was to generate monoclonal antibodies against AFM₁ for future development of ELISA detection test kit. AFM₁-BSA conjugate was used as an immunogen to immunize five BALB/c mice. All mice responded vigorously to AFM₁ which yielded the antiserum titer between 8,192,000 and 32,768,000. Splenocytes from these mice were fused with P3X myeloma cells to generate hybridoma, yielding five monoclones including AFM₁-1, AFM₁-3, AFM₁-9, AFM₁-15 and AFM₁-17. Isotype of all monoclonal antibodies were IgG₁. Their sensitivity, which was calculated in term of limit of detection, was 16, 15, 5, 7 and 8 pg/ml, respectively. The monoclonal antibodies showed strong cross reactivity with AFB₁ and AFG₁ but the cross reactivities to other substances unrelated to aflatoxins were negligible. Thus, these monoclonal antibodies have a potential to be used in the development of an immunoassay-based test kit for detecting AFM₁.

Field of Study : Biotechnology Student's Signature

Academic Year: 2011 Advisor's Signature

Co-advisor's Signature

กิตติกรรมประกาศ

ขอกราบขอบพระคุณ อาจารย์ ดร.กิตตินันท์ โกมลภิส อาจารย์ที่ปรึกษา
วิทยานิพนธ์ รองศาสตราจารย์ ดร.ธนาภัทร ปาลกะ อาจารย์ที่ปรึกษาวิทยานิพนธ์ร่วม ที่ได้กรุณา
ให้คำปรึกษา แนะนำแนวทางทำการวิจัย ตลอดจนให้ความเห็นในการปรับปรุงงานวิจัยให้สำเร็จโดย
สมบูรณ์

ขอกราบขอบพระคุณ รองศาสตราจารย์ ดร.พลกฤษณ์ แสงวงนิช ประธาน
กรรมการสอบวิทยานิพนธ์ รองศาสตราจารย์ ดร.นาตยา งามโรจนวงนิชย์ กรรมการสอบ
วิทยานิพนธ์ และ อาจารย์ ดร.ศรีเมฆ ชาวโพงพาง กรรมการ (ผู้ทรงคุณวุฒิภายนอก) จาก
ภาควิชาโรคพืช คณะเกษตร มหาวิทยาลัยเกษตรศาสตร์ ที่กรุณาให้ความเห็นและคำแนะนำใน
การจัดทำวิทยานิพนธ์

ขอกราบขอบพระคุณ ผู้บริหาร อาจารย์ ดร. นันทิกา คงเจริญพร และอาจารย์ของ
สถาบันวิจัยเทคโนโลยีชีวภาพและวิศวกรรมพันธุศาสตร์ทุกท่าน สำหรับคำแนะนำในการทำ
วิทยานิพนธ์

ขอขอบคุณบัณฑิตวิทยาลัย สถาบันวิจัยเทคโนโลยีชีวภาพและวิศวกรรมพันธุ
ศาสตร์ หลักสูตรเทคโนโลยีชีวภาพ ที่เอื้อเฟื้อสถานที่ เครื่องมือ และอุปกรณ์ในการทำวิจัยทุกชิ้น

ขอขอบพระคุณ คุณทรงจันทร์ ภูทอง คุณอนุมาศ บัวเขียว และ
คุณอุมาพร พิมพิทักษ์ และเจ้าหน้าที่ของสถาบันวิจัยเทคโนโลยีชีวภาพและวิศวกรรมพันธุศาสตร์
ทุกท่าน รวมทั้งพี่ๆ และน้องๆ ในห้องปฏิบัติการ สำหรับความช่วยเหลือและคำแนะนำ ตั้งแต่
เริ่มต้นการวิจัยจนเสร็จสิ้น

ขอขอบคุณหลักสูตรเทคโนโลยีชีวภาพ คณะวิทยาศาสตร์ และบัณฑิตวิทยาลัย
จุฬาลงกรณ์มหาวิทยาลัย สำหรับทุนสนับสนุนงานวิจัย

สุดท้ายนี้ ขอกราบขอบพระคุณบิดา มารดา และทุกคนในครอบครัวที่ให้การ
สนับสนุนด้านการศึกษามาตลอด อีกทั้งเป็นกำลังใจที่ดีให้เสมอมา

สารบัญ

| | หน้า |
|--|------|
| บทคัดย่อภาษาไทย..... | ง |
| บทคัดย่อภาษาอังกฤษ..... | จ |
| กิตติกรรมประกาศ..... | ฉ |
| สารบัญ..... | ช |
| สารบัญตาราง..... | ฎ |
| สารบัญภาพ..... | ฏ |
| คำอธิบายสัญลักษณ์และคำย่อ..... | ด |
| บทที่ | |
| 1 บทนำ..... | 1 |
| 1.1 ความเป็นมาและความสำคัญของปัญหา..... | 1 |
| 1.2 วัตถุประสงค์ของการวิจัย..... | 2 |
| 1.3 ขอบเขตของการวิจัย..... | 2 |
| 1.4 ประโยชน์ที่คาดว่าจะได้รับ..... | 3 |
| 2 เอกสารและงานวิจัยที่เกี่ยวข้อง..... | 4 |
| 2.1 แนวคิดและทฤษฎี..... | 4 |
| 2.1.1 ที่มาของสารอะฟลาทอกซิน..... | 4 |
| 2.1.2 อาหารที่พบการปนเปื้อนของสารอะฟลาทอกซิน..... | 4 |
| 2.1.3 สูตรโครงสร้างทางเคมีและคุณสมบัติทางกายภาพของสารในกลุ่ม AFs | 5 |
| 2.1.4 ความเป็นพิษของสารในกลุ่ม AFs..... | 7 |
| 2.1.5 การกำหนดปริมาณสารในกลุ่ม AFs..... | 9 |
| 2.1.6 วิธีตรวจวิเคราะห์สาร AFs..... | 11 |
| 2.1.6.1 วิธีทางเคมี..... | 11 |
| 2.1.6.1.1 High Performance Liquid Chromatography..... | 11 |
| 2.1.6.1.2 Liquid Chromatography-Mass Spectrometry..... | 11 |
| 2.1.6.1 วิธีทางภูมิคุ้มกันวิทยา..... | 12 |
| 2.1.7 ทฤษฎีทางภูมิคุ้มกันวิทยา..... | 12 |

| บทที่ | หน้า |
|---|-----------|
| 2.1.7.1 แอนติเจน..... | 12 |
| 2.1.7.2 แอนติบอดี..... | 16 |
| 2.1.7.3 การกระตุ้นบี-ลิมโฟไซต์ให้สร้างภูมิคุ้มกันแบบหลังแอนติบอดี | 20 |
| 2.1.7.4 ความแตกต่างระหว่างพอลิโคลนอลและโมโนโคลนอล แอนติบอดี..... | 20 |
| 2.1.7.5 การผลิตโมโนโคลนอลแอนติบอดีโดยใช้หลักการของ somatic hybridization | 20 |
| 2.1.7.6 การสร้างและการคัดเลือกเซลล์ไฮบริโดมา..... | 22 |
| 2.1.8 หลักการของ ELISA | 25 |
| เอกสารและงานวิจัยที่เกี่ยวข้อง..... | 27 |
| 3 วิธีดำเนินการวิจัย..... | 30 |
| 3.1 สัตว์ทดลองและเซลล์ที่ใช้ในงานวิจัย..... | 30 |
| 3.2 เครื่องมือ วัสดุ และอุปกรณ์ที่ใช้ในงานวิจัย..... | 30 |
| 3.3 สารเคมีที่ใช้ในงานวิจัย..... | 31 |
| 3.4 วิธีการดำเนินงานวิจัย..... | 34 |
| 3.4.1 จัดกระตุ้นระบบภูมิคุ้มกันของหนูให้สร้างแอนติบอดีต่อ AFM₁ | 34 |
| 3.4.2 การเตรียมเซลล์ไฮบริโดมาที่มีความสามารถในการสร้างแอนติบอดี และคัดเลือกโมโนโคลนที่สร้างโมโนโคลนอลแอนติบอดีที่จำเพาะต่อ AFM₁ | 34 |
| 3.4.2.1 การเตรียมเซลล์มัยอโดมา..... | 34 |
| 3.4.2.2 การเตรียมเซลล์ม้าม..... | 35 |
| 3.4.2.3 การหลอมรวมเซลล์..... | 35 |
| 3.4.2.4 คัดเลือกเซลล์ไฮบริโดมาที่มีความสามารถในการสร้าง แอนติบอดีต่อ AFM₁ | 36 |
| 3.4.2.4.1 คัดเลือกขั้นที่ 1 โดยวิธี indirect ELISA | 36 |
| 3.4.2.4.2 คัดเลือกขั้นที่ 2 โดยวิธี indirect competitive ELISA | 36 |

| บทที่ | หน้า |
|--|------|
| 3.4.2.5 การแยกเซลล์ไฮบริโดมาให้ได้เซลล์เดี่ยวโดยวิธี limiting dilution..... | 37 |
| 3.4.2.6 การเก็บเซลล์ไฮบริโดมาในไนโตรเจนเหลว..... | 37 |
| 3.4.2.7 การนำเซลล์ไฮบริโดมาที่เก็บในไนโตรเจนเหลวกลับมาเลี้ยง.... | 37 |
| 3.4.3 การศึกษาลักษณะสมบัติเบื้องต้นของโมโนโคลนอลแอนติบอดีที่ได้..... | 38 |
| 3.4.3.1 การตรวจสอบไอโซไทป์ของโมโนโคลนอลแอนติบอดีโดยใช้ชุดตรวจสอบสำเร็จรูป..... | 38 |
| 3.4.3.2 การทดสอบความไวของโมโนโคลนอลแอนติบอดี..... | 38 |
| 3.4.3.3 การทดสอบความจำเพาะของโมโนโคลนอลแอนติบอดี | 39 |
| 3.4.4 การทำโมโนโคลนอลแอนติบอดีให้บริสุทธิ์..... | 39 |
| 3.4.4.1 การทำโมโนโคลนอลแอนติบอดีให้บริสุทธิ์โดยใช้โปรตีนจี..... | 39 |
| 3.4.4.2 การหาความเข้มข้นของโปรตีนด้วยวิธี BCA assay..... | 40 |
| 3.4.4.3 การหาปริมาณแอนติบอดีด้วยวิธี ELISA..... | 40 |
| 3.4.4.3.1 การหาปริมาณแอนติบอดีหลังทำให้บริสุทธิ์..... | 40 |
| 3.4.4.3.2 การหาปริมาณแอนติบอดีในอาหารเลี้ยงเซลล์ก่อนทำให้บริสุทธิ์..... | 41 |
| 3.4.4.4 การทดสอบความบริสุทธิ์และหามวลโมเลกุลของโมโนโคลนอลแอนติบอดี..... | 41 |
| 3.4.4.4.1 การเตรียมพอลิอะครีลาไมด์เจลชนิดแผ่น..... | 41 |
| 3.4.4.4.2 การเตรียมสารละลายตัวอย่าง..... | 41 |
| 3.4.4.4.3 การทำอิเล็กโทรโฟเรซิส..... | 42 |
| 3.4.5 การทดสอบความไวของโมโนโคลนอลแอนติบอดีหลังให้บริสุทธิ์..... | 42 |
| 4 ผลการทดลองและวิจารณ์ผลการทดลอง..... | 43 |
| 4.1 ชี้ดกระตุ้นระบบภูมิคุ้มกันของหนูให้สร้างแอนติบอดีต่อ AFM ₁ | 43 |
| 4.1.1 การหาระดับแอนติบอดีของหนูทดลองที่ได้รับการฉีดกระตุ้น..... | 43 |
| 4.1.2 การทดสอบความจำเพาะของแอนติบอดีต่อ AFM ₁ ในรูปอิสระ..... | 45 |
| 4.2. การหลอมรวมเซลล์และคัดเลือกเซลล์ไฮบริโดมาที่สร้างโมโนโคลนอลแอนติบอดีต่อ AFM ₁ | 45 |

| บทที่ | หน้า |
|--|------|
| 4.3 การศึกษาลักษณะสมบัติเบื้องต้นของโมโนโคลนอลแอนติบอดี..... | 48 |
| 4.3.1 การตรวจสอบไอโซไทป์ของโมโนโคลนอลแอนติบอดี..... | 48 |
| 4.3.2 การทดสอบความไวของโมโนโคลนอลแอนติบอดีต่อ AFM ₁ ในรูปอิสระ | 49 |
| 4.3.3 การทดสอบความจำเพาะของโมโนโคลนอลแอนติบอดีต่อ AFM ₁ | 53 |
| 4.4 การทำโมโนโคลนอลแอนติบอดีให้บริสุทธิ์บางส่วน..... | 58 |
| 4.4.1 การทำแอนติบอดีให้บริสุทธิ์โดยใช้โปรตีนจี..... | 58 |
| 4.4.2 การหาปริมาณแอนติบอดีที่ได้จากการทำให้บริสุทธิ์..... | 59 |
| 4.4.3 การตรวจสอบความบริสุทธิ์และหามวลโมเลกุลของโมโนโคลนอลแอนติบอดีหลังจากทำให้บริสุทธิ์..... | 60 |
| 4.5 การทดสอบความไวของโมโนโคลนอลแอนติบอดีหลังทำให้บริสุทธิ์..... | 62 |
| 4.5.1 การทดสอบความไวของโมโนโคลนอลแอนติบอดีหลังทำให้บริสุทธิ์..... | 63 |
| 5 สรุปผลการวิจัยและข้อเสนอแนะ..... | 64 |
| รายการอ้างอิง..... | 67 |
| ภาคผนวก..... | 73 |
| ภาคผนวก ก..... | 74 |
| ภาคผนวก ข..... | 85 |
| ประวัติผู้เขียนวิทยานิพนธ์..... | 91 |

สารบัญตาราง

| ตารางที่ | | หน้า |
|----------|--|------|
| 2.1 | สมบัติทางกายภาพและเคมีที่สำคัญของอะฟลาทอกซิน..... | 6 |
| 2.2 | ค่ากำหนดปริมาณสารอะฟลาทอกซินต่ำสุดที่ยอมให้มีในอาหารในบางประเทศ | 10 |
| 2.3 | องค์ประกอบของโปรตีนสายสั้นและสายยาวของ Ig ไส้โตไพบีต่างๆ..... | 18 |
| 2.4 | คุณสมบัติและข้อจำกัดในการผลิตระหว่างโพลีโคลนอนแอนติบอดีและ โมโนโคลนอนแอนติบอดี..... | 21 |
| 3.1 | สัตว์ทดลองและเซลล์ที่ใช้ในงานวิจัย..... | 30 |
| 3.2 | เครื่องมือ และอุปกรณ์ที่ใช้ในงานวิจัย..... | 30 |
| 3.3 | สารเคมีที่ใช้ในงานวิจัย..... | 31 |
| 4.1 | สรุประดับแอนติบอดีของหนูทดลองที่ได้รับการกระตุ้นด้วย AFM ₁ -BSA จำนวน 5 ตัวด้วยวิธี indirect ELISA..... | 44 |
| 4.2 | การทดสอบความสามารถของแอนติบอดีในซีรัมในการจับกับแอนติเจนในรูปแบบ อิสระ โดยวิธี indirect competitive ELISA..... | 45 |
| 4.3 | ผลการหลอมรวมเซลล์ของหนูทั้ง 5 ครั้ง ที่กระตุ้นภูมิคุ้มกันโดยใช้ AFM ₁ -BSA | 47 |
| 4.4 | เซลล์ไฮบริโดมาที่ผลิตแอนติบอดีและสามารถจับกับสาร AFM ₁ อิสระ ที่ได้จาก การหลอมรวมเซลล์ครั้งที่ 5..... | 47 |
| 4.5 | ผลการตรวจสอบไอโซไทป์ของโมโนโคลนอนแอนติบอดีโดยวิธี indirect ELISA | 48 |
| 4.6 | ระดับการเจือจางของแอนติบอดีที่เหมาะสมในการทำ indirect ELISA ที่ความ เข้มข้นของแอนติเจนที่ใช้เคลือบกันหลุมเท่ากับ 0.2 ไมโครกรัมต่อมิลลิลิตร..... | 49 |
| 4.7 | IC ₅₀ และ LOD ของโมโนโคลนอนแอนติบอดี จากการวิเคราะห์ด้วยวิธี indirect competitive ELISA..... | 53 |
| 4.8 | ค่า IC ₅₀ และเปอร์เซ็นต์การเกิดปฏิกิริยาข้ามของโมโนโคลนอนแอนติบอดี AFM ₁ -1 ต่อสารในกลุ่ม AFs และ สารนอกกลุ่มโดยวิธี indirect competitive ELISA..... | 57 |
| 4.9 | ผลสรุปของการทำโมโนโคลนอนแอนติบอดีจากโคลน AFM ₁ -9 ให้บริสุทธิ์..... | 60 |
| 4.10 | ผลของการหามวลโมเลกุลของโมโนโคลนอนแอนติบอดี AFM ₁ -9 หลังจากทำให้ บริสุทธิ์ด้วยเทคนิค SDS-PAGE..... | 62 |

| ตารางที่ | หน้า | |
|---|--|----|
| 4.11 | | |
| ความสัมพัทธ์ระหว่างอัตราส่วนการดูดกลืนแสงและปริมาณ AFM₁ ในการแข่งขันเมื่อทดสอบด้วย indirect competitive ELISA โดยใช้ AFM₁-BSA ความเข้มข้น 0.2 ไมโครกรัมต่อมิลลิลิตรเคลือบที่ก้นหลุมและโมโนโคลนอลแอนติบอดีจากโคลน AFM₁-9 หลังจากทำให้บริสุทธิ์ ความเข้มข้น 40 นาโนกรัมต่อมิลลิลิตร..... | 63 | |
| ก.1 | ค่าการดูดกลืนแสงที่ 450 นาโนเมตรที่ได้จากวิธี indirect ELISA ของซีรัมหนู 74 | |
| ก.2 | ค่าการดูดกลืนแสงที่ 450 นาโนเมตรของแอนติบอดีจากโคลน AFM₁-1, AFM₁-3, AFM₁-9, AFM₁-15 และ AFM₁-17 โดยแข่งขันกับ AFM₁ อีสระ ด้วยวิธี indirect competitive ELISA | 75 |
| ก.3 | ค่าการดูดกลืนแสงที่ 450 นาโนเมตรของแอนติบอดีจากโคลน AFM₁-1, AFM₁-3, AFM₁-9, AFM₁-15 และ AFM₁-17 โดยแข่งขันกับ AFG₁ อีสระ ด้วยวิธี indirect competitive ELISA | 76 |
| ก.4 | ค่าการดูดกลืนแสงที่ 450 นาโนเมตรของแอนติบอดีจากโคลน AFM₁-1, AFM₁-3, AFM₁-9, AFM₁-15 และ AFM₁-17 โดยแข่งขันกับ AFB₁ อีสระ ด้วยวิธี indirect competitive ELISA | 77 |
| ก.5 | ค่าการดูดกลืนแสงที่ 450 นาโนเมตรของแอนติบอดีจากโคลน AFM₁-1, AFM₁-3, AFM₁-9, AFM₁-15 และ AFM₁-17 โดยแข่งขันกับสารนอกกลุ่ม AFs ความเข้มข้น 100 นาโนกรัมต่อมิลลิลิตร ด้วยวิธี indirect competitive ELISA | 78 |
| ก.6 | ค่าการดูดกลืนแสงของโปรตีนที่ 280 นาโนเมตร และค่าการดูดกลืนแสงจากการทำ indirect ELISA ที่ 450 นาโนเมตร..... | 79 |
| ก.7 | ค่าการดูดกลืนแสงที่ความยาวคลื่น 562 นาโนเมตร ของสารละลายโปรตีนมาตรฐาน BSA โดยวิธี BCA | 80 |
| ก.8 | ค่าความเข้มข้นของโปรตีนในแอนติบอดี AFM₁-9 ก่อนทำให้บริสุทธิ์ ที่ความยาวคลื่น 562 นาโนเมตร เทียบกับกราฟมาตรฐานโปรตีน BSA โดยวิธี BCA | 81 |
| ก.9 | ค่าความเข้มข้นของโปรตีนในอาหารเลี้ยงเซลล์หลังทำให้บริสุทธิ์ ที่ความยาวคลื่น 562 นาโนเมตร เทียบกับกราฟมาตรฐานโปรตีน BSA โดยวิธี BCA | 81 |
| ก.10 | ค่าความเข้มข้นของแอนติบอดีในอาหารเลี้ยงเซลล์หลังทำให้บริสุทธิ์ เมื่อเทียบกับกราฟมาตรฐานของแอนติบอดี..... | 81 |

| ตารางที่ | หน้า | |
|----------|---|----|
| ก.11 | ค่าความเข้มข้นของแอนติบอดีที่ทำให้บริสุทธิ์แล้ว โดยวิธี indirect ELISA เพื่อนำไปสร้างกราฟมาตรฐานของแอนติบอดี..... | 82 |
| ก.12 | การหาความเข้มข้นของโมโนโคลนอลแอนติบอดี AFM₁-9 ที่เหมาะสมกับ แอนติเจน ความเข้มข้น 0.2 ไมโครกรัม ด้วยวิธี indirect ELISA | 83 |
| ก.13 | ค่าการดูดกลืนแสงที่ 450 นาโนเมตร ของแอนติบอดีจากโคลน AFM₁-9 หลังทำ ให้บริสุทธิ์ที่ความเข้มข้น 40 นาโนกรัมต่อมิลลิลิตร โดยวิธี indirect competitive ELISA | 84 |

สารบัญภาพ

| ภาพที่ | | หน้า |
|--------|---|------|
| 2.1 | สูตรโครงสร้างทางเคมีของสารในกลุ่ม AFs..... | 6 |
| 2.2 | สารเมแทบอลิท์ของอะฟลาทอกซิน ปี1..... | 7 |
| 2.3 | ระบบภูมิคุ้มกันแบบหลังแอนติบอดี..... | 16 |
| 2.4 | โครงสร้างพื้นฐานของแอนติบอดี..... | 17 |
| 2.5 | โครงสร้างและคุณสมบัติของอิมมูโนโกลบูลินทั้ง 5 ไอโซไทป์..... | 19 |
| 2.6 | แนวทางการสังเคราะห์นิวคลีโอไทด์โดยใช้ de novo pathway และ salvage pathway | 22 |
| 2.7 | ขั้นตอนการผลิตโมโนโคลนอลแอนติบอดีในหนูทดลอง..... | 24 |
| 2.8 | indirect ELISA และ indirect competitive ELISA | 26 |
| 4.1 | ระดับแอนติบอดีจากซีรัมของหนูไม่ซีดที่ฉีดกระตุ้นด้วย AFM₁-BSA จำนวน 5 ตัว ด้วยวิธี indirect ELISA | 44 |
| 4.2 | ความสัมพันธ์ระหว่างอัตราส่วนการดูดกลืนแสง (B/B₀) และปริมาณ AFM₁ ในการแข่งขันเมื่อทดสอบด้วย indirect competitive ELISA โดยใช้ AFM₁-BSA ความเข้มข้น 0.2 ไมโครกรัมต่อมิลลิลิตรเคลือบที่ก้นหลุมและโมโนโคลนอลแอนติบอดีจากโคลน AFM₁-1 | 50 |
| 4.3 | ความสัมพันธ์ระหว่างอัตราส่วนการดูดกลืนแสง (B/B₀) และปริมาณ AFM₁ ในการแข่งขันเมื่อทดสอบด้วย indirect competitive ELISA โดยใช้ AFM₁-BSA ความเข้มข้น 0.2 ไมโครกรัมต่อมิลลิลิตรเคลือบที่ก้นหลุมและโมโนโคลนอลแอนติบอดีจากโคลน AFM₁-3 | 51 |
| 4.4 | ความสัมพันธ์ระหว่างอัตราส่วนการดูดกลืนแสง (B/B₀) และปริมาณ AFM₁ ในการแข่งขันเมื่อทดสอบด้วย indirect competitive ELISA โดยใช้ AFM₁-BSA ความเข้มข้น 0.2 ไมโครกรัมต่อมิลลิลิตรเคลือบที่ก้นหลุมและโมโนโคลนอลแอนติบอดีจากโคลน AFM₁-9 | 51 |

| ภาพที่ | หน้า |
|---|------|
| 4.5 ความสัมพันธ์ระหว่างอัตราส่วนการดูดกลืนแสง (B/B_0) และปริมาณ AFM_1 ในการแข่งขันเมื่อทดสอบด้วย indirect competitive ELISA โดยใช้ AFM_1 -BSA ความเข้มข้น 0.2 ไมโครกรัมต่อมิลลิลิตรเคลือบที่กั้นหลุมและโมโนโคลนอลแอนติบอดีจากโคลน AFM_1 -15..... | 52 |
| 4.6 ความสัมพันธ์ระหว่างอัตราส่วนการดูดกลืนแสง (B/B_0) และปริมาณ AFM_1 ในการแข่งขันเมื่อทดสอบด้วย indirect competitive ELISA โดยใช้ AFM_1 -BSA ความเข้มข้น 0.2 ไมโครกรัมต่อมิลลิลิตรเคลือบที่กั้นหลุมและโมโนโคลนอลแอนติบอดีจากโคลน AFM_1 -17..... | 52 |
| 4.7 กราฟเปรียบเทียบความสัมพันธ์ระหว่างอัตราส่วนการดูดกลืนแสงและปริมาณ AFM_1 ในการแข่งขันเมื่อทดสอบด้วย indirect competitive ELISA ของโมโนโคลนอลแอนติบอดี AFM_1 -1, AFM_1 -3, AFM_1 -9, AFM_1 -15 และ AFM_1 -17 | 53 |
| 4.8 ความสัมพันธ์ของค่าการดูดกลืนแสง (B/B_0) กับความเข้มข้นของสารในกลุ่ม AFs ในการทดสอบปฏิกิริยาข้ามของโมโนโคลนอลแอนติบอดีโคลน AFM_1 -1 โดยวิธี indirect competitive ELISA | 54 |
| 4.9 ความสัมพันธ์ของค่าการดูดกลืนแสง (B/B_0) กับความเข้มข้นของสารในกลุ่ม AFs ในการทดสอบปฏิกิริยาข้ามของโมโนโคลนอลแอนติบอดีโคลน AFM_1 -3 โดยวิธี indirect competitive ELISA | 55 |
| 4.10 ความสัมพันธ์ของค่าการดูดกลืนแสง (B/B_0) กับความเข้มข้นของสารในกลุ่ม AFs ในการทดสอบปฏิกิริยาข้ามของโมโนโคลนอลแอนติบอดีโคลน AFM_1 -9 โดยวิธี indirect competitive ELISA | 55 |
| 4.11 ความสัมพันธ์ของค่าการดูดกลืนแสง (B/B_0) กับความเข้มข้นของสารในกลุ่ม AFs ในการทดสอบปฏิกิริยาข้ามของโมโนโคลนอลแอนติบอดีโคลน AFM_1 -15 โดยวิธี indirect competitive ELISA | 56 |
| 4.12 ความสัมพันธ์ของค่าการดูดกลืนแสง (B/B_0) กับความเข้มข้นของสารในกลุ่ม AFs ในการทดสอบปฏิกิริยาข้ามของโมโนโคลนอลแอนติบอดีโคลน AFM_1 -17 โดยวิธี indirect competitive ELISA | 56 |

| ภาพที่ | หน้า |
|--|------|
| 4.13 | 58 |
| โครมาโตแกรมที่ได้จากการทำโมโนโคลนอลแอนติบอดีจากโคลน AFM₁-9 ให้ บริสุทธิ์ โดยใช้โปรตีนจีคอลัมน์ ซะแอนติบอดีด้วยโกลซินไฮโดรคลอไรด์ บัฟเฟอร์ pH 2.7 อัตราการไหล 1 มิลลิลิตรต่อนาที..... | |
| 4.14 | 61 |
| แสดงแถบโปรตีนของโมโนโคลนอลแอนติบอดี AFM₁-9 หลังจากทำให้บริสุทธิ์ โดยวิธี SDS-PAGE | |
| 4.15 | 63 |
| การเปรียบเทียบความไวของโมโนโคลนอลแอนติบอดีจากโคลน AFM₁-9 ต่อ AFM₁ ระหว่างก่อนและหลังทำให้บริสุทธิ์ ด้วยวิธี indirect competitive ELISA | |
| ก.1 | 80 |
| กราฟมาตรฐานของโปรตีน BSA โดยวิธี BCA | |
| ก.2 | 82 |
| กราฟมาตรฐานของแอนติบอดี โดยวิธี indirect ELISA โดยใช้ AFM₁-BSA ความเข้มข้น 0.2 ไมโครกรัมต่อมิลลิเมตรเคลือบที่ก้นหลุม และแอนติบอดีจาก โคลน AFM₁-9 ที่ผ่านการทำให้บริสุทธิ์แล้วในช่วงความเข้มข้น 0.122-125 นาโนกรัมต่อมิลลิเมตร..... | |
| ก.3 | 83 |
| กราฟแสดงความสัมพันธ์ระหว่างค่า R_f กับน้ำหนักโมเลกุล (kDa) ของ สารละลายโปรตีนมาตรฐานที่ใช้ในการเปรียบเทียบหามวลโมเลกุลของ โมโนโคลนอลแอนติบอดีหลังทำให้บริสุทธิ์ด้วยเทคนิค SDS-PAGE | |

คำอธิบายสัญลักษณ์และคำย่อ

| | |
|------------------|---|
| A | Absorbance |
| Ab | Antibody |
| AFB ₁ | Aflatoxin B ₁ |
| AFB ₂ | Aflatoxin B ₂ |
| Ag | Antigen |
| AFG ₁ | Aflatoxin G ₁ |
| AFG ₂ | Aflatoxin G ₂ |
| AFM ₁ | Aflatoxin M ₁ |
| AP | Alkaline phosphatase |
| AFs | Aflatoxins |
| BCA assay | Bicinchoninic acid assay |
| BSA | Bovine serum albumin |
| C | Constant region |
| CDRs | Complementarity determining region |
| Da | Dalton (g/mol) |
| DMSO | Dimethyl sulfoxide |
| DON | Deoxynivalenol |
| EIA | Enzyme immunoassay |
| ELISA | Enzyme-linked immunosorbent assay |
| FCA | Freund's complete adjuvant |
| FCS | Fetal calf serum |
| FIA | Freund's incomplete adjuvant |
| FI-IA | Flow-injection immunoassay |
| FRs | Framework region |
| H | Heavy chain |
| HAT | Hypoxanthine, Aminopterin และ Thymidine |
| HGPRT | Hypoxanthine-guanine phosphoribosyl transferase |
| HPLC | High performance liquid chromatography |

| | |
|------------------|--|
| HRP | Horseradish peroxidase |
| HWE | Hot water extraction |
| IAC | Immunoaffinity column |
| IC ₅₀ | 50% of inhibition concentration |
| Ig | Immunoglobulin |
| L | Light chain |
| LC-MS | Liquid chromatography-mass spectrometry |
| LOD | Limit of detection |
| LOQ | Limit of quantitation |
| M | Molar |
| MAb | Monoclonal antibody |
| MHC | Major histocompatibility complex |
| MSPD | Matrix solid phase dispersion |
| PAb | Polyclonal antibody |
| PBS | Phosphate buffer saline |
| PBS-T | Phosphate buffer saline ที่มี 0.05% Tween20 |
| PEG | Polyethylene glycol |
| ppb | Part per billion |
| ppt | Part per trillion |
| R _f | Relative mobility |
| SDS | Sodium dodecyl sulfate |
| SDS-PAGE | Sodium dodecyl sulphate-polyacrylamide gel electrophoresis |
| T _C | Cytotoxic T cell |
| T _H | Helper T cell |
| TK | Thymidine kinase |
| V | Variable region |
| v | Volume |
| % | Percent |

บทที่ 1

บทนำ

1.1 ความเป็นมาและความสำคัญของปัญหา

อะฟลาทอกซิน (Aflatoxins; AFs) เป็นกลุ่มของสารพิษที่เกิดจากเชื้อรา ซึ่งเป็นสารเมแทบอไลต์ทุติยภูมิ ของเชื้อรา *Aspergillus flavus* และ *Aspergillus parasiticus* ที่มีการปนเปื้อนอยู่ในพืช และผลผลิตที่สำคัญทางการเกษตร อะฟลาทอกซินแบ่งออกได้หลายชนิด เช่น อะฟลาทอกซินบี (AFB_1 , AFB_2) อะฟลาทอกซินจี (AFG_1 , AFG_2) และอะฟลาทอกซินเอ็ม (AFM_1 , AFM_2) ซึ่ง *A. flavus* จะผลิตเฉพาะอะฟลาทอกซินชนิดบีเท่านั้น ส่วน *A. parasiticus* จะผลิตทั้งอะฟลาทอกซินชนิดบี และอะฟลาทอกซินชนิดจี (Tekinsen, 2005) AFM_1 พบได้ในน้ำมันและผลิตภัณฑ์จากนม เกิดจากการเมแทบอลิซึมของ AFB_1 ซึ่งเกิดขึ้นบริเวณตับของสัตว์ที่ถูกเลี้ยงด้วยอาหารที่มีการปนเปื้อนของ AFB_1 และจะถูกหลั่งออกมาอย่างต่อเนื่องตามน้ำนมของสัตว์ ดังนั้นปริมาณ AFM_1 ที่ปนเปื้อนในน้ำมัน หรือ ผลิตภัณฑ์นม จะขึ้นกับปริมาณของ AFB_1 ที่สัตว์กินเข้าไป (Cathey และคณะ, 1994) AFM_1 เป็นสารที่มีพิษต่อตับ และเป็นสารก่อมะเร็ง (Lee และคณะ, 2009) นอกจากนี้ยังทนความร้อนได้สูง จึงมีความเสถียรเมื่อผ่านกระบวนการถนอมอาหารด้วยความร้อน อย่างเช่น การพาสเจอร์ไรส์ (pasteurization) การรับประทานอาหารที่มีการปนเปื้อนในระดับสูงเป็นระยะเวลานานหลายวัน สามารถทำให้เกิดความเป็นพิษแบบเฉียบพลันได้ โดยจะมีอาการไข้สูง มีดีซ่านเกิดขึ้นอย่างรวดเร็ว แขนขาบวม ปวดเมื่อย อาเจียน ตับบวม และถึงเสียชีวิต ในรายที่รุนแรง ส่วนการรับประทานอาหารที่มีการปนเปื้อนในระดับต่ำถึงปานกลางเป็นระยะเวลานาน จะทำให้เกิดความเป็นพิษแบบเรื้อรัง โดยมีอาการเช่นเดียวกับแบบเฉียบพลัน แต่รุนแรงน้อยกว่า ทำให้พัฒนาการในเด็กช้า ชูบผอม การเจริญเติบโตลดลง และ อาจทำให้เกิดมะเร็งที่ตับ (ศูนย์วิจัยและพัฒนาการสัตวแพทย์ภาคตะวันออก, 2005) ดังนั้น แม้ว่าการบริโภคนมหรือผลิตภัณฑ์นมที่มีการปนเปื้อนของ AFM_1 ในปริมาณน้อยก็สามารถก่อให้เกิดความเสี่ยงต่อสุขภาพของผู้บริโภคได้ โดยเฉพาะอย่างยิ่งในเด็ก ซึ่งเป็นผู้บริโภคหลัก เนื่องจากนมและผลิตภัณฑ์นมเป็นแหล่งโปรตีนและแคลเซียมที่สำคัญ (Rastogi, 2004) คณะกรรมาธิการยุโรป (European Commission) จึงได้กำหนดให้มีปริมาณของ AFM_1 ในน้ำมันและผลิตภัณฑ์นมสำหรับเด็กทารกได้ไม่เกิน 0.05 และ 0.025 ppb ตามลำดับ (European Commission Regulation, 2004) ดังนั้นจึงมีความจำเป็นที่จะต้องมีการตรวจวิเคราะห์หาปริมาณ AFM_1 ที่ปนเปื้อนในนมและผลิตภัณฑ์นม การตรวจโดยใช้วิธีทางเคมีด้วยเทคนิค High Performance Liquid Chromatography (HPLC) (Manetta และคณะ, 2009) และเทคนิค Liquid Chromatography-Mass Spectrometry (LC-MS)

(Cavaliere และคณะ, 2006) มีความถูกต้องและความแม่นยำในการตรวจวิเคราะห์สูง แต่เป็นเครื่องมือที่มีราคาแพง และต้องใช้ผู้เชี่ยวชาญในการวิเคราะห์ นอกจากนี้ยังใช้เวลานานในการเตรียมตัวอย่างก่อนการวิเคราะห์ และไม่เหมาะสำหรับกรวิเคราะห์ตัวอย่างจำนวนมาก สำหรับการตรวจวิเคราะห์โดยใช้วิธีทางภูมิคุ้มกันวิทยา ซึ่งอาศัยหลักการตรวจวัดแอนติเจน โดยการใช้อแอนติบอดี ที่จำเพาะกับแอนติเจนนั้น ได้มีการพัฒนาเทคนิค **Electrochemical immunosensor** (Micheli และคณะ, 2005) และเทคนิค **Enzyme-Linked Immunosorbent Assay (ELISA)** เป็นเทคนิคที่ใช้กันอย่างกว้างขวาง ซึ่งเป็นวิธีการที่ประหยัด รวดเร็ว และมีความแม่นยำสูง (Pei และคณะ, 2009) เทคนิค **ELISA** เป็นวิธีที่ตรวจสอบง่าย สะดวก ได้ผลเร็ว แม่นยำ ค่าใช้จ่ายต่ำ และเหมาะที่จะใช้ในการตรวจคัดกรอง (**Screening Test**) ตัวอย่างที่มีจำนวนมาก ก่อนนำไปตรวจหาปริมาณด้วยเทคนิคทางเคมี แต่ในประเทศไทยนั้น เนื่องจากชุดตรวจสอบด้วยวิธี **ELISA** มีราคาสูง และต้องทำการสั่งซื้อจากต่างประเทศ ดังนั้นการพัฒนาชุดตรวจสอบสำเร็จรูปใช้เองจึงช่วยลดการนำเข้าชุดตรวจสอบจากต่างประเทศได้ ซึ่งการเตรียมชุดตรวจสอบนั้น ต้องมีการเตรียมแอนติบอดี ซึ่งเป็นองค์ประกอบหลักของชุดตรวจสอบ ดังนั้นโครงการนี้จึงมีวัตถุประสงค์เพื่อผลิต โมโนโคลนอลแอนติบอดี ที่มีความจำเพาะต่อ **AFM₁** และศึกษาลักษณะสมบัติของโมโนโคลนอลแอนติบอดีที่ได้เพื่อคัดเลือกแอนติบอดีที่เหมาะสมสำหรับนำไปใช้ในการพัฒนาชุดตรวจด้วยวิธี **ELISA** ต่อไป

1.2 วัตถุประสงค์ของการวิจัย

- 1) ผลิตโมโนโคลนอลแอนติบอดีที่จำเพาะต่อ **AFM₁**
- 2) ศึกษาลักษณะสมบัติของโมโนโคลนอลแอนติบอดีที่ผลิตได้

1.3 ขอบเขตของการวิจัย

- 1) ค้นคว้าและรวบรวมข้อมูลที่เกี่ยวข้องกับงานวิจัย
- 2) ศึกษาระดับระบบภูมิคุ้มกันของหนูให้สร้างแอนติบอดีต่อ **AFM₁**
- 3) หลอมรวมเซลล์และคัดเลือกเซลล์ไฮบริโดมาที่สร้างโมโนโคลนอลแอนติบอดีต่อ **AFM₁**
- 4) ศึกษาลักษณะเบื้องต้นของโมโนโคลนอลแอนติบอดีที่ได้
- 5) ทำแอนติบอดีให้บริสุทธิ์
- 6) วิเคราะห์และสรุปผลการทดลองและเขียนวิทยานิพนธ์

1.4 ประโยชน์ที่คาดว่าจะได้รับ

ได้โมโนโคลนที่ผลิตโมโนโคลนอลแอนติบอดีต่อ AFM_1 และทราบลักษณะสมบัติของแอนติบอดีที่คัดเลือกได้

บทที่ 2

เอกสารและงานวิจัยที่เกี่ยวข้อง

2.1 แนวคิดและทฤษฎี

2.1.1 ที่มาของสารอะฟลาทอกซิน (Aflatoxins; AFs)

อะฟลาทอกซิน (Aflatoxins; AFs) เป็นสารพิษที่เกิดจากเชื้อรา *Aspergillus flavus* และ *Aspergillus paraciticus* ในปี ค.ศ. 1962 (พ.ศ. 2505) กลุ่มทำงานวิจัยการเกิดพิษในถั่วลิสง ในประเทศอังกฤษ ร่วมกันพิจารณาตั้งชื่อสารพิษจากเชื้อราเหล่านี้ว่า อะ-ฟลา-ทอกซิน (A-fla-toxin) โดยพิจารณาคำว่า “อะ (A)” มาจาก “แอสเปอริซิลลัส (*Aspergillus*)” คำว่า “ฟลา (fla)” มาจาก “ฟลาวัส (flavus)” และสารนี้จัดเป็น “สารพิษหรือทอกซิน (toxin)” จึงนำมาเรียกรวมกันว่า “อะฟลาทอกซิน (Aflatoxin)” (Lillehoj, 1983) เชื้อราสายพันธุ์เหล่านี้เจริญเติบโตได้ดีในภูมิอากาศแบบร้อนชื้น มีสมบัติเป็นพิษต่อคน พืช และสัตว์ อะฟลาทอกซิน เกิดจากขบวนการเมแทบอลิซึมชนิดทุติยภูมิของเชื้อรา ทำให้เชื้อราสร้างสารพิษได้ 4 ชนิด คืออะฟลาทอกซินชนิดบี1 และอะฟลาทอกซินชนิดบี2 ซึ่งเรืองแสงให้สีน้ำเงินภายใต้แสงอัลตราไวโอเล็ตในช่วงความยาวคลื่น 256 ถึง 365 นาโนเมตร อะฟลาทอกซินชนิดจี1 และอะฟลาทอกซินชนิดจี2 ซึ่งเรืองแสงให้สีเขียวภายใต้แสงอัลตราไวโอเล็ตที่ความยาวคลื่นช่วงเดียวกัน (อนงศ์, 2546) ส่วนอะฟลาทอกซินเอ็ม1 พบได้ในน้ำมัน ซึ่งเกิดจากการเมแทบอลิซึมของอะฟลาทอกซินชนิดบี1 ที่เกิดขึ้นในบริเวณตับของสัตว์ที่ถูกเลี้ยงด้วยอาหารที่มีการปนเปื้อนของอะฟลาทอกซินบี1 และจะหลั่งออกมาอย่างต่อเนื่องของสัตว์

2.1.2 อาหารที่พบการปนเปื้อนของสารอะฟลาทอกซิน

อะฟลาทอกซิน มักพบในพืชตระกูลถั่ว โดยเฉพาะถั่วลิสงและผลิตภัณฑ์จากถั่วลิสง และในอาหารแห้งหลายชนิด เช่น พริกแห้ง พริกป่น กระเทียม หัวหอม กุ้งแห้ง ผลไม้แห้ง สมุนไพร รวมถึงเมล็ดข้าวโพด ข้าวโอ๊ต ข้าวสาลี มันสำปะหลัง และเมล็ดพืชที่ใช้ทำอาหารสัตว์ สภาวะที่เหมาะสมทำให้เชื้อราสามารถผลิตสารพิษได้ดีที่สุดอยู่ในช่วงอุณหภูมิ 24-32 องศาเซลเซียส และความชื้นสัมพัทธ์ตั้งแต่ 75 เปอร์เซ็นต์ขึ้นไป (สุทธิพร, 2543) ซึ่งวัตถุประสงค์ทางการเกษตรหรือเมล็ดพืชที่เสื่อมสภาพ แตกหัก หรือมีแผลเสียหายจากการทำลายของแมลง นก หรือหนู จัดเป็นแหล่งอาหารที่อุดมสมบูรณ์ของเชื้อรา ภูมิอากาศแบบร้อนชื้นทำให้เชื้อราเจริญเติบโต และสามารถสร้างสารพิษอะฟลาทอกซินได้ดี โดยสารพิษจะอยู่ภายในเมล็ดพืชหรือวัตถุดิบเหล่านั้น และไม่สามารถ

มองเห็นได้ด้วยตาเปล่า ซึ่งประเทศไทยอยู่ในภูมิภาคดังกล่าวจึงทำให้มีความเสี่ยงสูงต่อการเกิดสารพิษอะฟลาทอกซินกับผลิตภัณฑ์ทางการเกษตร

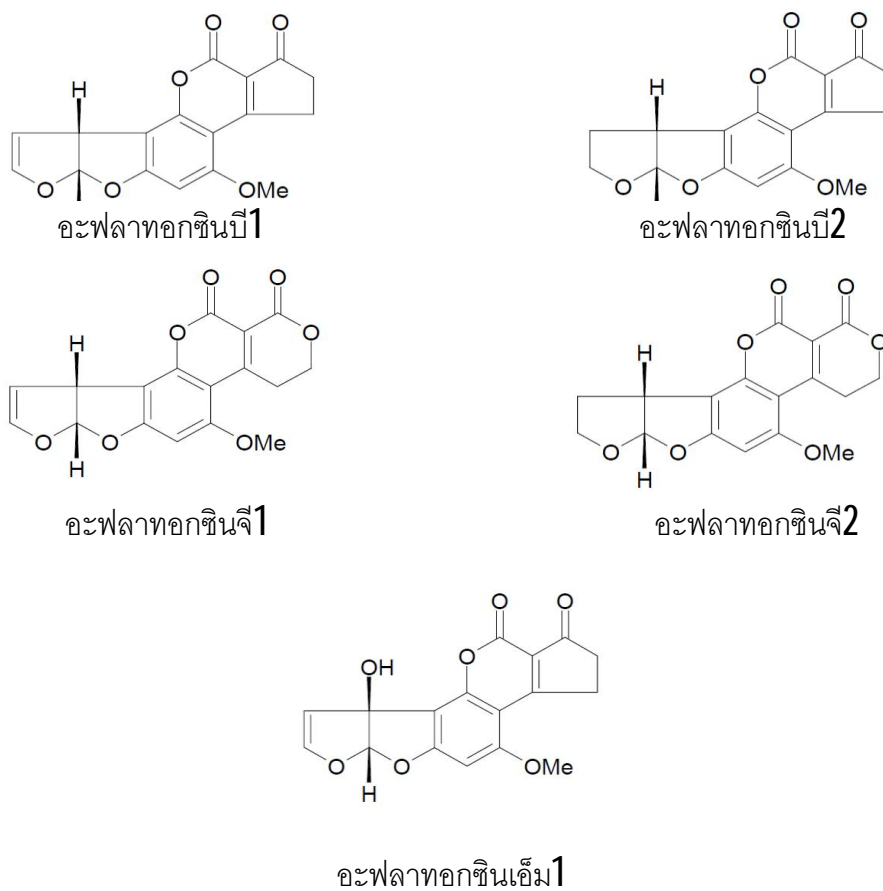
สารพิษอะฟลาทอกซินที่ปนเปื้อนในวัตถุดิบอาหารสัตว์สามารถเกิดขึ้นได้ในทุกขั้นตอนของการผลิต ตั้งแต่การเพาะปลูก เก็บเกี่ยว และการเก็บรักษา ซึ่งวัตถุดิบที่ใช้นำมาเป็นส่วนผสมของอาหารสัตว์เหล่านี้ โดยเฉพาะวัตถุดิบประเภทโปรตีนจากพืชและสัตว์บางชนิด เช่น กากมะพร้าว กากถั่วเหลือง กากถั่วลิสง ข้าวโพด และปลาป่น ซึ่งมีโอกาสในการปนเปื้อนของสารอะฟลาทอกซินสูง (คณิงนิจ, 2545) ปัจจัยที่เชื้อราใช้ในการเจริญเติบโต ได้แก่ สารอาหารที่ต้องการ ความชื้น ความชื้นสัมพัทธ์ อุณหภูมิ และระยะเวลาที่เหมาะสม (มาลินี, 2527; Heathcote, 1984) สารอะฟลาทอกซินที่ปนเปื้อนในอาหารสัตว์มักจะเกิดขึ้นในสภาวะที่มีความชื้นสัมพัทธ์ประมาณ 80-85 เปอร์เซ็นต์ ความชื้น 17 เปอร์เซ็นต์ และอุณหภูมิตั้งแต่ 24-35 องศาเซลเซียส (คณิงนิจ และ อติลักษณ์, 2538; Wilson และคณะ, 1994)

2.1.3 สูตรโครงสร้างทางเคมี และคุณสมบัติทางกายภาพของสารในกลุ่ม AFs

อะฟลาทอกซินเป็นสารพิษประเภทสารประกอบเฮเทอโรไซคลิก (heterocyclic compound) แบ่งตามโครงสร้างทางเคมีได้เป็นสองกลุ่ม คือ กลุ่มอะฟลาทอกซินชนิดบี ได้แก่ อะฟลาทอกซินบี1 และบี2 ซึ่งมีโครงสร้างทางเคมีเป็นบิสฟูรานโนไอโซคูมาริน (bis-furano-isocoumarin) กลุ่มที่สอง คือกลุ่มอะฟลาทอกซินชนิดจี มีโครงสร้างทางเคมีเป็นไอโซคูมาริน (isocoumarin) ได้แก่ อะฟลาทอกซินจี1 และจี2 ส่วนอะฟลาทอกซินเอ็ม1 เกิดจากกระบวนการไฮดรอกซิเลชัน (hydroxylation) ของอะฟลาทอกซินบี1 ดังภาพที่ 2.1

อะฟลาทอกซินละลายได้ในน้ำ และแอลกอฮอล์ได้เล็กน้อย ละลายได้ดีในสารตัวทำละลายอินทรีย์ เช่น คลอโรฟอร์ม เบนซีน และอะซีโตน อะฟลาทอกซินสามารถเรืองแสงได้โดยอะฟลาทอกซินบี1 และบี2 จะเรืองแสงสีน้ำเงิน เมื่อส่องดูภายใต้แสงอัลตราไวโอเล็ตความยาวคลื่น 356 นาโนเมตร ขณะที่อะฟลาทอกซินจี1 และจี2 จะเรืองแสงสีเขียวปนเหลือง

คุณสมบัติทางกายภาพที่สำคัญของสารพิษอะฟลาทอกซิน คือ สามารถทนความร้อนได้ถึงระดับอุณหภูมิ 260 องศาเซลเซียส (ตารางที่ 2.1) ซึ่งทำให้วิธีพาสเจอร์ไรซ์ และสเตอริไรซ์ไม่สามารถทำลายอะฟลาทอกซินให้หมดไปได้ แต่สารอะฟลาทอกซินเสื่อมสลายได้ภายใต้แสงอัลตราไวโอเล็ต แสงแดด และรังสีแกมมา อะฟลาทอกซินจะคงตัวในสภาพที่เป็นกรด แต่จะสลายตัวในสภาพที่เป็นด่าง และสามารถถูกทำลายได้ด้วยคลอรีน



ภาพที่ 2.1 สูตรโครงสร้างทางเคมีของสารในกลุ่ม AFs

ตารางที่ 2.1 สมบัติทางกายภาพและเคมีที่สำคัญของอะฟลาทอกซิน

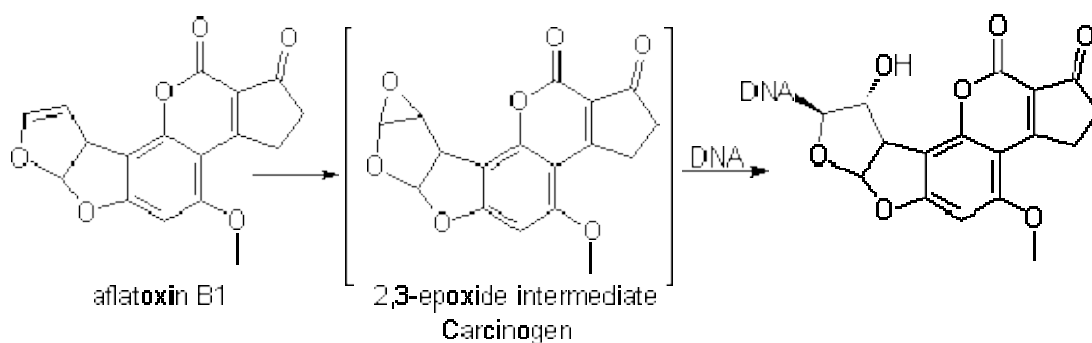
| ชนิดอะฟลาทอกซิน | โครงสร้างโมเลกุล | น้ำหนักโมเลกุล(Da) | จุดหลอมเหลว(°C) |
|-----------------|--|--------------------|-----------------|
| B ₁ | C ₁₇ H ₁₂ O ₆ | 312 | 268-296 |
| B ₂ | C ₁₇ H ₁₄ O ₆ | 314 | 286-289 |
| G ₁ | C ₁₇ H ₁₂ O ₇ | 328 | 244-246 |
| G ₂ | C ₁₇ H ₁₄ O ₇ | 330 | 237-240 |
| M ₁ | C ₁₇ H ₁₂ O ₇ | 328 | 299 |

ที่มา: Reddy และ Waliyar, 2005

2.1.4 ความเป็นพิษของสารในกลุ่ม AFs

องค์การอนามัยโลกจัดให้สารอะฟลาทอกซินเป็นสารก่อมะเร็งที่ร้ายแรงมากที่สุดชนิดหนึ่ง เนื่องจากปริมาณของอะฟลาทอกซินเพียง **1** ไมโครกรัม ก็สามารถทำให้เกิดการกลายพันธุ์ในแบคทีเรีย และทำให้เกิดมะเร็งในสัตว์ทดลองได้หากได้รับอย่างต่อเนื่อง

สัตว์แต่ละชนิดจะแสดงอาการ และมีความไวต่อการเป็นพิษของ สารอะฟลาทอกซินต่างกัน เบ็ด ไก่ และ ไก่วง มีความไวต่ออะฟลาทอกซินมากที่สุด รองลงมาได้แก่ สุกร หนู และคน ส่วนสัตว์เคี้ยวเอื้องมีความต้านทานดีกว่าสัตว์อื่น ยกเว้นในลูกสัตว์จะมีความไวต่ออะฟลาทอกซินมากกว่าสัตว์ที่โตเต็มที่ (เบญจมาศ, 2543) เมื่ออะฟลาทอกซินเข้าสู่ร่างกายบางส่วนจะถูกกระบวนการเมแทบอลิซึมของร่างกายเปลี่ยนแปลงเป็นสารเมแทบอลิท์หลายตัว ซึ่งมีทั้งที่มีพิษมากขึ้น และพิษน้อยลง โดยสารเมแทบอลิท์ดังกล่าวจะถูกสะสมในร่างกาย และบางส่วนถูกขับออกทางปัสสาวะ อุจจาระ และทางน้ำนม สารเมแทบอลิท์ที่มีพิษมากที่สุด คือ **2,3-epoxide-aflatoxin B1** เป็นสารก่อมะเร็งจะไปจับกับดีเอ็นเอ และอาร์เอ็นเอ ซึ่งเป็นสารพันธุกรรม ทำให้การสังเคราะห์โปรตีนในเซลล์ผิดปกติ และทำให้เกิดมะเร็งที่ตับในที่สุด ดังภาพที่ 2.2



ภาพที่ 2.2 สารเมแทบอลิท์ของอะฟลาทอกซิน บี1

นอกจากอะฟลาทอกซินที่ปนเปื้อนในอาหารจะเป็นอันตรายต่อสัตว์เลี้ยงหรือผู้บริโภค เมแทบอลิท์ของอะฟลาทอกซิน เช่น อะฟลาทอกซินเอ็ม1 ที่พบในน้ำนมก็จะเป็นอันตรายต่อผู้บริโภค โดยจะพบอะฟลาทอกซินเอ็ม1 ในน้ำนมได้ภายใน **12-24** ชั่วโมง หลังจากโคได้รับอาหารที่มีอะฟลาทอกซิน และจะพบมากในช่วงวันแรก โดยปริมาณอะฟลาทอกซินเอ็ม1 ที่พบจะมีปริมาณ **1%** ของอะฟลาทอกซินบี1 ที่ร่างกายได้รับ (วิทยา, 2543)

สารอะฟลาทอกซินเข้าสู่ร่างกายโดยการกิน และจะถูกดูดซึมเข้าสู่กระแสโลหิต ผ่านไปสู่อวัยวะต่างๆ เช่น ตับเป็นอวัยวะที่ทำหน้าที่หลักในการเปลี่ยนแปลงและกำจัดสารพิษ โดยสารอะฟลาทอกซินจะถูกเปลี่ยนแปลงโดยการสันดาปของเซลล์ตับได้สารอีพอกไซด์ที่ไม่คงตัว ซึ่งสามารถไปเกาะจับอย่างแน่นกับโมเลกุลใหญ่ในเซลล์โดยเฉพาะ ดีเอ็นเอ อาร์เอ็นเอ หรือโปรตีนอื่นๆ ซึ่งมีผลทำให้เกิดพิษอย่างเฉียบพลัน เกิดการก่อมะเร็ง (Curtis และ Zhang, 1995) และทำให้จำนวนไรโบโซมภายในเซลล์ผิดปกติและลดจำนวนลง ทำให้เกิดการสลายของไมโทคอนเดรีย เกิดการเปลี่ยนแปลงพยาธิสภาพและการตายของเซลล์ตับ (มาลินี, 2527) นอกจากนี้การเป็นพิษของอะฟลาทอกซินมีผลทำให้การเจริญเติบโตลดลงและกดภูมิคุ้มกันของร่างกาย (Sahoo และ Mukherjee, 2001) มีผลทำให้โลหิตจาง (Gallagher และ Eaton, 1995) สัตว์ที่ได้รับสารอะฟลาทอกซินจะเกิดอาการพิษที่เรียกว่า Afla-toxicosis โดยจะมีอาการเบื่ออาหาร น้ำหนักลด ผลผลิตลด ภูมิคุ้มกันลด ตับอักเสบดีซ่าน จนถึงตาย ความรุนแรงเมื่อได้รับสารพิษจะแตกต่างกันไปขึ้นอยู่กับชนิดสัตว์ (ศุภกิจ, 2526)

โดยการออกฤทธิ์ในสัตว์ปีกจะทำให้สัตว์มีอัตราการเจริญเติบโตลดลง อัตราการตายเพิ่มขึ้น ผลผลิตเนื้อนมไข่ลดลง คุณภาพไข่ลดลง ขนาดไข่ลดลง การฟักไข่ลดลง เปลือกไข่บางลงในลูกเป็ดที่ได้รับสารอะฟลาทอกซิน การเกิดพิษแบบเฉียบพลันจะแสดงอาการชักและตายภายใน 2-3 วันหลังจากได้รับสารพิษ พบลักษณะหิว คอ และขาบิดไปข้างหน้าลำ ตัวอ่อนไปข้างหน้า มีจุดเลือดออกใต้ผิวหนัง และอวัยวะภายใน ตับโตสีเหลืองซีด ไต ตับอ่อนและม้ามขยายใหญ่

สำหรับในโคและกระบือ การเกิดพิษในลูกโคและกระบือมีความรุนแรงมากกว่าในโค และกระบือตัวโตเต็มวัยลูกโค และกระบือจะแสดงอาการกระสับกระส่าย พยายามถ่ายหรือเบ่งมากจนทวารหนักทะลักออกมา และตายในที่สุด ในแม่โคนมแสดงอาการ ซึม เบื่ออาหาร น้ำหนักลด น่านมลด และมีอาการท้องมาน อวัยวะภายในต่างๆบวม น้ำ มีการเพิ่มปริมาณของเนื้อเยื่อเกี่ยวพันของตับ เซลล์บุท่อน้ำดีเพิ่มจำนวนมากขึ้นเซลล์บุหลอดเลือดดำ ของตับอักเสบอย่างเรื้อรัง ตับขยายใหญ่ขึ้น

สำหรับมนุษย์นั้นพิษของสารอะฟลาทอกซินแบบเฉียบพลันนั้นมักเกิดในเด็กมากกว่าผู้ใหญ่ อาการที่เกิดจากสารอะฟลาทอกซินในเด็กคล้ายคลึงกับอาการของเด็กที่เป็น Reye's syndrome คือ มีอาการชักและหมดสติได้ เนื่องจากมีความผิดปกติของตับและสมอง น้ำตาลในเลือดลดลง สมองบวม มีการคั่งของไขมันในอวัยวะภายใน เช่น ตับ ไต หัวใจ และปอด บางครั้งมีการตรวจพบสารอะฟลาทอกซินในตับผู้ป่วยด้วย สำหรับในผู้ใหญ่หากได้รับสารพิษชนิดนี้เข้าไป

เป็นจำนวนมาก หรือแม้เป็นจำนวนน้อยแต่ได้รับเป็นประจำ อาจเกิดการสะสมจนทำให้เกิดอาการ ชัก หายใจลำบาก ตับถูกทำลาย หัวใจและสมองบวม นอกจากนี้การที่ร่างกายได้รับสารพิษ อะฟลาทอกซินเป็นประจำยังเป็นสาเหตุของโรคมะเร็งตับ การเกิดไขมันมากในตับและพังพืดในตับ

ความเป็นพิษของสารอะฟลาทอกซินจะมากหรือน้อยนั้นขึ้นอยู่กับปัจจัยอื่น ๆ ได้แก่ ปริมาณที่ได้รับ และความถี่ที่ได้รับเข้าสู่ร่างกาย อายุ และเพศ การทำงานของเอนไซม์ในตับของแต่ละบุคคล รวมถึงภาวะทางโภชนาการอื่น ๆ เช่น อาหารที่รับประทาน หรือการได้รับการรักษา ด้วยยาบางชนิดที่เกี่ยวข้องกับกระบวนการเมแทบอลิซึมของอะฟลาทอกซิน

2.1.5 การกำหนดปริมาณสารในกลุ่ม AFS

เนื่องจากพิษของอะฟลาทอกซินนั้นรุนแรงมาก แม้ในปริมาณเพียงเล็กน้อยก็สามารถก่อให้เกิดอันตรายได้ ซึ่งหน่วยที่ใช้กำหนดปริมาณสารอะฟลาทอกซินมักจะกำหนดเป็นส่วนใน พันล้านส่วน (ppb) หรือ นาโนกรัมต่อมิลลิกรัม ปริมาณสูงสุดของอะฟลาทอกซินที่อนุญาตให้มีใน ผลิตภัณฑ์เกษตร ในอาหารสัตว์ และอาหารคนนั้น มีกำหนดแตกต่างกันไปในแต่ละประเทศ (ตารางที่ 2.2)

คณะกรรมการอาหารและยาสหรัฐอเมริกา (USFDA) กำหนดให้มีอะฟลาทอกซินใน อาหารและนมได้ไม่เกิน 20 และ 0.5 ppb ตามลำดับ เช่นเดียวกับมาตรฐานของกระทรวง สาธารณสุขที่กำหนดให้ไม่เกิน 20 ppb หรือตามประกาศกระทรวงเกษตรและสหกรณ์ 2545 แต่ ประเทศในยุโรปกำหนดให้อาหารสัตว์ปนเปื้อนอะฟลาทอกซินได้ไม่เกิน 10 ppb และกำหนดให้มี ปริมาณอะฟลาทอกซินเอ็ม1 ในน้ำมันและนมเด็กทารกได้ไม่เกิน 0.05 และ 0.025 ppb ตามลำดับ ส่วนคณะกรรมการโคเด็กซ์ (Codex Committee on Food Additives and Contaminants, Joint FAO/WHO Food Standard Programme) ซึ่งทำหน้าที่กำหนดและควบคุมมาตรฐานสากล ของการปนเปื้อนในอาหารที่แลกเปลี่ยนระหว่างประเทศได้ตั้งข้อเสนอการกำหนดค่า มาตรฐานสากล ว่าด้วยการปนเปื้อนของอะฟลาทอกซินในอาหารต่างๆ ไว้ในเกณฑ์ที่ต่ำ คือในนม และผลิตภัณฑ์นมให้มีการปนเปื้อนของอะฟลาทอกซินเอ็ม1 ไม่เกิน 0.5 ppb (ชัยวัฒน์ และคณะ ,2551) สำหรับประเทศไทยมีประกาศจากกระทรวงสาธารณสุขฉบับที่ 98 (พ.ศ. 2529) เรื่อง มาตรฐานอาหารที่มีสารปนเปื้อน กำหนดปริมาณอะฟลาทอกซินในอาหารทั่วไปได้ไม่เกิน 20 ppb (คณะกรรมการอาหารและยา, 2529)

ตารางที่ 2.2 ค่ากำหนดปริมาณสารอะฟลาทอกซินต่ำสุดที่ยอมให้มีในอาหาร ในบางประเทศ

| ประเทศ | อะฟลาทอกซิน | ประเภทอาหาร | ค่าต่ำสุด(ppb) |
|----------------|---|------------------|----------------|
| สหรัฐอเมริกา | B ₁ , B ₂ , G ₁ , G ₂ | อาหารทุกชนิด | 20 |
| | B ₁ , B ₂ , G ₁ , G ₂ | อาหารสัตว์ | 20-300 |
| ยุโรป | M ₁ | นม | 0.5 |
| | B ₁ , B ₂ , G ₁ , G ₂ | อาหารทุกชนิด | 2-15 |
| | M ₁ | นมและผลิตภัณฑ์นม | 0.05 |
| | | นมเด็กทารก | 0.025 |
| ออสเตรเลีย | M ₁ | นมเด็กทารก | 0.01 |
| สวิสเซอร์แลนด์ | M ₁ | นมเด็กทารก | 0.01 |
| ออสเตรเลีย | B ₁ | อาหารทุกชนิด | 5 |
| นิวซีแลนด์ | B ₁ , B ₂ , G ₁ , G ₂ | อาหารนำเข้า | 15 |
| ญี่ปุ่น | B ₁ | อาหารทุกชนิด | 10 |
| | B ₁ | อาหารสัตว์ | 10-20 |
| | M ₁ | นม | 0.5 |
| | M ₁ | นม | 0.5 |
| ไทย | B ₁ , B ₂ , G ₁ , G ₂ | อาหารทุกชนิด | 20 |
| | B ₁ , B ₂ , G ₁ , G ₂ | อาหารสัตว์ | 50 |
| Codex | B ₁ , B ₂ , G ₁ , G ₂ | อาหาร | 15 |
| | M ₁ | นม | 0.5 |

ที่มา: อมรา, 2547; Patricia A. และคณะ, 2006

รายงานผลการวิจัยเกี่ยวกับอะฟลาทอกซินบี1 ในอาหารชั้นโคนมในประเทศไทย พบว่า มีการปนเปื้อนในวัตถุดิบที่ใช้ในการผสมอาหารสำหรับเลี้ยงโคนม ซึ่งอะฟลาทอกซินชนิดบี1 จะสร้างสารเมแทบอลิท์ส่งผ่านไปยังนมโคในรูปของอะฟลาทอกซินเอ็ม1 โดยพบว่า อัตราส่วนของอะฟลาทอกซินบี1 ในอาหารที่โคกินเข้าไปต่ออะฟลาทอกซินเอ็ม1 ที่โคขับออกทางน้ำนม มีค่าโดยเฉลี่ยประมาณ 100 ต่อ 1 (เบญจมาศ, 2544) ซึ่งสามารถก่อให้เกิดความเป็นพิษต่อร่างกายของคนและสัตว์ได้ ยิ่งพบการปนเปื้อนของอะฟลาทอกซินเอ็ม1 ในน้ำนมปริมาณสูงเพียงใด ยิ่งส่งผลต่อผู้บริโภคมากขึ้นเท่านั้น เนื่องจากกระบวนการพาสเจอร์ไรส์ไม่สามารถทำลายอะฟลาทอกซินชนิดเอ็ม1 ได้ และยังพบอะฟลาทอกซินเอ็ม1 ในน้ำนมที่ผ่านกระบวนการยูเอชที

ด้วย (Diaz และคณะ, 1995) จากรายงานข้างต้นจึงส่งผลกระทบต่อผู้บริโภคที่บริโภคนมเป็นประจำ อาจทำให้เกิดอันตรายต่อสุขภาพได้ โดยเฉพาะในเด็กและเด็กทารกซึ่งมีความต้านทานสารพิษน้อยกว่าผู้ใหญ่ (Galvano และคณะ, 2005) ดังนั้น ปัญหาเกี่ยวกับการปนเปื้อนของสารพิษอะฟลาทอกซินในอาหารโคนม และผลิตภัณฑ์นมจึงเป็นปัญหาสำคัญที่ส่งผลกระทบต่อสุขภาพของผู้บริโภค ทำให้ต้องมีวิธีการในการตรวจสอบการปนเปื้อนของสารอะฟลาทอกซินในผลิตภัณฑ์ดังกล่าว วิธีการตรวจหาสารพิษอะฟลาทอกซินที่นิยมใช้ในการตรวจวิเคราะห์ คือ HPLC และ ELISA (ประพฤษ และปกรณ์, 2549) ซึ่ง HPLC เป็นเทคนิคการตรวจวิเคราะห์หาระดับสารพิษแบบยืนยันผล (confirmatory method) ที่มีความละเอียด ถูกต้องและแม่นยำสูง แต่ต้องใช้เครื่องมือราคาแพง บุคลากรต้องมีประสบการณ์และความชำนาญสูง สิ้นเปลืองค่าใช้จ่าย และเวลามาก ส่วน ELISA นั้น เป็นวิธีที่ตรวจสอบง่าย วัสดุผลเร็ว และราคาถูก จึงมีความจำเป็นในการตรวจสอบเบื้องต้น เพื่อเป็นการคัดกรองตัวอย่าง (screening method) ก่อนที่จะใช้วิธีทดสอบแบบยืนยันผล แต่ในประเทศไทยได้มีการนำเข้าสู่ชุดตรวจสอบ ELISA จำนวนมาก สำหรับการตรวจหาสารพิษอะฟลาทอกซิน ทั้งในอาหารสัตว์และผลิตภัณฑ์นม ซึ่งมีราคาสูงประมาณ 10,000 บาทต่อชุด ดังนั้นการพัฒนาชุดตรวจสอบจึงช่วยลดการนำเข้าชุดตรวจสอบจากต่างประเทศได้

2.1.6 วิธีการตรวจวิเคราะห์สาร AFS

2.1.6.1 วิธีทางเคมี

2.1.6.1.1 High Performance Liquid Chromatography (HPLC)

เป็นเทคนิคการตรวจวิเคราะห์หาสารพิษจากเชื้อราแบบยืนยันผล โดยใช้การตรวจจับกลุ่มสารพิษโดยใช้ตัวทำละลายเป็นตัวนำผ่านคอลัมน์ และตรวจจับการเรืองแสงแสดงผลการตรวจวัดด้วยกราฟ ในปี 2000 Kim และคณะ ใช้เทคนิค HPLC ในการตรวจหา AFM₁ ในนมพาสเจอร์ไรส์ และโยเกิร์ต พบว่าปริมาณต่ำสุดที่สามารถตรวจวัด AFM₁ ในนม และโยเกิร์ต คือ 0.01 ppb ซึ่งการตรวจวิเคราะห์ด้วยวิธีนี้มีความละเอียดสูง มีความถูกต้องแม่นยำ แต่มีค่าใช้จ่ายในการตรวจวิเคราะห์สูง ดังนั้นจึงไม่เหมาะในการตรวจตัวอย่างเป็นจำนวนมาก

2.1.6.1.2 Liquid Chromatography-Mass Spectrometry (LC-MS)

ในปี 2005 Yang Chen และคณะ ได้ใช้เทคนิค LC-MS ในการตรวจหาอะฟลาทอกซินในนมและนมผง โดยใช้การทำให้ตัวอย่างบริสุทธิ์ (clean up) ด้วยวิธี immunoaffinity columns (IAC) พบว่าปริมาณต่ำสุดที่ตรวจวัด AFM₁ ในนม และนมผง เท่ากับ

0.001 ppb และ 0.0096 ppb ตามลำดับ ดังนั้นเทคนิคการตรวจสอบสารพิษด้วยวิธี LC-MS จึงเป็นวิธีที่มีความสามารถในการตรวจหาสารที่มีปริมาณน้อยมากๆได้ แต่วิธีนี้ต้องมีการเตรียมตัวอย่างให้บริสุทธิ์ ซึ่งค่อนข้างยุ่งยากในการตรวจวิเคราะห์ อีกทั้งต้องใช้เครื่องมือราคาแพง และต้องการผู้ชำนาญการในการตรวจวิเคราะห์ เทคนิคนี้จึงไม่เหมาะในการตรวจภาคสนาม หรือการตรวจตัวอย่างเป็นจำนวนมาก

2.1.6.2 วิธีทางภูมิคุ้มกันวิทยา (Immunological method)

ปัจจุบันมีการประยุกต์นำความรู้ทางด้านวิทยาภูมิคุ้มกัน (Immunology) ไปใช้ในการตรวจหาสารพิษอะฟลาทอกซิน ในส่วนผสมของอาหารสัตว์และผลิตภัณฑ์นมอย่างแพร่หลาย **Enzyme Immunoassay (EIA)** เป็นวิธีตรวจสอบปฏิกิริยาระหว่างแอนติบอดีกับแอนติเจนโดยใช้เอนไซม์เป็นตัวบ่งชี้ วิธีนี้สามารถใช้ตรวจหาแอนติบอดีและแอนติเจนได้อย่างจำเพาะเจาะจง มีความไวสูง สะดวก และรวดเร็ว

การทดสอบทั่วไปมักใช้วัสดุ (solid phase) ประเภทพลาสติก เช่น พอลิโพรไพลีน (polypropylene) ที่ผ่านกระบวนการบางอย่างที่ทำให้พลาสติกเหล่านั้นดูดซับโปรตีนได้ดีขึ้น เป็นตัวดูดซับแอนติเจน หรือแอนติบอดีไว้ก่อน และเมื่อปฏิกิริยาระหว่างแอนติบอดี และแอนติเจนเกิดขึ้นแล้ว ล้างส่วนที่ไม่ทำปฏิกิริยาออก ส่วนที่ทำปฏิกิริยากันก็จะติดอยู่กับวัสดุ จากนั้นเติมแอนติบอดีที่จำเพาะที่ติดฉลากด้วยเอนไซม์ลงไป ซึ่งสามารถตรวจสอบได้จากการเปลี่ยนแปลงของสเปกตรัมที่ปล่อยไปภายหลัง ทำให้เกิดสารมีสีขึ้น จึงเรียกการทดสอบนี้ว่า **Enzyme Linked Immunosorbent Assay (ELISA)** จากงานวิจัยของ Shi Chun Pei และคณะ (2009) ทำการผลิตโมโนโคลนอลแอนติบอดีต่ออะฟลาทอกซินเอ็ม1 เพื่อใช้ในการทดสอบการปนเปื้อนของอะฟลาทอกซินเอ็ม1 ในน้ำนมด้วยวิธี ELISA พบว่า ค่าความเข้มข้นของสารที่น้อยที่สุดที่สามารถตรวจวัดได้ อยู่ที่ 0.04 ppb ซึ่งมีความไวสูง และสามารถตรวจสอบสารปนเปื้อนในปริมาณที่ต่ำกว่าค่าที่ในหลายประเทศได้กำหนดไว้

2.1.7 ทฤษฎีทางภูมิคุ้มกันวิทยา

2.1.7.1 แอนติเจน (Antigen, Ag)

แอนติเจน เป็นสารที่สามารถทำปฏิกิริยาอย่างจำเพาะกับแอนติบอดีที่ตอบสนองของระบบภูมิคุ้มกัน และมีความเป็นอิมมูโนเจน (immunogen) ที่สามารถชักนำให้เกิดการตอบสนองของระบบภูมิคุ้มกันอย่างจำเพาะ แม้ว่าสารทุกชนิดที่มีสมบัติเป็นอิมมูโนเจนจะมีสมบัติเป็น

แอนติเจนก็ตาม แต่มีสารโมเลกุลเล็กที่เรียกว่า แฮปเทน (**hapten**) มีสมบัติเป็นแอนติเจน แต่ขาดสมบัติของการเป็นอิมมูโนเจน ซึ่งไม่สามารถชักนำให้เกิดการตอบสนองของระบบภูมิคุ้มกันได้ ดังนั้นต้องใช้กระบวนการทางเคมี เชื่อมแฮปเทนกับโปรตีนพาหะ (**carrier protein**) สามารถประกอบเป็น **hapten-carrier conjugate** ซึ่งมีสมบัติเป็นอิมมูโนเจน ซึ่งสมบัติของอิมมูโนเจนที่กระตุ้นให้เกิดการตอบสนองของระบบภูมิคุ้มกันของสิ่งมีชีวิต ได้แก่

1. มีความเป็นสัณฐานเปลี่ยนแปลง

สารที่จะกระตุ้นการตอบสนองของระบบภูมิคุ้มกันได้ สารนั้นจะต้องถูกตรวจว่าไม่มีองค์ประกอบเหมือนกับสิ่งมีชีวิตนั้นๆ โดยโมเลกุลชนิดใดที่ไม่เคยสัมผัสกับลิ้มโฟไซต์ที่ยังเจริญไม่เต็มที่ (**immature lymphocyte**) ในเวลาต่อมาเมื่อแอนติเจนนั้นเข้าสู่ร่างกาย ก็จะถูกตรวจจับโดยระบบภูมิคุ้มกันว่าเป็นสัณฐานเปลี่ยนแปลง ระดับของการเป็นอิมมูโนเจนขึ้นอยู่กับระดับความเปลี่ยนแปลง โดยสารจากสิ่งมีชีวิตที่มีความสัมพันธ์ทางวิวัฒนาการห่างกันมากมักจะมีโครงสร้างที่แตกต่างกันมาก

2. ขนาดของโมเลกุล

ขนาดของโมเลกุลมีความเกี่ยวข้องกันโดยตรงกับความเป็นอิมมูโนเจน โดยแอนติเจนขนาด **100,000** ดาลตัน จะกระตุ้นการตอบสนองที่มีประสิทธิภาพสูง เนื่องจากการที่มีขนาดโมเลกุลใหญ่ขึ้นจะมีอิทธิพลมากขึ้น และมาโครฟาจจะสามารถจับกินได้ดีมากขึ้น โดยทั่วไปโมเลกุลขนาด **5,000-10,000** ดาลตันจะมีประสิทธิภาพในการเป็นอิมมูโนเจนต่ำ โมเลกุลขนาดใหญ่ที่ไม่ละลายน้ำจะมีสมบัติเป็นอิมมูโนเจนได้ดีกว่าโมเลกุลขนาดเล็กที่ละลายน้ำ เพราะโมเลกุลขนาดใหญ่ถูกฟาโกไซโทซิสได้ง่าย

3. องค์ประกอบ และความซับซ้อนทางเคมี

แอนติเจนที่มีโครงสร้างและองค์ประกอบทางเคมีที่ซับซ้อน (**complex**) จะสามารถกระตุ้นระบบภูมิคุ้มกันได้ดี โปรตีนบางชนิดเป็นโมเลกุลเดี่ยว จะไม่สามารถกระตุ้นระบบภูมิคุ้มกัน แต่โปรตีนนั้นประกอบด้วยหลายโมเลกุล หรือ มีการเกาะกลุ่ม จะสามารถชักนำให้ร่างกายสร้างแอนติบอดีได้ รวมถึงความซับซ้อนของลักษณะโมเลกุลด้านอื่น ๆ เช่น โฮโมโพลิเมอร์ (**homopolymer**) ซึ่งประกอบด้วยกรดอะมิโนหรือน้ำตาลเพียงชนิดเดียวจะขาดความเป็นอิมมูโนเจน แม้ว่าจะมีขนาดใหญ่ก็ตามแต่ถ้านำโมเลกุลขนาดเล็กอื่น ๆ หรือเพิ่มความซับซ้อนทางเคมีเป็นโคพอลิเมอร์ (**co-polymer**) ก็จะทำให้มีคุณสมบัติในการกระตุ้นภูมิคุ้มกันได้

4. ความสามารถในการถูกแปรรูปและนำเสนอ

พัฒนาการของระบบภูมิคุ้มกันแบบหลังแอนติบอดีและภูมิคุ้มกันแบบพึ่งเซลล์ ต้องการ การเกิดปฏิกิริยาระหว่างที-เซลล์ กับ แอนติเจนที่ถูกแปรรูป โดยแอนติเจนจะถูกนำเสนอ ร่วมกับโปรตีนบนผิวเซลล์ที่เรียกว่า **major histocompatibility complex (MHC)** แอนติเจนที่ถูก นำเสนอร่วมกับ **class II MHC** บนผิวของเซลล์จะนำเสนอต่อ **Helper T cells (T_H)** หรือแอนติเจน บนผิวเซลล์ที่เปลี่ยนแปลงไปถูกนำเสนอร่วมกับ **class I MHC** จะนำเสนอต่อ **Cytotoxic T cells (T_C)** กรณีของโมเลกุลขนาดใหญ่ที่ไม่สามารถถูกย่อยสลายได้เมื่อถูกนำเสนอร่วมกับโมเลกุลของ **MHC** จะมีการเป็นอิมมูโนเจนต่ำ

นอกจากความแปลกปลอม ขนาดของโมเลกุล องค์ประกอบและความซับซ้อนทางเคมี และความง่ายต่อการแปรรูปและนำเสนอเป็นสมบัติที่สำคัญต่อการเป็นอิมมูโนเจนแล้ว สมบัติของ สิ่งมีชีวิตเองก็มีผลต่อการตอบสนองของระบบภูมิคุ้มกันด้วย เช่น จีโนไทป์ของสัตว์ ปริมาณ แอนติเจน เส้นทางการให้แอนติเจนเข้าสู่ร่างกาย การผสมและไม่ผสมแอดจูแวนท์ล้วนมีส่วนใน การตอบสนองของระบบภูมิคุ้มกัน (ไพศาล สิทธิกรกุล, 2548) ดังนั้น สมบัติของสิ่งมีชีวิตที่มีผล ต่อการตอบสนองของระบบภูมิคุ้มกัน ได้แก่

1. จีโนไทป์ของสัตว์ที่ได้รับแอนติเจน

องค์ประกอบทางยีน หรือจีโนไทป์ของสัตว์ที่ได้รับการปลูกภูมิคุ้มกันมีอิทธิพลต่อชนิด และระดับของการตอบสนองของระบบภูมิคุ้มกัน เช่น หนูขาวสายพันธุ์ต่างๆ จะตอบสนองต่อ แอนติเจนต่างกัน บางสายพันธุ์จะสร้างแอนติบอดีในซีรัมสูง แต่บางสายพันธุ์จะสร้างแอนติบอดี ได้ต่ำ การตอบสนองของระบบภูมิคุ้มกันถูกควบคุมโดยยีนที่อยู่ใน **MHC** และยีนที่ถอดรหัสเป็น ตัวรับ (**receptor**) ของบี-เซลล์ และที-เซลล์ ซึ่งความแปรปรวนของยีนเหล่านี้ล้วนมีผลต่อการ เป็นอิมมูโนเจนของแอนติเจนในสัตว์แต่ละตัว

2. ปริมาณและเส้นทางการให้แอนติเจน

การให้แอนติเจนปริมาณต่ำเกินหรือสูงเกินไปจะไม่สามารถกระตุ้นการตอบสนองของ ระบบภูมิคุ้มกันได้ เนื่องจากมีปริมาณแอนติเจนน้อยเกินไปที่จะกระตุ้นลิมโฟไซต์ หรืออาจ ก่อให้เกิดการชักนำให้เกิดสภาวะไม่ตอบสนองขึ้น (**tolerance**) การให้แอนติเจนเพียงครั้งเดียว โดยทั่วไปจะไม่สามารถชักนำให้เกิดการกระตุ้นรุนแรง จึงต้องให้ซ้ำ กัน หลาย ๆ ครั้ง เป็น ระยะเวลาหลายสัปดาห์ จึงจะสามารถกระตุ้นให้เกิดการตอบสนองที่รุนแรงได้

เส้นทางการให้แอนติเจนทั่ว ๆ ไป ได้แก่

- การฉีดเข้าหลอดเลือดดำ (Intravenous injection)
- การฉีดเข้าใต้ผิวหนัง (Intradermal injection)
- การฉีดเข้าชั้นเนื้อเยื่อเกี่ยวพันใต้ผิวหนัง (Subcutaneous injection)
- การฉีดเข้ากล้ามเนื้อ (Intramuscular injection)
- การฉีดเข้าช่องท้อง (Intraperitoneal injection)

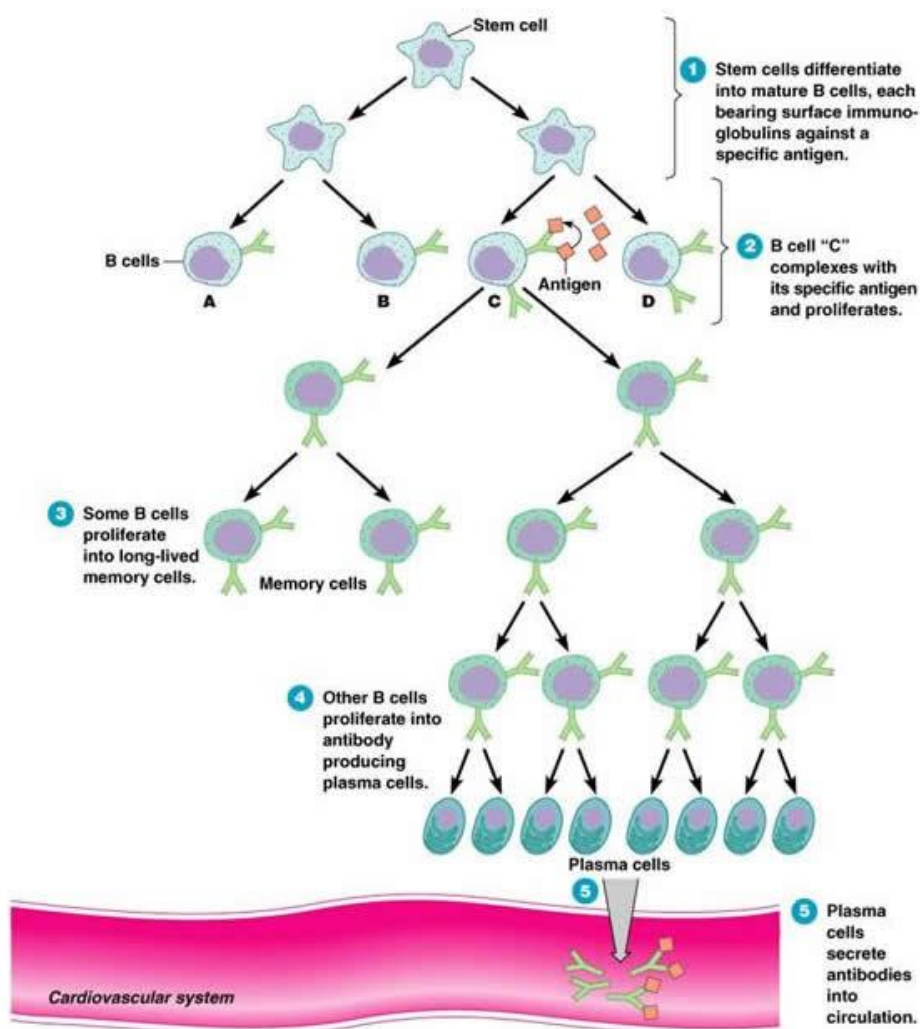
เส้นทางการให้แอนติเจนเกี่ยวข้องกับอวัยวะในระบบภูมิคุ้มกันซึ่งมีเซลล์ต่าง ๆ สะสมอยู่จะมีผลต่อการตอบสนองของแอนติเจน การให้เข้าสู่หลอดเลือดดำ แอนติเจนจะถูกนำเข้าสู่ม้ามก่อน ในขณะที่ฉีดเข้าสู่ร่างกายบริเวณต่างๆ แอนติเจนจะเข้าสู่ต่อมน้ำเหลืองบริเวณนั้น การเปลี่ยนแปลงของเซลล์ในอวัยวะต่อมน้ำเหลืองจะเป็นตัวบอกถึงสภาวะการตอบสนองของระบบภูมิคุ้มกัน

3. แอดจูแวนท์

แอดจูแวนท์เป็นสารที่ใช้ผสมกับแอนติเจนเพื่อเพิ่มการตอบสนองของระบบภูมิคุ้มกัน มักใช้ผสมกับแอนติเจนที่มีปริมาณน้อยหรือมีความเป็นอิมมูโนเจนต่ำ แอดจูแวนท์ทำให้แอนติเจนอยู่ในร่างกายได้นานขึ้น และช่วยเพิ่มการกระตุ้นร่วมของสัญญาณต่างๆ (co-stimulatory signal) แอดจูแวนท์ที่นิยมใช้ ได้แก่ **Freund's complete adjuvant** และ **Freund's incomplete adjuvant** ที่ประกอบด้วยน้ำมันแร่ (mineral oil) และ emulsifying agent คือ mannide monooleate เมื่อแอดจูแวนท์ผสมกับแอนติเจนที่ละลายน้ำ จะกระจายเป็นถุงเล็กๆ ล้อมรอบแอนติเจน ทำให้แอนติเจนถูกปล่อยจากบริเวณที่ฉีดช้าลง ใน **Freund's complete adjuvant** มีเชื้อ *Mycobacterium* ที่ถูกฆ่าด้วยความร้อนผสมอยู่ด้วย เนื่องจาก muramyl dipeptide ที่เป็นองค์ประกอบของผนังเซลล์มีประสิทธิภาพในการกระตุ้นแมคโครฟาจสูง แมคโครฟาจจะมีการแสดงออกของ class II MHC และ โปรตีน B7 ในเมมเบรน และเพิ่มระดับการหลั่งไซโตไคน์ (cytokine) ที่เป็นตัวกระตุ้นร่วมเพื่อเพิ่มสัญญาณต่างๆ ในการตอบสนองของ T_H

2.1.7.2 แอนติบอดี (Antibody, Ab)

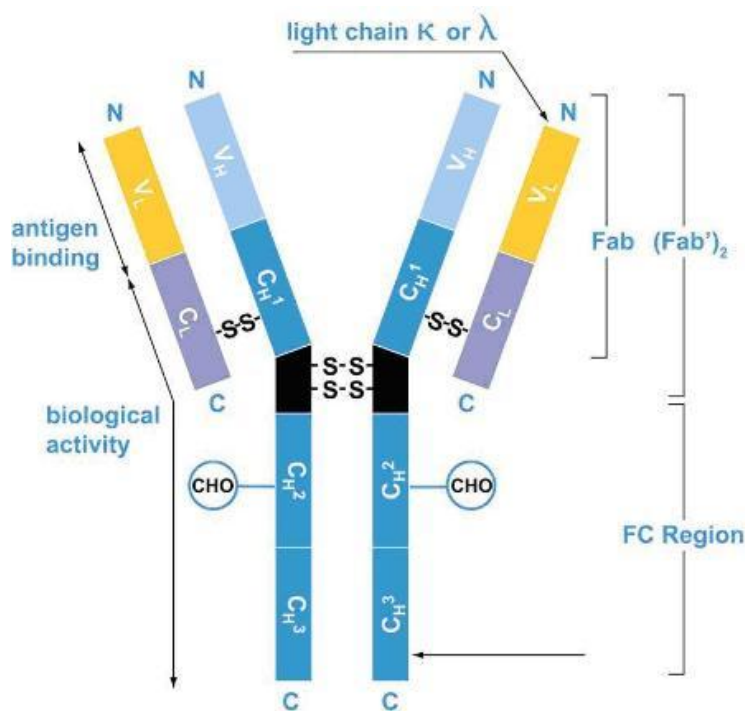
แอนติบอดีหรืออิมมูโนโกลบูลิน (immunoglobulin, Ig) เป็นโปรตีนทำหน้าที่จับกับแอนติเจน แอนติบอดีสร้างจากเม็ดเลือดขาวชนิดบี-ลิมโฟไซต์ ที่เปลี่ยนแปลงเพื่อทำหน้าที่หลังแอนติบอดี เรียกว่า พลาสมาเซลล์ (plasma cell) ระบบภูมิคุ้มกันแบบหลังแอนติบอดี (humoral immunity) จะหลังแอนติบอดีเข้าสู่ระบบหมุนเวียนโลหิต ซึ่งทำหน้าที่ในการตรวจจับการสลายพิษ (neutralization) และกำจัดแอนติเจนออกจากร่างกาย ส่วนแอนติบอดีที่อยู่บนผิวเซลล์ของบี-ลิมโฟไซต์เป็นตัวบ่งชี้ความจำเพาะของบี-ลิมโฟไซต์การทำปฏิกิริยาของแอนติเจนกับแอนติบอดีบนผิวเซลล์เป็นการกระตุ้นให้โคลนของบี-ลิมโฟไซต์ที่จำเพาะต่อแอนติเจนนั้นแบ่งเซลล์ และหลังแอนติบอดีที่มีความจำเพาะกับแอนติบอดีที่อยู่บนผิวเซลล์ ดังภาพที่ 2.3



ภาพที่ 2.3 ระบบภูมิคุ้มกันแบบหลังแอนติบอดี (humoral immunity)

ที่มา: Midlands Technical College

โครงสร้างพื้นฐานของอิมมูโนโกลบูลิน 1 โมเลกุล ประกอบด้วย สายโพลีเพปไทด์ 4 สาย คือ โปรตีนสายยาว (**heavy chain, H**) 2 สายที่เหมือนกัน และโปรตีนสายสั้น (**light chain, L**) 2 สายที่เหมือนกัน เชื่อมต่อกันด้วยไดซัลไฟด์บอนด์ ปลายข้างหนึ่งของสายโพลีเพปไทด์ จะเป็นกรดอะมิโน เรียกว่า N หรือ **amino terminal** จะประกอบด้วยส่วนที่มีการเรียงตัวของกรดอะมิโนไม่คงที่ เรียกว่า **V (Variable region)** ซึ่งจะแตกต่างกันในแอนติบอดีแต่ละชนิด เป็นบริเวณที่ใช้จับแอนติเจน ส่วนปลายอีกข้างหนึ่งเป็นคาร์บอกซิลิก เรียกว่า C หรือ **carboxy terminal** เป็นส่วนที่มีการเรียงตัวของกรดอะมิโนคงที่เรียกว่า **C (Constant region)** ดังภาพที่ 2.4 นอกจากนี้ยังสามารถแบ่ง **light chain** ได้เป็น ชนิด κ และ λ และแบ่ง **heavy chain** ได้เป็น 5 ชนิด คือ γ μ α δ และ ϵ ใช้เป็นตัวกำหนดคลาส (class) ของแอนติบอดี ได้แก่ IgG IgM IgA IgD และ IgE ตามลำดับ ความแตกต่างเล็กน้อยของลำดับกรดอะมิโนของ H chain ชนิด α และ γ ทำให้แยกออกเป็นกลุ่มย่อยได้ ในมนุษย์ α chain มี 2 กลุ่มย่อย (α_1 และ α_2) และกรณีของ γ มี 4 กลุ่มย่อย γ_1 γ_2 γ_3 และ γ_4 ดังตารางที่ 2.3



ภาพที่ 2.4 โครงสร้างพื้นฐานของแอนติบอดี

ที่มา : Abcam's antibody guide

ตารางที่ 2.3 องค์ประกอบของโปรตีนสายสั้นและสายยาวของ Ig ไอโซไทป์ต่างๆ

| ไอโซไทป์ | สายยาว (H-chain) | สายสั้น (L-chain) | กลุ่มย่อย (subclass) |
|----------|---------------------|-------------------------|--|
| IgG | γ | κ หรือ λ | $\gamma_1, \gamma_2, \gamma_3, \gamma_4$ |
| IgA | α | κ หรือ λ | α_1, α_2 |
| IgM | μ | κ หรือ λ | ไม่มี |
| IgD | δ | κ หรือ λ | ไม่มี |
| IgE | ϵ | κ หรือ λ | ไม่มี |

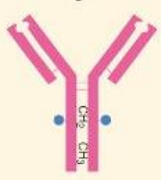
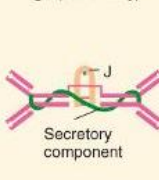
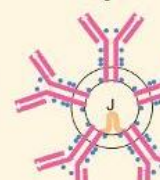
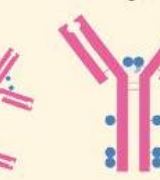
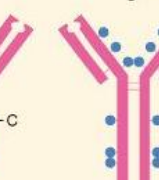
ที่มา: (ไพศาล สติภิกกรกุล, 2548)

โครงสร้างของ Ig กำหนดโดยโครงสร้างปฐมภูมิ โครงสร้างทุติยภูมิ โครงสร้างตติยภูมิ และโครงสร้างจตุรภูมิ โครงสร้างปฐมภูมิประกอบด้วยลำดับกรดอะมิโนส่วน ของ V และ C ของ H chain และ L chain ส่วนโครงสร้างทุติยภูมิเกิดจากการพับทบกันไปมาของสายเพปไทด์แบบ β -pleated sheet เสถียรภาพของโครงสร้างนี้เกิดจากพันธะไฮโดรเจนและพันธะไดซัลไฟด์ ภายในสายที่เชื่อมระหว่างสายเพปไทด์ที่พับไปมา ซึ่งสายเพปไทด์มีวนทับเป็นโครงสร้างตติยภูมิอัดแน่นเป็นก้อน (globular domain) และส่วนของโดเมนที่อัดแน่นเป็นก้อนของ H chain และ L chain รวมกันเป็นโครงสร้างจตุรภูมิ ประกอบกันเป็นบริเวณที่ใช้จับแอนติเจนได้อย่างจำเพาะ

ในส่วนของบริเวณที่แปรปรวน V (variable region) จะมีบางบริเวณที่มีความแปรปรวนสูง (hypervariable region) ซึ่งจะพบ 3 แห่งบน H chain และ L chain ซึ่งส่วนที่มีความแปรปรวนสูงนี้จะประกอบกันเป็นบริเวณที่ใช้จับแอนติเจน ซึ่งจะมีลักษณะเข้ากับโครงสร้างอิพิโทปของแอนติเจน จึงเรียกบริเวณนี้ว่า CDRs (complementarity determining region) และมีส่วนที่มีความแปรปรวนน้อยทำหน้าที่เป็นโครงสร้างเรียกว่า FRs (framework region)

คลาส หรือ ไอโซไทป์ (Isotype) ของ Ig ชนิดต่างๆ ได้แก่ IgG, IgA, IgM, IgD และ IgE เกิดจากความแตกต่างกันในส่วนของลำดับกรดอะมิโนในส่วนของ H chain ในบริเวณ C ทำให้แอนติบอดีมีโครงสร้าง และบทบาทการทำงานแตกต่างกันในแง่ของการทำหน้าที่กระตุ้นตัวทำงาน (effector) ปริมาณความเข้มข้นในซีรัม และอายุครึ่งชีวิต (ภาพที่ 2.5) โดย IgG เป็นกลุ่มที่พบปริมาณสูงสุดในซีรัม มีความสำคัญในการกำจัดแอนติเจนโดยกลไกต่างๆ และเป็นชนิดเดียวที่สามารถผ่านรกได้ นอกจากนั้น IgG ยังสามารถแบ่งได้เป็น 4 กลุ่มย่อย (subclass) บนบริเวณคางที่ของโปรตีนสายยาวชนิด γ ได้แก่ γ_1 γ_2 γ_3 และ γ_4 ทำให้เกิดเป็นกลุ่มย่อย IgG₁ IgG_{2a}

IgG_{2b} และ **IgG₃** ตามลำดับ ทั้ง 4 กลุ่มย่อยนี้ถอดรหัสจากยีนต่างกันจึงมีลำดับกรดอะมิโนคล้ายกันประมาณ **90-95%** โครงสร้างลักษณะที่แตกต่างกันของแต่ละกลุ่มย่อย ได้แก่ ขนาดของข้อพับ จำนวนและตำแหน่งของพันธะไดซัลไฟด์ ภายในสายระหว่าง **H chain IgM** ประกอบด้วยแอนติบอดี 5 ชุด (**pentamer**) ซึ่งมีบริเวณที่จับกับแอนติเจนมาก (**multivalence**) จึงมีประสิทธิภาพสูงในการตรวจจับไวรัส การจับรวมตัวกันของแบคทีเรีย และกระตุ้นคอมพลีเมนต์ซึ่งเป็นกลุ่มโปรตีนในเลือด ปกติจะอยู่ในสภาวะไม่ทำงาน แต่จะถูกกระตุ้นด้วยองค์ประกอบต่างๆ แบบไม่จำเพาะ และระบบภูมิคุ้มกันแบบจำเพาะ เป็นผลให้เกิดปฏิกิริยาถูกใช้ ช่วยในการทำลายและ กำจัดสิ่งแปลกปลอมออกจากร่างกาย **IgA** จะประกอบด้วยแอนติบอดี 2 ชุด (**dimer**) หรือ 4 ชุด (**tetramer**) เชื่อมต่อกันด้วยพันธะไดซัลไฟด์ กับ **J chain** ซึ่งเป็นพอลิเพปไทด์ที่เชื่อมบริเวณ **Fc** ของแอนติบอดี ซึ่งแอนติบอดีกลุ่มหลักที่หลั่งออกนอกร่างกาย รวมถึงน้ำนมและเยื่อเมือกต่างๆ **IgD** เป็นแอนติบอดีหลักที่ยึดอยู่บนผิวของบี-เซลล์ที่เจริญสมบูรณ์ ทำหน้าที่เป็นตัวกระตุ้นบี-เซลล์เมื่อจับกับแอนติเจน ส่วน **IgE** เป็นตัวก่อให้เกิดอาการแพ้ โดยจะจับกับเม็ดเลือดขาว ได้แก่ มาสต์เซลล์ (**mast cell**) และเบโซฟิล (**basophil**) ซึ่งจะชักนำให้หลั่งสารที่อยู่ในแกรนูลของเซลล์ เป็นผลให้เกิดอาการแพ้ ทั้ง **IgD** และ **IgE** พบได้น้อยมากในซีรัม (ไพศาล สิทธิกรกุล, 2548)

| | IgG | IgA (dimer only) | IgM | IgD | IgE |
|---------------------------------------|--|---|---|---|---|
| |  |  |  |  |  |
| | Monomer | Dimer, Monomer | Pentamer | Monomer | Monomer |
| Number of Antigen Binding Sites | 2 | 4 2 | 10 | 2 | 2 |
| Molecular Weight | 150,000 | 170,000-385,000 | 900,000 | 180,000 | 200,000 |
| Percentage of Total Antibody in Serum | 80% | 13% | 6% | 1% | 0.002% |
| Average Half-Life in Serum (Days) | 23 | 6 | 5 | 3 | 2.5 |
| Crosses Placenta? | Yes | No | No | No | No |
| Fixes Complement? | Yes | No | Yes | No | No |
| Fc Binds To | Phagocytes | | | | Mast cells and basophils |
| Biological Function | Long-term immunity; memory antibodies; neutralizes toxins, opsonizes, fixes complement | Secretory antibody; on mucous membranes | Produced at first response to antigen; can serve as B-cell receptor | Receptor on B cells | Antibody of allergy; worm infections |

C = carbohydrate.

J = J chain.

ภาพที่ 2.5 โครงสร้างและคุณสมบัติของอิมมูโนโกลบูลินทั้ง 5 ไอโซไทป์

ที่มา: Phoenix collage (2010)

2.1.7.3 การกระตุ้นบี-ลิมโฟไซต์ให้สร้างภูมิคุ้มกันแบบหลังแอนติบอดี

เซลล์ บี-ลิมโฟไซต์ (B-lymphocyte) หรือ บีเซลล์ (B-cell) จะถูกกระตุ้นภูมิคุ้มกันทำให้เกิดการสร้างแอนติบอดีที่มีความจำเพาะ (specific antibody) ซึ่งแอนติบอดีเป็นไกลโคโปรตีนที่สามารถจับอย่างจำเพาะกับโมเลกุลชนิดต่างๆ ได้ โดยโมเลกุลของแอนติบอดีจะมีบริเวณจำเพาะที่จะจับกับแอนติเจน ความจำเพาะของบี-เซลล์ เกิดจากการแสดงออกของตัวรับบนผิวเซลล์ เมื่อบี-เซลล์มีการจับกับแอนติเจนที่เหมาะสมตรงบริเวณที่จับ (binding site) ของแอนติบอดีบนผิวเซลล์ บี-เซลล์จะถูกกระตุ้นให้แบ่งเซลล์อย่างรวดเร็วและพัฒนาเป็นเซลล์ความจำ (Memory B-cell) และ บางส่วนพัฒนาเป็นพลาสมาเซลล์ (plasma cell) ทำหน้าที่หลั่งแอนติบอดีที่มีความจำเพาะเหมือนกับแอนติบอดีบนผิวเซลล์และเข้าสู่ระบบหมุนเวียนโลหิต (สุทธิพันธ์ สารสมบัติ, 2541) ดังภาพที่ 2.3

2.1.7.4 ความแตกต่างระหว่างพอลิโคลนอลและโมโนโคลนอลแอนติบอดี

แอนติเจนแต่ละชนิดจะมีอิพิโทปที่ต่างกันจำนวนมาก แอนติเจนสามารถชักนำการกระตุ้นการตอบสนองของบี-เซลล์ โดยบี-เซลล์จะตรวจจับอิพิโทปต่างกันบนโมเลกุลของแอนติเจนตัวเดียวกัน ทำให้เกิดการสร้างแอนติบอดีหลายชนิดในซีรัม แอนติบอดีแต่ละชนิดที่จำเพาะต่ออิพิโทปที่ต่างกัน ที่รวมอยู่ด้วยกันในซีรัม เรียกว่า โพลีโคลนอลแอนติบอดี (polyclonal antibody; PAb)

โมโนโคลนอลแอนติบอดี (monoclonal antibody; MAb) เป็นแอนติบอดีที่สร้างจากบี-เซลล์ที่โคลนมาจากต้นกำเนิดเดียวกัน เป็นบี-เซลล์ที่มีความจำเพาะต่ออิพิโทปบนแอนติเจนที่ตำแหน่งเดียวกัน จึงทำให้แอนติบอดีที่ผลิตออกมามีคุณสมบัติเหมือนกัน

เมื่อมองในระดับโมเลกุลแล้ว โพลีโคลนอลแอนติบอดี คือโมโนโคลนอลแอนติบอดีหลายๆ ชนิดรวมกันซึ่งเกิดขึ้นตามธรรมชาติในร่างกายมนุษย์ หรือสัตว์ เมื่อได้รับการกระตุ้นโดยแอนติเจน โดยความแตกต่างระหว่างแอนติบอดีทั้ง 2 ชนิด จะแสดงดังตารางที่ 2.4

2.1.7.5 การผลิตโมโนโคลนอลแอนติบอดีโดยใช้หลักการของsomatic hybridization

บี-เซลล์ และพลาสมาเซลล์ที่สามารถสร้างแอนติบอดีที่จำเพาะต่อแอนติเจนมักมีการแบ่งตัวแบบมีขีดจำกัด และตายในระยะเวลาอันสั้น ทำให้ไม่สามารถนำมาใช้ผลิตโมโนโคลนอลแอนติบอดีโดยนำมาเลี้ยงในหลอดทดลองได้ แต่มีเซลล์มะเร็งกลุ่มหนึ่งที่กำเนิดมาจากเซลล์พลาสมา เรียกว่า เซลล์มัยอีโลมา (myeloma cell) ที่มีคุณสมบัติของเซลล์มะเร็ง คือ สามารถแบ่ง

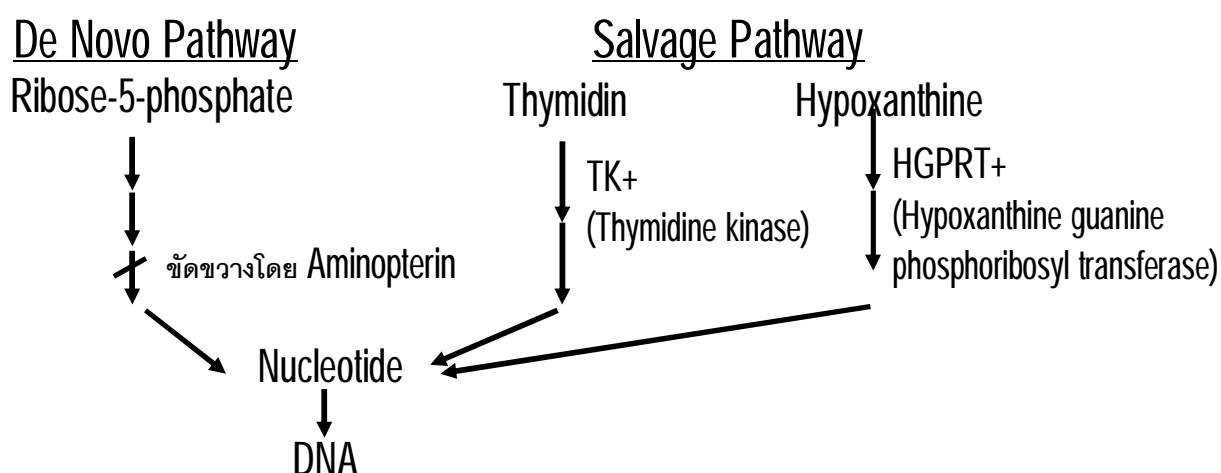
เซลล์ได้อย่างไม่จำกัด โดยในปี ค.ศ. 1975 Kohler และ Milstein ได้พัฒนาการการหลอมรวมปี-เซลล์ที่ได้จากม้ามของหนูทดลองที่มีการตอบสนองต่อแอนติเจน กับเซลล์มัยอิโลมา ได้เป็นเซลล์ลูกผสม หรือ ไฮบริโดมา (hybridoma) ที่มีคุณสมบัติในการสร้างแอนติบอดีที่จำเพาะต่อแอนติเจนที่ได้จากปี-เซลล์ และความสามารถในการแบ่งเซลล์ได้อย่างไม่จำกัดของเซลล์มะเร็ง ทำให้สามารถผลิตโคลนของไฮบริโดมาที่สามารถสร้างแอนติบอดีได้เป็นจำนวนมาก และไม่จำกัดปริมาณ

ตารางที่ 2.4 คุณสมบัติและข้อจำกัดในการผลิตระหว่างโพลีโคลนอลแอนติบอดีและโมโนโคลนอลแอนติบอดี

| สมบัติ | โพลีโคลนอลแอนติบอดี | โมโนโคลนอลแอนติบอดี |
|---------------------------------|---|---|
| ความจำเพาะ (specificity) | ความจำเพาะต่ำ ทำให้เกิดปฏิกิริยาข้ามกับสารอื่น ๆ ได้ | ความจำเพาะสูง เนื่องจากจำเพาะกับอิพิโทปเดียวของแอนติเจน |
| สัมพรรคภาพ (affinity) | จับได้หลายอิพิโทปต่อแอนติเจน | จับได้อิพิโทปเดียวของแอนติเจน |
| ความเข้มข้นของแอนติบอดีที่ผลิต | ประมาณ 1 mg/ml | ประมาณ 100-200 µg/ml |
| ปริมาณที่ผลิตได้ | ประมาณ 100 ml จากซีรัมของกระต่าย | เมื่อเลี้ยงในถึงปฏิกรณ์แบบปั่นกววน ปริมาณไม่จำกัด |
| ความบริสุทธิ์ของแอนติบอดีที่ได้ | ขึ้นอยู่กับแอนติเจนที่ใช้กระตุ้น จำเป็นต้องทำให้บริสุทธิ์ | จำเพาะกับอิพิโทปเดียว จึงไม่จำเป็นต้องทำให้บริสุทธิ์ |
| เวลาที่ใช้ผลิต | ไม่เกิน 6 สัปดาห์ | อย่างน้อย 4 เดือน |
| ต้นทุนในการผลิต | ต่ำ | สูง โดยเฉพาะเวลาเริ่มต้น |
| ข้อดี | ต้นทุนต่ำ ง่ายต่อการผลิต ใช้เวลาในการผลิตน้อย | มีความจำเพาะสูง ผลิตได้ไม่จำกัด แอนติบอดีที่ได้มีคุณภาพสม่ำเสมอ |
| ข้อเสีย | คุณภาพแอนติบอดีที่ได้แต่ละครั้งไม่สม่ำเสมอ | เสียเวลาและแรงงานในการผลิตมาก |

2.1.7.6 การสร้าง และคัดเลือกเซลล์ไฮบริโดมา

นำบี-เซลล์จากสัตว์ที่ถูกระตุ้นภูมิคุ้มกันด้วยแอนติเจนที่ต้องการให้สร้างแอนติบอดีมา ชักนำให้เกิดการหลอมรวมกับเซลล์มัยอีโดมา โดยใช้วิธีการหลอมรวมเซลล์ (**fusion**) ทางเคมี โดยการใช้ **polyethylene glycol (PEG)** ซึ่งทำให้เกิดการหลอมรวมของเซลล์เมมเบรนเข้าด้วยกัน ก่อนที่จีโนมของเซลล์จะผ่านเข้าสู่ไซโทพลาสของอีกเซลล์หนึ่ง เซลล์ที่รวมตัวกันจะเป็นเซลล์ที่มีนิวเคลียสสองอัน หรือมากกว่า เมื่อเซลล์แบ่งตัวนิวเคลียสจึงรวมตัวกันและเกิดเป็นเซลล์ลูกผสม (**hybrid cell**) หรือไฮบริโดมา แต่การทำให้เซลล์หลอมรวมตัวกันจะมีเซลล์ที่หลอมรวมกันเอง ไม่หลอมรวมกัน และไฮบริโดมา ถ้านำเซลล์มะเร็งมาหลอมรวมกับเซลล์ปกติแล้วเพาะเลี้ยงต่อไป จะพบว่าเซลล์มะเร็งที่ยังไม่เกิดการหลอมรวมจะเจริญเติบโตอย่างรวดเร็วจนปกคลุมเซลล์ไฮบริโดมา ดังนั้นจึงต้องหาวิธีที่จะคัดเลือกเฉพาะเซลล์ไฮบริโดมาเท่านั้นให้สามารถอยู่รอดได้ ในปี ค.ศ. 1964 Littlefield เป็นผู้พบวิธีการคัดเลือกดังกล่าวโดยการใช้ **selective medium** ซึ่งมีสาร **aminopterin, hypoxanthine** และ **thymidine** เรียกว่า **HAT medium** โดย **aminopterin** เป็นสารที่เป็น **folic acid analogue** มีคุณสมบัติที่จะเกาะกับ **folic acid reductase** ทำให้ยังยั้ง **coenzymes** ที่จะใช้ในการสังเคราะห์ DNA ทาง "**de novo**" **synthesis pathway** เซลล์ที่จะรอดชีวิตใน **HAT medium** ได้จึงต้องมีการสร้าง DNA ผ่านทาง "**salvage pathway**" ซึ่งต้องอาศัย เอนไซม์ที่สำคัญสองตัวคือ **Thymidine Kinase (TK)** และ **Hypoxanthine Guanine Phosphoribosyl Transferase (HPRT หรือ HGPRT)** ถ้าเซลล์ขาดเอนไซม์ตัวใดตัวหนึ่งไปจะไม่สามารถสร้าง DNA ได้ (ภาพที่ 2.6)

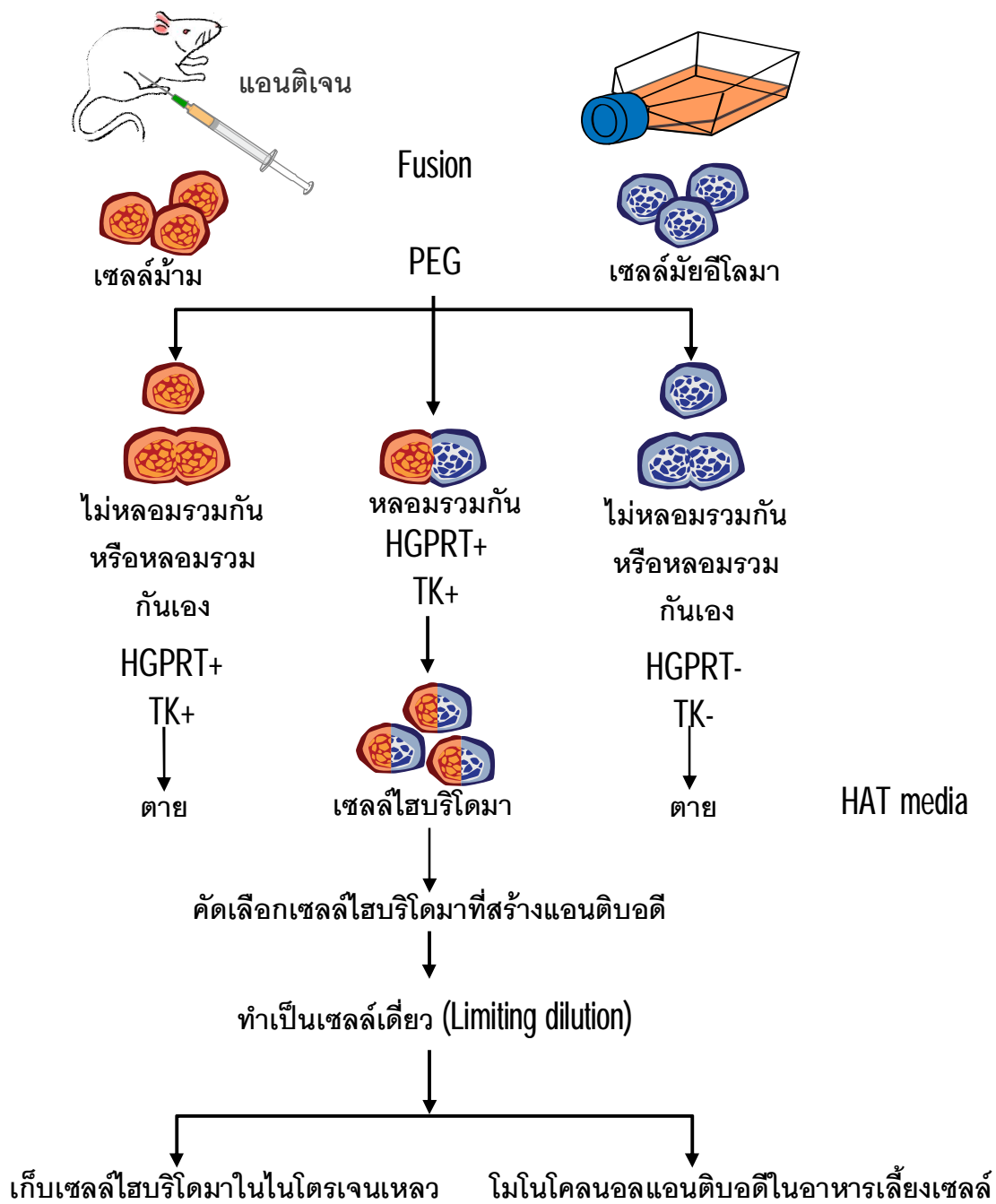


ภาพที่ 2.6 แนวทางการสังเคราะห์นิวคลีโอไทด์โดยใช้ **de novo pathway** และ **salvage pathway**

ที่มา : ไพศาล สิทธิกรกุล, 2548

ในการหลอมรวมจะใช้เซลล์มัยอิลوماที่มีคุณสมบัติขาด HGPRT ทำโดยการเพาะเลี้ยงเซลล์มัยอิลوما ในอาหารที่ใส่สาร **6-thioguanine** หรือ **8-azaguanine** ซึ่งเป็น **toxic base analogue** ลงไป สารนี้จะถูกใช้ในการสร้าง DNA โดยอาศัย HGPRT ซึ่งจะทำให้เซลล์ มัยอิลوماตายในที่สุด ดังนั้นเซลล์ที่รอดชีวิตอยู่จึงเป็นเซลล์ที่มีคุณสมบัติขาด HGPRT ดังนั้นถ้านำเซลล์มัยอิลوماที่ขาด HGPRT มาหลอมรวมกับบี-เซลล์ที่ได้จากม้ามของหนูทดลองซึ่งเป็นเซลล์ปกติ เซลล์มัยอิลوماที่ไม่ถูกหลอมรวม หรือหลอมรวมกันเองจะขาด HGPRT และ TK ทำให้ไม่สามารถเจริญเติบโตต่อไปได้ในอาหารเลี้ยงเซลล์ HAT ส่วนบี-เซลล์ที่มีคุณสมบัติในการสร้าง HGPRT ที่หลอมรวมกันเอง หรือไม่หลอมรวม ก็จะเจริญเติบโตในอาหารเลี้ยงเซลล์ HAT ได้ระยะเวลาหนึ่ง และจะตายไปภายในเวลา **3-7** วัน ดังนั้นจึงมีเพียงเซลล์ไฮบริโดมาเท่านั้นที่สามารถเจริญเติบโตต่อไปได้ (ภาพที่ 2.7) ภายหลังจากการหลอมรวมแล้ว เซลล์ไฮบริโดมาจะแบ่งตัวเพิ่มจำนวน และสูญเสียโครโมโซมไปบ้าง แต่ถ้าทำการคัดเลือกและแยกเซลล์ไฮบริโดมาให้เป็นเซลล์เดี่ยวตั้งแต่แรก ก็จะสามารถคัดเลือกเซลล์ที่ยังมีคุณสมบัติในการสร้างแอนติบอดีไว้ได้ ถ้าไม่รีบทำการคัดเลือกและแยกเซลล์ไฮบริโดมาก็จะเสี่ยงต่อการที่พบไฮบริโดมาซึ่งสูญเสียโครโมโซมในการสร้างแอนติบอดีไป ซึ่งเซลล์พวกนี้มักจะเจริญเติบโตรวดเร็วกว่าและจะเพิ่มจำนวนปกคลุมเซลล์ที่สร้างแอนติบอดีที่ต้องการไป ดังนั้นการคัดเลือกและแยกเซลล์ไฮบริโดมา จะทำให้ได้ไฮบริโดมาที่มีต้นกำเนิดมาจากเซลล์เดี่ยว ที่มีสายพันธุ์บริสุทธิ์ที่จะใช้งานได้ต่อไป

เนื่องจากในแต่ละโคลนอาจมีความสามารถในการผลิตแอนติบอดีได้ต่างกัน จึงต้องคัดเลือกเซลล์ไฮบริโดมา ที่สามารถสร้างโมโนโคลนอลแอนติบอดีได้ตามที่ต้องการ โดยการใช้วิธีทดสอบทางภูมิคุ้มกันวิทยา ได้แก่ วิธี **Enzyme-Linked Immunosorbent Assay (ELISA)**



ภาพที่ 2.7 ขั้นตอนการผลิตโมโนโคลนอลแอนติบอดีในหนูทดลอง
ที่มา ดัดแปลงจาก Keith, W. 2005

2.1.8 หลักการ Enzyme linked immunosorbent assay (ELISA)

ELISA หรือ **enzyme immunoassay (EIA)** อาศัยหลักการจับกันอย่างจำเพาะระหว่าง แอนติเจน และแอนติบอดี ซึ่งแอนติบอดีจะเชื่อมต่อกับเอนไซม์ โดยเอนไซม์จะเป็นตัวเร่งปฏิกิริยา เปลี่ยนสับสเตรทที่ไม่มีสีเป็นผลิตภัณฑ์ที่มีสี (**chromogenic substrate**) เอนไซม์ที่ใช้ติดแอนติบอดีที่ใช้ใน **ELISA** ได้แก่ **alkaline phosphatase (AP)** และ **horseradish peroxidase (HRP)** เป็นต้น

การพัฒนา **ELISA** รูปแบบต่าง ๆ ทำให้สามารถใช้เทคนิคนี้ในการตรวจสอบทั้ง แอนติเจนและแอนติบอดีในแง่คุณภาพหรือปริมาณได้ การตรวจสอบในเชิงปริมาณสามารถทำได้ โดยใช้แอนติเจนหรือแอนติบอดีที่ทราบปริมาณเพื่อเตรียมกราฟมาตรฐานสำหรับเปรียบเทียบกับผลที่ได้จากการทดสอบตัวอย่าง (ไพศาล สิทธิกรกุล, 2548)

เทคนิค **ELISA** ที่ใช้ในงานวิจัยนี้สามารถแบ่งตามลักษณะได้เป็น 2 ประเภท ดังนี้

1. Indirect ELISA

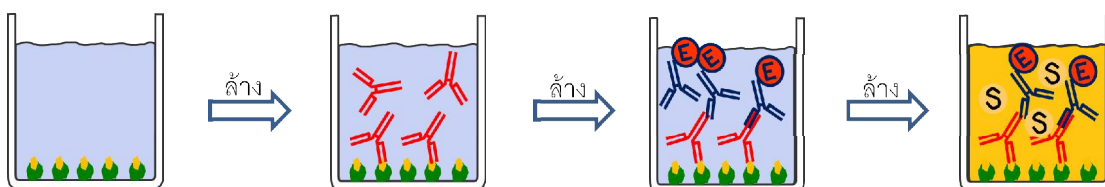
วิธี **indirect ELISA** ใช้ในการหาระดับของแอนติบอดีหลังการกระตุ้นด้วยแอนติเจน และใช้ในการคัดเลือกเซลล์ไฮบริโดมา ภายหลังจากการหลอมรวมเซลล์ ทำได้โดยเติมซีรัมหรืออาหารเลี้ยงเซลล์ที่มีแอนติบอดีที่จำเพาะกับแอนติเจนที่กั้นหลุมแล้วล้างแอนติบอดีที่ไม่จับกับแอนติเจนที่กั้นหลุมออก หลังจากนั้นตรวจสอบแอนติบอดีที่จับกับแอนติเจนโดยใช้แอนติบอดีตัวที่สอง ที่ติดฉลากด้วยเอนไซม์ โดยแอนติบอดีตัวที่สองจะมีความจำเพาะกับส่วน **Fc** ของแอนติบอดีตัวแรก หลังจากล้างแอนติบอดีตัวที่สองออก เติมสารตั้งต้นของเอนไซม์ ปริมาณสีที่เกิดจากปฏิกิริยาสามารถวัดได้โดย **microplate reader** ที่สามารถอ่านหลุมทดสอบในจาก **96** หลุม ได้ทั้งหมดในเวลาเดียวกัน และทราบผลค่าการดูดกลืนแสงจากทั้ง **96** ได้ภายในเวลาไม่ถึงนาที ดังภาพที่ 2.8

2. Competitive ELISA

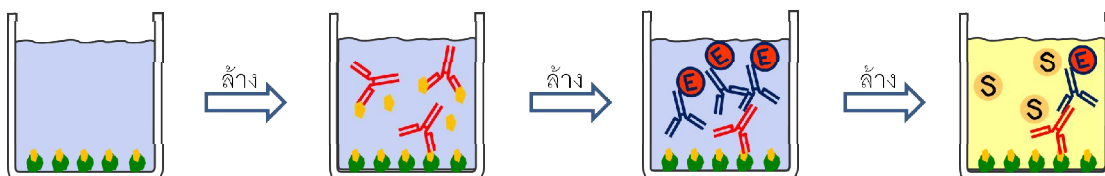
วิธี **competitive ELISA** ใช้ในกรณีทดสอบซีรัมที่ได้จากการกระตุ้นภูมิคุ้มกันด้วยแอนติเจน ว่ามีแอนติบอดีที่จับกับแอนติเจนในรูปอิสระหรือไม่ และใช้ในการคัดเลือกโคลนที่สามารถสร้างแอนติบอดีที่จับกับแอนติเจนในรูปอิสระได้ โดยวิธีนี้จะใช้แอนติบอดีผสมกับแอนติเจนในรูปอิสระ หรือตัวอย่างที่ต้องการตรวจ จากนั้นเติมลงในภาดหลุม **96** หลุมที่เคลือบด้วยแอนติเจน (เหมือนกับกรณีของ **indirect ELISA**) ซึ่งถ้าแอนติบอดีสามารถจับกับแอนติเจนใน

รูปอิสระได้ หรือมีแอนติเจนในตัวอย่างที่ต้องการตรวจมาก แอนติบอดีที่จะจับกับแอนติเจนนั้น หลุมจะมีน้อยลง ดังนั้นหลังจากเติมแอนติบอดีตัวที่สองที่เชื่อมด้วยเอนไซม์ และมีความจำเพาะ ต่อแอนติบอดีตัวแรก เพื่อให้ตรวจสอบปริมาณแอนติบอดีตัวแรกที่จับกับกันหลุมคล้ายกับ **indirect ELISA** แต่ในกรณีนี้ ตัวอย่างที่มีความเข้มข้นของแอนติเจนสูงจะให้ค่าการดูดกลืนแสง (absorbance) ต่ำกว่าหลุมที่ไม่มีแอนติเจน ดังภาพที่ 2.8






1. Indirect ELISA



2. Indirect Competitive ELISA



ภาพที่ 2.8 indirect ELISA และ indirect Competitive ELISA

-  : แอนติเจนที่เชื่อมต่อกับโปรตีนพาหะ
-  : แอนติเจนในรูปอิสระ
-  : แอนติบอดี
-  : แอนติบอดีทุติยภูมิ ที่ติดฉลากด้วย horseradish peroxidase
-  : สารตั้งต้นของเอนไซม์

เอกสารและงานวิจัยที่เกี่ยวข้อง

Shundo และคณะ (2006) ได้ทำการตรวจหา AFM₁ ในตัวอย่างน้ำนมดิบ นมพาสเจอร์ไรส์ และนมยูเอชที ด้วยเทคนิค Thin Layer Chromatography (TLC) เปรียบเทียบกับเทคนิค HPLC โดยใช้ Immunoaffinity Column เพื่อทำตัวอย่างให้บริสุทธิ์ก่อนนำไปวิเคราะห์ จากการทดลองใส่ AFM₁ ในปริมาณ 0.01-0.5 ppb ลงในตัวอย่าง จากเทคนิค TLC พบว่ามี % recovery อยู่ในช่วง 73.86 - 85.83% ค่าความเข้มข้นต่ำสุดที่สามารถตรวจวัดได้อยู่ที่ 0.01 ppb และค่าความเข้มข้นต่ำสุดของการทดสอบเชิงปริมาณ (LOQ) อยู่ที่ 0.02 ppb ในเทคนิค HPLC พบว่ามี % recovery อยู่ในช่วง 84.5 - 86.1% และค่าความเข้มข้นต่ำสุดที่สามารถตรวจวัดได้ (LOD) อยู่ที่ 0.01 ppb

ในปี 2006 Cavaliere และคณะ ได้ทดลองหาปริมาณ AFM₁ ในชีส Grana Padano และ Mozzarella โดยใช้เทคนิค LC-MS และเปรียบเทียบวิธีการสกัดตัวอย่างคือ Matrix solid phase dispersion (MSPD) จะสกัดด้วยไดคลอโรมีเทน และ Hot water extraction (HWE) จะสกัดด้วยน้ำ และ เมทานอล ในอัตราส่วน 90:10(v/v) ที่อุณหภูมิ 150 °C หลังจากสกัดแล้วจะทำตัวอย่างให้บริสุทธิ์ด้วยวิธี Solid-phase extraction(SPE) โดยใช้ CarboGraph-4 จากนั้นนำไปตรวจวิเคราะห์ด้วยเทคนิค LC-MS พบว่า จากวิธีการสกัดแบบ MSPD สามารถหาค่าความเข้มข้นต่ำสุดที่สามารถตรวจวัดได้ใน Grana Padano และ Mozzarella อยู่ที่ 0.025 และ 0.019 ppb ตามลำดับ และวิธีการสกัดแบบ HWE สามารถหาค่าความเข้มข้นต่ำสุดที่สามารถตรวจวัดได้อยู่ที่ 0.143 และ 0.048 ppb

ในปี 2009 Manetta และคณะ ได้มีการตรวจหา AFM₁ ในชีส Grana Padano ที่ผลิตจากนมที่มีการปนเปื้อนของ AFM₁ เตรียมตัวอย่างก่อนการตรวจวิเคราะห์ด้วย SPE-C₁₈ จากนั้นนำไปตรวจวิเคราะห์ด้วยเทคนิค HPLC คอลัมน์ Supercosil LC-18 ที่อุณหภูมิ 40°C โดยใช้ acetic acid, acetonitrile, 2-propanol และ น้ำ ในอัตราส่วน 2:10:10:78(v/v) เป็นเฟสเคลื่อนที่ ด้วยอัตราเร็ว 1.2 มิลลิลิตรต่อนาที และมีเครื่องตรวจวัดแบบฟลูออเรสเซนส์ วัดความยาวคลื่นที่ 353 และ 423 นาโนเมตร พบว่าจากการตรวจตัวอย่าง 25 ตัวอย่าง ในตัวอย่างน้ำนมตรวจพบ AFM₁ ปนเปื้อนอยู่ในช่วง 0.03-0.098 ppb ในตัวอย่างหางนม (whey) อยู่ในช่วง 0.017-0.061 ppb ในตัวอย่างตะกอนลิมของนม (curd) อยู่ในช่วง 0.093-0.309 ppb และในตัวอย่างชีส Grana Padano อยู่ในช่วง 0.111-0.413 ppb ค่าความเข้มข้นต่ำสุดที่สามารถตรวจวัดได้อยู่ที่ 0.008 ppb

Kim และคณะ (2000) ได้เปรียบเทียบการตรวจ AFM_1 ในนมด้วยวิธี HPLC และ ELISA จากการทดลองใส่ AFM_1 ในปริมาณ 0.005-0.5 ppb ลงในตัวอย่าง จากเทคนิค HPLC พบว่า % recovery อยู่ในช่วง 103 - 120% ค่าความเข้มข้นต่ำสุดที่สามารถตรวจวัดได้อยู่ที่ 0.01 ppb และเทคนิค ELISA พบว่า % recovery อยู่ในช่วง 88-106% ค่าความเข้มข้นต่ำสุดที่สามารถตรวจวัดได้อยู่ที่ 0.002 ppb

Woychik และคณะ (1984) ผลิตโมโนโคลนอลแอนติบอดีที่จำเพาะต่อ AFM_1 โดยฉีดกระตุ้นภูมิคุ้มกันของหนูสายพันธุ์ BALB/C ด้วย AFM_1 -BSA และนำม้ามไปหลอมรวมกับเซลล์มัยอีโลมา P3-NS1-Ag4-1 จนได้โมโนโคลนออกมา 2 โคลน ได้แก่ AMW-1 และ AMW-4 มีค่าความเข้มข้นของสารที่ทำให้ค่าการดูดกลืนแสงลดลง 50% (IC_{50}) อยู่ที่ 25 และ 50 ppb ตามลำดับ และเกิดปฏิกิริยาข้ามกับ AFB_1 และ AFG_1 แต่ไม่เกิดปฏิกิริยาข้ามกับ AFB_2 และ AFG_2

ในปี 2009 Pei และคณะ ได้ผลิตโมโนโคลนอลแอนติบอดีที่จำเพาะต่อ AFM_1 และใช้ในการตรวจหา AFM_1 ในนม แอนติบอดีที่ผลิตได้มีไอโซไทป์เป็น IgG_{2a} เกิดปฏิกิริยาข้ามกับ AFM_1 , AFB_1 และ AFG_1 คิดเป็น 100, 13.9 และ 6.7% ตามลำดับ ค่าความเข้มข้นต่ำสุดที่สามารถตรวจวัดได้อยู่ที่ 0.04 ppb จากการทดลองใส่ AFM_1 ในปริมาณ 0.1 - 3.2 ppb พบว่า % recovery อยู่ในช่วง 98%

ในปี 2004 Badea และคณะ ใช้เทคนิคทางภูมิคุ้มกันวิทยามาใช้ในการตรวจ AFM_1 ในนม โดยใช้เทคนิค flow-injection immunoassay (FI-IA) และมี amperometric เป็นตัวตรวจวัด สัญญาณ นำตัวอย่างนมมาบ่มรวมกับแอนติบอดีและแอนติเจนที่ติดฉลากด้วยเอนไซม์ HRP ทั้งไว้ให้เกิดการแข่งขันระหว่างแอนติเจนที่อยู่ในนมกับแอนติเจนที่ติดฉลากด้วย HRP จากนั้นนำมาฉีดเข้าสู่ระบบที่มีคอลัมน์ Protein G แอนติบอดีจะจับกับ Protein G อยู่ในคอลัมน์ ส่วนแอนติเจนทั้งตัวที่ไม่ได้ติดฉลากและตัวที่ติดฉลากที่ไม่ได้จับกับแอนติบอดีจะออกจากคอลัมน์ เข้ามาในส่วนของการทำงานปฏิกิริยากับ TMB ซึ่งเป็นสารตั้งต้นของเอนไซม์ และวัดกระแสไฟที่เกิดขึ้นจากปฏิกิริยา ถ้าวัดกระแสไฟที่เกิดจากปฏิกิริยาได้สูงแสดงว่าในตัวอย่างมีความเข้มข้นของ AFM_1 สูง ซึ่งจากวิธีนี้สามารถวัดค่าความเข้มข้นต่ำสุดที่สามารถตรวจวัดได้อยู่ที่ 0.011 ppb

ในปี 2008 Radoi และคณะ ได้ทำการพัฒนาวิธีตรวจหาการปนเปื้อนของ AFM_1 ด้วยวิธี ELISA โดยใช้ superparamagnetic nanoparticles เพื่อลดเวลาและขั้นตอนในการทำ ELISA ทำให้ทราบผลได้เร็วขึ้น นำ superparamagnetic nanoparticles มาเชื่อมต่อกับโปรตีนจีและนำแอนติบอดีที่จำเพาะต่อ AFM_1 ยึดเกาะกับโปรตีนจี เพื่อลดขั้นตอนในการ blocking จากนั้นนำไป

เคลือบในงาน 96 หลุม ใส่ตัวอย่างและ **AFM₁-HRP** เพื่อใช้แข่งขันในการจับกับแอนติบอดีกันหลุม ใส่สับสเตรตและหยุดปฏิกิริยา จากนั้นนำไปวัดค่าการดูดกลืนแสงที่ 650 และ 450 นาโนเมตรซึ่ง จากวิธีนี้สามารถวัดค่าความเข้มข้นต่ำสุดที่สามารถตรวจวัดได้อยู่ที่ **0.004 ppb**

ในปี 2009 Goryacheva และคณะ ได้พัฒนาวิธีการตรวจตัวอย่างที่มีการปนเปื้อนของ **AFM₁** แบบคัดกรอง โดยทำการเชื่อมโมโนโคลนอลแอนติบอดีที่จำเพาะต่อ **AFB₁** ที่มีปฏิกิริยาข้ามกับ **AFM₁** 79% เข้ากับเจล **Sepharose 4B** โหลดเจลลงคอลัมน์ ใส่ตัวอย่างและใส่ **AFB₁-HRP** เพื่อไปจับกับแอนติบอดีที่ยังว่างอยู่ในคอลัมน์ ใส่สารตั้งต้นของเอนไซม์ ในกรณีที่ใส่ตัวอย่างไม่มี **AFM₁** จะเกิดสีฟ้าในคอลัมน์ แต่ถ้ามี **AFM₁**ปนเปื้อนในตัวอย่างจะไม่เกิดสีในคอลัมน์ ซึ่งจากวิธีนี้ สามารถวัดค่าความเข้มข้นต่ำสุดที่สามารถตรวจวัดได้อยู่ที่ **0.04 ppb**

บทที่ 3

วิธีดำเนินการวิจัย

3.1 สัตว์ทดลองและเซลล์ที่ใช้ในงานวิจัย

ตาราง 3.1 สัตว์ทดลองและเซลล์ที่ใช้ในงานวิจัย

| สัตว์ทดลองและเซลล์ | แหล่งที่มา |
|--|---|
| หนูสายพันธุ์ BALB/c (inbred strain) เพศเมีย อายุ 8 สัปดาห์ | ศูนย์สัตว์ทดลองแห่งชาติ มหาวิทยาลัยมหิดล |
| เซลล์ มัยอิโดมา SP2/0-Ag14 | ATCC: CRL 8287 |
| เซลล์ มัยอิโดมา P3X 63AG8 | ATCC: TIB-9 |

3.2 เครื่องมือ วัสดุ และอุปกรณ์ที่ใช้ในการวิจัย

ตาราง 3.2 เครื่องมือ และอุปกรณ์ที่ใช้ในงานวิจัย

| วัสดุและอุปกรณ์ | แหล่งที่มา |
|--|---|
| กระบอกฉีดยาขนาด 1 และ 5 มิลลิลิตร | Nipro, Thailand |
| เข็มฉีดยาขนาด 18G และ 21G | Nipro, Thailand |
| กล้องจุลทรรศน์ชนิดหัวกลับ | Nikon, Japan |
| ขวดแก้ว | Boro, Germany |
| ขวดเลี้ยงเซลล์ขนาด 10 และ 250 มิลลิลิตร | Nunc, Denmark |
| เครื่องปั่นเหวี่ยง | Hettich Zentrifugen, Germany |
| เครื่องวัดความเป็นกรดเป็นด่าง | Metter Toledo, USA |
| เครื่อง Microtiterplate reader | Titertek multiskan, Finland |
| จานทดสอบ ELISA ชนิด 96 หลุม | Nunc, Denmark |
| จานเลี้ยงเซลล์ | Spl, Korea |
| จานเลี้ยงเซลล์ ชนิด 96 หลุม, 48 หลุม และ 24 หลุม | Costar, USA |
| ชุดอิเล็กโทรฟอเรซิส | Bio-rad, USA |
| ตู้ดูดควัน | Theera Trading co., Thailand |
| ตู้ป่นที่มีคาร์บอนไดออกไซด์ | Thermo Electron Corporation, USA |

| วัสดุและอุปกรณ์ | แหล่งที่มา |
|---|---|
| ตู้ปลอดเชื้อ | International Scientific Supply Co., Ltd., Thailand |
| ทิป | Axygen, USA |
| ปั๊มลม | Iwaki, Japan |
| ปิเปตแก้ว | HBG, Germany |
| ปิเปตอัตโนมัติ | Gilson, France |
| หม้อน้ำฆ่าเชื้อ | Udono-RII Memmert, Japan |
| หลอดทดลองขนาด 1.5 มิลลิลิตร | Axygen, USA |
| หลอดปั่นเหวี่ยงขนาด 15 และ 50 มิลลิลิตร | CLP, USA |
| หลอดสำหรับแช่แข็งเซลล์ | Nunc, Denmark |
| อ่างควบคุมอุณหภูมิ | Memmert, Germany |

3.3 สารเคมีที่ใช้ในงานวิจัย

ตารางที่ 3.3 สารเคมีที่ใช้ในงานวิจัย

| สารเคมี | แหล่งที่มา |
|--|---|
| Acrylamide gel | Sigma-Aldrich, USA |
| Aflatoxin B ₁ (AFB ₁) | Fermentek, Israel |
| Aflatoxin G ₁ (AFG ₁) | Fermentek, Israel |
| Aflatoxin M ₁ (AFM ₁) | Fermentek, Israel |
| Aflatoxin M ₁ -BSA (AFM ₁ -BSA) | Sigma-Aldrich, USA |
| Aminopterin | Sigma-Aldrich, USA |
| Ammoniumpersulfate (NH ₄) ₂ S ₂ O ₈ : APS | Sigma-Aldrich, USA |
| Anti-mouse IgG (Fab specific)-Peroxidase | Sigma-Aldrich, USA |
| Anti-mouse IgG (whole molecule)-Peroxidase | Jackson Immuno research laboratories, USA |
| BCA TM protein assay kit | Pierce, USA |

| สารเคมี | แหล่งที่มา |
|---|--|
| Beta mercaptoethanol | Sigma-Aldrich, USA |
| Bovine serum albumin (BSA) | Sigma-Aldrich, USA |
| Bromophenol blue | Sigma-Aldrich, USA |
| Chloramphenicol | Sigma-Aldrich, USA |
| Cinoxacin | Sigma-Aldrich, USA |
| Ciprofloxacin | Sigma-Aldrich, USA |
| Citric acid | Merck, Germany |
| Coomassie brilliant blue R-250 | Pierce, USA |
| D-glucose | Sigma-Aldrich, USA |
| Deoxynivalenol (DON) | Fermentek, Israel |
| Diethyl ether | Merck, Germany |
| Dimethyl sulfoxide (DMSO) | Merck, Germany |
| di-Sodium hydrogenphosphate (Na_2HPO_4) | Fluka, China |
| Fetal calf serum (FCS) | Invitromax, USA |
| Enoxacin | Sigma-Aldrich, USA |
| Enrofloxacin | Sigma-Aldrich, USA |
| Freund's complete adjuvant (FCA) | Sigma-Aldrich, USA |
| Freund's incomplete adjuvant (FIA) | Sigma-Aldrich, USA |
| Gentamycin | T.P.drug laboratories (1969) Co.,Ltd., Thailand |
| Glycerol | Sigma-Aldrich, USA |
| Glycine | Sigma-Aldrich, USA |
| Hydrochloric acid (HCl) | Sigma-Aldrich, USA |
| Hydrogen peroxide (H_2O_2) | Fluka, Switzerland |
| Hypoxanthine | Sigma-Aldrich, USA |
| Isotyping kit | Sigma-Aldrich, USA |
| L-glutamine | Sigma-Aldrich, USA |
| Nitrofurantoin | Sigma-Aldrich, USA |

| สารเคมี | แหล่งที่มา |
|---|----------------------|
| Norfloxacin | Sigma-Aldrich, USA |
| Oxytetracycline | Sigma-Aldrich, USA |
| Polyethylene glycol HYBRI-MAX® (PEG) | Sigma-Aldrich, USA |
| Pyruvic acid | Sigma-Aldrich, USA |
| RPMI 1640 medium | Biochrom AG, Germany |
| Skim milk | Anline, Thailand |
| Sodium bicarbonate (NaHCO ₃) | Sigma-Aldrich, USA |
| Sodium chloride (NaCl) | Merck, Germany |
| Sodium dihydrogen phosphate (NaH ₂ PO ₄) | Merck, Germany |
| Sodium dodecyl sulfate (SDS) | Sigma-Aldrich, USA |
| Sodium pyruvate | Sigma-Aldrich, USA |
| Sulfuric acid (H ₂ SO ₄) | Merck, Germany |
| 3,3',5,5'-Tetramethylbenzidine (TMB) | Sigma-Aldrich, USA |
| N,N,N,N-Tetramethyl-Ethylenediamine (TEMED) | Pierce, USA |
| Tetracycline | Sigma-Aldrich, USA |
| Thimerosal | Sigma-Aldrich, USA |
| Thymidine | Sigma-Aldrich, USA |
| Tris (hydroxymethyl) Aminomethane (Trizma base) | Sigma-Aldrich, USA |
| Tween 20 | Riedel-de Haën, UK |

3.4 วิธีการดำเนินงานวิจัย

3.4.1 ฉีดกระตุ้นระบบภูมิคุ้มกันของหนูไม่ซีให้สร้างแอนติบอดีต่อ AFM₁

กระตุ้นระบบภูมิคุ้มกันของหนูไม่ซีด้วย AFM₁ ที่เชื่อมกับโปรตีนพาหะ (AFM₁-BSA; Sigma -Aldrich) โดยในการฉีดกระตุ้นครั้งแรกจะผสม Freund's complete adjuvant (FCA) กับแอนติเจนในอัตราส่วน 1:1 (ปริมาณแอนติเจนที่ฉีด 2.5 ไมโครกรัมต่อมิลลิลิตร ปริมาตร 100 ไมโครลิตร) ทำการฉีดกระตุ้นหนูไม่ซีสายพันธุ์ BALB/c เพศเมีย อายุ 8 สัปดาห์ โดยการฉีดเข้าภายในช่องท้องหนู และฉีดกระตุ้นซ้ำทุกๆ 2 สัปดาห์โดยผสมแอนติเจนกับ Freund's incomplete adjuvant (FIA) ในอัตราส่วน 1:1 เช่นกัน หลังจากฉีดกระตุ้น 3-4 ครั้ง ทำการเก็บตัวอย่างเลือดหลังฉีด 7 วัน เพื่อนำไปทดสอบหาระดับแอนติบอดี (titer screening) ด้วยวิธี indirect ELISA ตามวิธีข้อ 3.4.2.4.1 และทดสอบว่าแอนติบอดีที่ได้สามารถจับกับ AFM₁ อีสาระได้หรือไม่ ด้วยวิธี indirect competitive ELISA ในข้อ 3.4.2.4.2 โดยใช้ AFM₁-BSA มาเคลือบบนจานชนิด 96 หลุมสำหรับ ELISA เมื่อตรวจพบระดับแอนติบอดีที่สูงและสามารถจับกับ AFM₁ อีสาระได้ จึงทำการฉีดกระตุ้นหนูไม่ซีเป็นครั้งสุดท้ายด้วย AFM₁-BSA ปริมาณ 2.5 ไมโครกรัม โดยที่ไม่ผสม Freund's adjuvant หลังจากนั้น 4 วันนำม้ามของหนูทดลองมาทำการหลอมรวมกับเซลล์มัยอีโลมา ในขั้นตอนที่ 3.4.2.2

อนึ่งการใช้สัตว์ทดลองนี้ได้ผ่านการพิจารณาของคณะกรรมการ การควบคุมดูแลการเลี้ยงและการใช้สัตว์ทดลองเพื่องานทางวิทยาศาสตร์ สถาบันวิจัยเทคโนโลยีชีวภาพและวิศวกรรมพันธุศาสตร์แล้ว (Protocol No. 1061001)

3.4.2 การเตรียมเซลล์ไฮบริโดมาที่มีความสามารถในการสร้างแอนติบอดีและคัดเลือกโมโนโคลนที่สร้างโมโนโคลนอลแอนติบอดีที่จำเพาะต่อ AFM₁

3.4.2.1 การเตรียมเซลล์มัยอีโลมา

นำเซลล์มัยอีโลมา P3X เลี้ยงในอาหารเลี้ยงเซลล์ RPMI 1640 ที่มีซีรัมจากลูกวัว (fetal calf serum; FCS) ความเข้มข้น 20% (v/v) โดยทำการเลี้ยงเซลล์มัยอีโลมาให้อยู่ในระยะเอกซ์โพเนนเชียลประมาณ 4-5 วันก่อนทำการหลอมรวมเซลล์ ในวันหลอมรวมเซลล์ควรมีเซลล์ที่มีชีวิตในจำนวนที่มากกว่า 10⁷ เซลล์ และนำเซลล์มัยอีโลมาบับนล้างด้วยอาหาร RPMI 1640 ที่มี gentamycin 0.2 มิลลิกรัมต่อมิลลิลิตร ด้วยความเร็ว 380 g เป็นเวลา 5 นาที นำส่วนใส่ออกแล้วเติมอาหารเลี้ยงเซลล์ปริมาตร 5 มิลลิลิตรเพื่อนำไปหลอมรวมกับเซลล์ม้ามที่เตรียมไว้

3.4.2.2 การเตรียมเซลล์ม้าม

ทำการสลับหนูด้วยก๊าซคาร์บอนไดออกไซด์ เจาะเลือดจากหัวใจ เพื่อเก็บซีรัม จากนั้นทำการเปิดช่องท้องโดยวิธีปลอดเชื้อเพื่อนำม้ามออกมา ใช้กรรไกรตัดม้ามให้เป็นชิ้นเล็กๆ บนตะแกรงลวดตาถี่ แล้วใช้ค้อนของหลอดฉีดยาขนาด 10 มิลลิเมตร บดม้ามเบาๆ ให้ละเอียด แล้วนำเซลล์ม้ามที่ได้ไปปั่นล้างใน RPMI 1640 ปริมาตร 40 มิลลิตรที่มี gentamycin 0.2 มิลลิกรัมต่อมิลลิตร ด้วยความเร็ว 380 g เป็นเวลา 5 นาที นำส่วนใสออกแล้วเติมอาหารเลี้ยงเซลล์ ปริมาตร 5 มิลลิตรเพื่อนำไปหลอมรวมกับเซลล์ม้ามที่เตรียมไว้

3.4.2.3 การหลอมรวมเซลล์ (Fusion)

นำเซลล์ของม้ามหนูที่ได้จากข้อ 3.4.2.2 มาหลอมรวมกับเซลล์มัยอีโลมา P3X ที่ได้จากข้อ 3.4.2.1 ในอัตราส่วนเซลล์ม้ามต่อเซลล์มัยอีโลมาเป็น 1:3 ผสมให้เข้ากันเบาๆ ก่อนนำไปปั่นเหวี่ยงด้วยความเร็ว 380 g เป็นเวลา 5 นาที เทส่วนใสทิ้ง แล้วเขย่าเบาๆ ให้เซลล์ทั้งสองรวมเป็นเนื้อเดียวกัน แล้วค่อยๆ หยด 50% PEG ที่มีมวลโมเลกุล 3000-3700 ดาลตัน ที่เป็นสารช่วยหลอมเซลล์ลงไป โดยใส่รวมกันในหลอดสำหรับปั่นเหวี่ยงขนาด 50 มิลลิตร โดยควบคุมการหยดของ PEG ปริมาตร 1 มิลลิตร ให้หมดภายใน 1 นาที พร้อมกับการหมุนหลอดช้าๆ จากนั้นเติมอาหารเลี้ยงเซลล์ RPMI 1640 ที่มี gentamycin 0.2 มิลลิกรัมต่อมิลลิตร ปริมาตร 30 มิลลิตรดูดขึ้นลงเบาๆ ก่อนนำไปปั่นเหวี่ยงด้วยความเร็ว 380 g เป็นเวลา 5 นาที เทส่วนใสออก ทำเช่นนี้ 2 ครั้ง เพื่อเป็นการล้าง PEG ออกจากเซลล์ เติมอาหารเลี้ยงเซลล์ HAT ซึ่งเป็นอาหารที่เติมสาร hypoxanthine, aminopterin และ thymidine ที่มี FCS ความเข้มข้น 20% (v/v) จากนั้นปิเปตลงในจานเลี้ยงเซลล์ชนิด 96 หลุม หลุมละ 200 ไมโครลิตร นำไปเลี้ยงในตู้บ่มที่มีคาร์บอนไดออกไซด์ความเข้มข้น 5% ที่อุณหภูมิ 37 องศาเซลเซียส เลี้ยงเซลล์ไว้ 10-14 วัน ดูการเจริญของเซลล์ไฮบริโดมา เมื่อเซลล์เจริญได้ประมาณ 25% ของพื้นที่ก้นหลุม ให้ดูอาหารเลี้ยงเซลล์ไฮบริโดมาในแต่ละหลุมไปทดสอบว่ามีการสร้างแอนติบอดีต่อ AFM₁ หรือไม่ ตามวิธีในข้อ

3.4.2.4

3.4.2.4 คัดเลือกเซลล์ไฮบริโดมาที่มีความสามารถในการสร้างแอนติบอดีต่อ AFM₁

3.4.2.4.1 คัดเลือกขั้นที่ 1 โดยวิธี indirect ELISA

ทำการเคลือบพื้นหลุมของจานชนิด 96 หลุมด้วย AFM₁-BSA ความเข้มข้น 1 ไมโครกรัมต่อมิลลิลิตร หลุมละ 50 ไมโครลิตร แล้วบ่มด้วยอุณหภูมิตั้งที่ 4 องศาเซลเซียส เป็นเวลา 12-24 ชั่วโมง นำมาล้างด้วย 0.01M phosphate buffer saline (PBS) pH 7.4 ที่มี tween20 (PBS-T) เข้มข้น 0.05% (v/v) จำนวน 3 ครั้ง เติมน้ำละลายนมพร่องมันเนย (skim milk) เข้มข้น 5% (w/v) ใน PBS หลุมละ 300 ไมโครลิตร แล้วนำไปบ่มที่ 37 องศาเซลเซียส เป็นเวลา 1 ชั่วโมง ล้างด้วย PBS-T จำนวน 3 ครั้ง เติมน้ำตัวอย่าง (เลือดหนูหรืออาหารเลี้ยงเซลล์) หลุมละ 100 ไมโครลิตร นำไปบ่มที่ 37 องศาเซลเซียส เป็นเวลา 2 ชั่วโมง ล้างด้วย PBS-T จำนวน 3 ครั้ง เติมน้ำแอนติบอดีทุติยภูมิ goat anti-mouse IgG ที่มี horse redish peroxidase (GAM-HRP) เข้มข้นอยู่ หลุมละ 100 ไมโครลิตร บ่มที่ 37 องศาเซลเซียสเป็นเวลา 1 ชั่วโมง ล้างด้วย PBS-T จำนวน 3 ครั้ง เติมน้ำสารละลายสับสเตรตที่ประกอบด้วย 3,3',5,5'-tetramethylbenzidine (TMB) และ H₂O₂ ละลายใน 0.2 M citrate buffer pH 4.0 หลุมละ 100 ไมโครลิตร บ่มในที่มืดอุณหภูมิห้องเป็นเวลา 10 นาที เติมน้ำ 1M H₂SO₄ หลุมละ 100 ไมโครลิตร เพื่อหยุดปฏิกิริยา นำไปวัดค่าการดูดกลืนแสงที่ความยาวคลื่น 450 นาโนเมตร

3.4.2.4.2 คัดเลือกขั้นที่ 2 โดยวิธี indirect competitive ELISA

เพื่อทดสอบหาแอนติบอดีที่สามารถจับกับ AFM₁ ที่อยู่ในรูปอิสระ โดยเปิดสารละลาย AFM₁ เข้มข้น 2 ไมโครกรัมต่อมิลลิลิตร ปริมาตร 50 ไมโครลิตรลงในจานชนิด 96 หลุมที่เคลือบด้วย AFM₁-BSA เข้มข้น 1 ไมโครกรัมต่อมิลลิลิตร ปริมาตร 50 ไมโครลิตร ที่ผ่านการเติมน้ำละลายนมพร่องมันเนยและล้างด้วย PBS-T แล้ว จากนั้นเปิดอาหารเลี้ยงเซลล์หรือซีรัมหนูจากหลุมที่ให้ผลบวกในการคัดเลือกในขั้นตอนแรก (ข้อ 3.4.2.4.1) ปริมาตร 50 ไมโครลิตร ลงไปผสมกับสารละลาย AFM₁ นำไปบ่มที่อุณหภูมิ 37 องศาเซลเซียส เป็นเวลา 2 ชั่วโมง จากนั้นทำตามขั้นตอนเดียวกับวิธี indirect ELISA ถ้าหลุมที่เติม AFM₁ ในรูปอิสระให้การดูดกลืนแสงที่ต่ำกว่า หลุมที่ไม่มีการเติม AFM₁ นั่นจะแสดงให้เห็นว่า อาหารเลี้ยงเซลล์ที่มาจากหลุมดังกล่าวมีแอนติบอดีที่ได้สามารถจับกับสาร AFM₁ ในรูปอิสระได้ นำเซลล์ไฮบริโดมาในหลุมนั้นมาแยกให้ได้โคลนเดี่ยว โดยวิธี limiting dilution

3.4.2.5 การแยกเซลล์ไฮบริโดมาให้ได้เซลล์เดี่ยวโดยวิธี limiting dilution

เพื่อยืนยันว่าเซลล์ไฮบริโดมามาจากต้นกำเนิดเซลล์เพียงเซลล์เดี่ยว นำเซลล์ไฮบริโดมาที่สามารถผลิตแอนติบอดีต่อ AFM₁ ในรูปอิสระจากการคัดเลือกครั้งที่ 2 มาทำให้เป็นโคลนเดี่ยวโดยการเจือจางเซลล์ให้ได้ 1 เซลล์ต่อหลุม ถ้ายังไม่ได้โคลนเดี่ยว จะทำซ้ำ 2-3 รอบเพื่อให้แน่ใจว่าได้เป็นโมโนโคลน เมื่อเซลล์เจริญเติบโตเป็นโคลนเดี่ยวในหลุมประมาณ 25% ของพื้นที่ก้นหลุม นำอาหารเลี้ยงเซลล์ มาตรวจหาว่าเซลล์ยังคงมีแอนติบอดีต่อ AFM₁ และสามารถจับ AFM₁ ในรูปอิสระได้หรือไม่ ถ้าเซลล์ยังคงมีการสร้างแอนติบอดีต่อ AFM₁ และสามารถจับกับ AFM₁ ในรูปอิสระได้ จึงทำการขยายเซลล์เพิ่มจำนวน แล้วนำไปแช่แข็งในไนโตรเจนเหลวและเก็บอาหารเลี้ยงเซลล์ไว้ใช้ทดสอบต่อไป

3.4.2.6 การเก็บเซลล์ไฮบริโดมาในไนโตรเจนเหลว

โดยนำเซลล์ไฮบริโดมาที่ต้องการเก็บมาเลี้ยงต่อในอาหาร RPMI 1640 ที่มี FCS ความเข้มข้น 10% (v/v) ให้อยู่ในช่วงที่มีการเจริญเติบโตสูงที่สุด (log phase) มาปั่นเหวี่ยงให้เซลล์ตกตะกอนด้วยความเร็ว 380 g เป็นเวลา 5 นาที จากนั้นดูดอาหารเลี้ยงเซลล์ที่อยู่ด้านบนทิ้ง และเติมน้ำยาเก็บเซลล์แช่แข็งที่มีไดเมทิลซัลฟอกไซด์ (dimethyl sulfoxide, DMSO) ความเข้มข้น 10% (v/v) ขณะเย็นลงไปปริมาตร 1 มิลลิลิตร ใช้พลาสติกเจอร์บิเปตดูชั้นลงเบา ๆ จนเซลล์เข้ากันดีกับน้ำยาเก็บเซลล์แช่แข็ง ก่อนถ่ายเซลล์ลงในหลอดเก็บเซลล์ขนาด 2 มิลลิลิตรและนำไปแช่ที่อุณหภูมิ -70 องศาเซลเซียสข้ามคืน หลังจากนั้นจึงย้ายลงไปเก็บในถังไนโตรเจนเหลวที่มีอุณหภูมิประมาณ -196 องศาเซลเซียส

3.4.2.7 การนำเซลล์ไฮบริโดมาที่เก็บในไนโตรเจนเหลวกลับมาเลี้ยง

นำหลอดที่เก็บเซลล์ไฮบริโดมาออกมาจากการเก็บในไนโตรเจนเหลวมาแช่ที่อุณหภูมิ 37 องศาเซลเซียส ทันทีเมื่อน้ำยาเก็บเซลล์แช่แข็งในหลอดละลายหมดแล้ว ให้อถ่ายเซลล์ลงหลอดที่มีอาหารเลี้ยงเซลล์ RPMI 1640 ปริมาตร 10 มิลลิลิตร นำไปปั่นที่ความเร็ว 380 g เป็นเวลา 5 นาที ก่อนนำเซลล์ไปเลี้ยงต่อในอาหารเลี้ยงเซลล์ RPMI 1640 ที่มี FCS ความเข้มข้น 20% (v/v)

3.4.3 การศึกษาลักษณะสมบัติเบื้องต้นของโมโนโคลนอลแอนติบอดีที่ได้

3.4.3.1 การตรวจสอบไอโซไทป์ของโมโนโคลนอลแอนติบอดีโดยใช้ชุดตรวจสอบสำเร็จรูป

นำโมโนโคลนอลแอนติบอดีที่ได้มาทำการตรวจสอบไอโซไทป์โดยใช้ชุดตรวจสอบสำเร็จรูป **Isotyping kit** ของบริษัท **Sigma-Aldrich** โดยทำการเตรียมแอนติบอดี ที่จำเพาะกับไอโซไทป์ชนิดต่าง ๆ คือ **IgG₁, IgG_{2a}, IgG_{2b}, IgG₃, IgA และ IgM** จาก **isotyping kit** มาเจือจางให้ได้ความเข้มข้น **1:6,000** เท่าใน **PBS** เติมน้ำในจาน **ELISA** ขนาด **96** หลุม หลุมละ **100** ไมโครลิตร บ่มที่อุณหภูมิ **37** องศาเป็นเวลา **1** ชั่วโมง หลังจากนั้นล้างด้วย **PBS-T** จำนวน **3** ครั้ง เติมน้ำแอนติบอดีที่ต้องการตรวจสอบไอโซไทป์ หลุมละ **100** ไมโครลิตร บ่มที่อุณหภูมิ **37** องศาเซลเซียสเป็นเวลา **1** ชั่วโมง หลังจากนั้นล้างด้วย **PBS-T** จำนวน **3** ครั้ง แล้วเติมน้ำแอนติบอดีทุติยภูมิที่จำเพาะต่อ **IgG** ของหนูที่มีเอนไซม์ **HRP** เชื่อมอยู่ (โดยที่แอนติบอดีทุติยภูมิมีความจำเพาะกับส่วน **Fab (HRP-Rabbit anti mouse IgG Fab specific)** ของ **IgG** ของหนู ที่เจือจาง **1:2,000** ใน **PBS** บ่มที่อุณหภูมิห้องเป็นเวลา **30** นาที หลังจากนั้นล้างออกด้วย **PBS-T** จำนวน **3** ครั้ง แล้วเติมน้ำสารละลายสับสเตรตที่ประกอบด้วย **TMB** และ **H₂O₂** ละลายใน **0.2 M citrate buffer pH 4.0** หลุมละ **100** ไมโครลิตร เป็นเวลา **10** นาที แล้วเติม **1M H₂SO₄** หลุมละ **100** ไมโครลิตร เพื่อหยุดปฏิกิริยา นำไปวัดค่าการดูดกลืนแสงที่ความยาวคลื่น **450** นาโนเมตร

3.4.3.2 การทดสอบความไว (sensitivity) ของโมโนโคลนอลแอนติบอดี

ความไวของโมโนโคลนอลแอนติบอดีจะรายงานเป็นค่าความเข้มข้นของสารที่ทำให้ค่าการดูดกลืนแสงลดลง **50% (50% of inhibition concentration; IC₅₀)** เมื่อทดสอบด้วยวิธี **indirect competitive ELISA** เทียบกับที่ไม่ใส่สารแข่งขัน และค่าความเข้มข้นของสารที่น้อยที่สุดที่สามารถตรวจวัดได้ (**limit of detection; LOD**) ซึ่งทำได้โดยการนำแอนติบอดีที่ต้องการทดสอบมาเจือจางให้ได้ความเข้มข้นที่เหมาะสม มาทำการเติมลงไปผสมกับสารที่ต้องการทดสอบที่ความเข้มข้น **0.0048-4** นาโนกรัมต่อมิลลิลิตร ซึ่งจะเกิดการแย่งจับกันของสารที่ต้องการทดสอบในรูปอิสระในสารละลาย และ สารที่เคลือบอยู่ที่ก้นหลุม หลังจากวัดค่าการดูดกลืนแสงแล้ว นำค่าการดูดกลืนแสงที่ได้ มาเขียนกราฟโดยใช้โปรแกรม **graph pad prism 4** โดยแกน **Y** เป็นค่า **%B/B₀** และ แกน **X** เป็นค่า ล็อกกาลีทึมของความเข้มข้นของสารที่ทดสอบและคำนวณค่า **LOD** โดยคำนวณจากค่าความเข้มข้นที่ **B₀-3SD** เมื่อ **B** และ **B₀** คือ ค่าการดูดกลืนแสงจาก **ELISA** ของหลุมที่มีการเติมแอนติเจนและไม่เติม แอนติเจน ตามลำดับ และ **SD** คือ ส่วนเบี่ยงเบนมาตรฐาน

3.4.3.3 การทดสอบความจำเพาะ (specificity) ของโมโนโคลนอลแอนติบอดีต่อ AFM₁

ความจำเพาะของแอนติบอดีจะรายงานในรูปของเปอร์เซ็นต์การทำปฏิกิริยาข้ามของโมโนโคลนอลแอนติบอดี เพื่อทดสอบว่าโมโนโคลนอลแอนติบอดีที่ได้สามารถจับกับสารอื่นในกลุ่ม AFs และสารนอกกลุ่มหรือไม่ โดยจะทดสอบการเกิดปฏิกิริยาข้ามของโมโนโคลนอลแอนติบอดีที่ได้กับสารอื่นๆ ทั้งในกลุ่ม และนอกกลุ่ม AFs โดยการทดสอบด้วยวิธี **indirect competitive ELISA** ซึ่งได้จากการนำโมโนโคลนอลแอนติบอดีมาเจือจางให้ได้ความเข้มข้นที่เหมาะสม และเติมลงไปผสมกับสาร AFM₁ และ ตัวแข่งขันที่ต้องการทดสอบซึ่งเป็นสารในกลุ่ม AFs จำนวน 2 ชนิด คือ AFB₁ และ AFG₁ ที่ความเข้มข้น 0.0048-4 นาโนกรัมต่อมิลลิลิตร รวมถึงสารนอกกลุ่ม AFs คือ deoxynivalenol ซึ่งเป็นสารพิษที่สร้างจาก *Fusarium sp* และสารกลุ่มยาปฏิชีวนะ ได้แก่ chloramphenicol, cinoxacin, ciprofloxacin, enoxacin, enrofloxacin, nitrofurantoin, norfloxacin, oxytetracycline และ tetracycline ซึ่งจะเกิดการแย่งจับกันของสารที่ต้องการทดสอบในรูปอิสระในสารละลาย กับสารที่เคลือบอยู่ที่ก้นหลุม หลังจากวัดค่าการดูดกลืนแสงแล้ว นำค่าการดูดกลืนแสงที่ได้ มาเขียนกราฟโดยใช้โปรแกรม **graph pad prism 4** โดยแกน Y เป็นค่า %B/B₀ และ แกน X เป็นค่าล็อกกาลีทีมของความเข้มข้นของสารที่ทดสอบ โดยค่าความเข้มข้นของสารที่ทำให้เกิดการยับยั้งที่ 50 % (50% of inhibition concentration; IC₅₀) หาได้จากการนำค่าที่ 50% B/B₀ มาเทียบกับกราฟได้เป็นค่าความเข้มข้น และนำค่าการดูดกลืนแสงที่ได้มาหาค่า IC₅₀ ของสารแต่ละตัวที่ใช้เป็นตัวแข่งขัน

$$\text{เปอร์เซ็นต์ปฏิกิริยาข้าม} = \frac{\text{IC}_{50} \text{ ของ AFM}_1}{\text{IC}_{50} \text{ ของ ตัวแข่งขันอื่น}} \times 100$$

3.4.4 การทำโมโนโคลนอลแอนติบอดีให้บริสุทธิ์

นำเซลล์ไฮบริโดมาที่ผลิตโมโนโคลนอลแอนติบอดีต่อ AFM₁ มาเลี้ยงในอาหารเลี้ยงเซลล์ RPMI 1640 ที่มี FCS ความเข้มข้น 10% ปริมาตร 500 มิลลิลิตร ในขวดเลี้ยงเซลล์ขนาด 1 ลิตร บ่มที่อุณหภูมิ 37 องศาเซลเซียส เก็บอาหารที่ใช้เลี้ยงเซลล์เพื่อนำมาแยกแอนติบอดีให้บริสุทธิ์ด้วยโครมาโทกราฟีแบบสัมพรรคภาพ (affinity chromatography) โดยใช้โปรตีนจี

3.4.4.1 การทำโมโนโคลนอลแอนติบอดีให้บริสุทธิ์โดยใช้โปรตีนจี

นำโปรตีนจีเซฟาโรส (protein G sapharose) 5 มิลลิลิตร ที่อยู่ในเอทานอลเข้มข้น 20%(w/v) มาล้างเอทานอลออก แล้วเติม 2.0mM sodium phosphate buffer pH 7.0

จากนั้นเตรียมคอลัมน์โปรตีนจีให้เข้าสู่ภาวะสมดุลโดยปรับอัตราการไหลให้เท่ากับ 1 มิลลิลิตรต่อนาที จากนั้นเติมอาหารเลี้ยงเชื้อที่มีแอนติบอดีที่ต้องการทำให้บริสุทธิ์ลงในคอลัมน์โปรตีนจี ปริมาตร 500 มิลลิลิตร ล้างโปรตีนที่ไม่จับกับกับโปรตีนจีในคอลัมน์ออกด้วย 2.0mM sodium phosphate buffer pH 7.0 ทำการชะแอนติบอดีที่จับกับโปรตีนจีด้วย 0.1M glycine-HCl pH 2.7 โดยเก็บสารละลายที่ออกมาจากคอลัมน์หลอดละ 1 มิลลิลิตร ในหลอดที่มี 1M tris-HCl pH 9.0 ปริมาตร 65 ไมโครลิตร เพื่อปรับค่าความเป็นกรดเป็นเบสของสารละลายให้เป็นกลาง หลังจากนั้นนำสารละลายแต่ละหลอดไปวัดค่าการดูดกลืนแสงที่ 280 นาโนเมตร และทำการทดสอบด้วยวิธี indirect ELISA เพื่อนำมาวัดโครมาโตแกรม แล้วนำสารละลายในหลอดทดลองที่มีแอนติบอดีมารวมกัน เพื่อนำไปไดอะไลซิสใน PBS ที่มี 0.01% thimerosal เป็นเวลา 3 วัน ที่อุณหภูมิ 4 องศาเซลเซียส โดยเปลี่ยนบัฟเฟอร์วันละ 2 ครั้ง หลังจากนั้นนำไปหาปริมาณโปรตีนและปริมาณแอนติบอดีต่อไป

3.4.4.2 การหาความเข้มข้นของโปรตีนด้วยวิธี BCA assay

เตรียมสารละลาย BSA ความเข้มข้น 0-1.2 มิลลิกรัมต่อมิลลิลิตร เพื่อใช้เป็นสารละลายมาตรฐาน และเจือจางแอนติบอดีที่ผ่านการทำให้บริสุทธิ์แล้ว 2 เท่า ด้วย PBS โดยเติมสารละลาย BSA และแอนติบอดีที่เตรียมไว้ลงในจานชนิด 96 หลุม หลุมละ 25 ไมโครลิตร แล้วเติมสารละลายที่ใช้ในการเกิดปฏิกิริยา โดยผสมสารละลาย A โซเดียมไฮดรอกไซด์ความเข้มข้น 0.1 โมลาร์ ที่มีโซเดียมคาร์บอเนต โซเดียมไบคาร์บอเนต กรดโบคาร์บอนิก และโซเดียมทาทาทออยู่ และสารละลาย B คิวบิกซัลเฟต เข้มข้น 4% ผสมสารละลายทั้ง 2 ชนิดเข้าด้วยกัน ในอัตราส่วน 50:1 (v/v) หลุมละ 200 ไมโครลิตร เขย่าให้เข้ากัน แล้วนำไปบ่มที่อุณหภูมิ 37 องศาเซลเซียสเป็นเวลา 30 นาที นำไปวัดค่าการดูดกลืนแสง ที่ 562 นาโนเมตร หลังจากนั้นนำข้อมูลระหว่างค่าการดูดกลืนแสง และความเข้มข้นของโปรตีนตัวอย่างมาสร้างกราฟมาตรฐาน นำค่าการดูดกลืนแสงของสารตัวอย่างมาเทียบกับกราฟมาตรฐานเพื่อคำนวณกลับไปเป็นปริมาณโปรตีน

3.4.4.3 การหาปริมาณแอนติบอดีด้วยวิธี ELISA

3.4.4.3.1 การหาปริมาณแอนติบอดีหลังทำให้บริสุทธิ์

หาปริมาณแอนติบอดีหลังจากการทำให้บริสุทธิ์แล้ว โดยการวัดค่าการดูดกลืนแสงตามวิธีของ Johnstone และ Thrope (1987) โดยนำสารละลายที่ได้จากการทำไดอะไลซิสไปวัดค่าการดูดกลืนแสงที่ 280 นาโนเมตร และคำนวณหาปริมาณแอนติบอดีหลังจากการทำให้บริสุทธิ์ จากสูตร

ความเข้มข้นของแอนติบอดี IgG (มิลลิกรัมต่อมิลลิลิตร) = $\frac{\text{ค่าการดูดกลืนแสงที่ 280 นาโนเมตร}}{\text{extinction coefficient ของ IgG}}$

หมายเหตุ : ค่า extinction coefficient ของสารละลายแอนติบอดี IgG 1 มิลลิกรัมต่อมิลลิลิตรที่ความยาวคลื่น 280 นาโนเมตร มีค่าเท่ากับ 1.35

3.4.4.3.2 การหาปริมาณแอนติบอดีในอาหารเลี้ยงเซลล์ก่อนทำให้บริสุทธิ์

หาปริมาณแอนติบอดีในอาหารเลี้ยงเซลล์ก่อนทำให้บริสุทธิ์ ทำการเจือจางอาหารเลี้ยงเซลล์ที่ความเข้มข้น 1:1,600 และ 1:3,200 และแอนติบอดีที่ทำให้บริสุทธิ์แล้วให้มีความเข้มข้น 0.122-125 นาโนกรัมต่อมิลลิลิตร นำมาทำ indirect ELISA แล้วสร้างเป็นกราฟมาตรฐานของแอนติบอดีเพื่อแสดงความสัมพันธ์ระหว่างความเข้มข้นของแอนติบอดีกับค่าการดูดกลืนแสงที่ 450 นาโนเมตร หาปริมาณแอนติบอดีในอาหารที่ได้จากการเลี้ยงเซลล์ไฮบริโดมา โดยเปรียบเทียบกับกราฟมาตรฐานที่ได้

3.4.4.4 การทดสอบความบริสุทธิ์และหามวลโมเลกุลของโมโนโคลนอลแอนติบอดี

3.4.4.4.1 การเตรียมพอลิอะคริลาไมด์เจลชนิดแผ่น

ทดสอบความบริสุทธิ์ และมวลโมเลกุลของโมโนโคลนอลแอนติบอดีด้วยวิธีพอลิอะคริลาไมด์เจลอิเล็กโทรโฟรีซิสแบบเอสดีเอส (SDS-polyacrylamide gel electrophoresis; SDS-PAGE) โดยเตรียม 15% separating gel ที่มีความกว้างไม่ต่ำกว่า 5 เซนติเมตร ยาว 8 เซนติเมตร และหนา 0.2 เซนติเมตร ปรับผิวหน้าเจลให้เรียบโดยเติมหน้ากลั่น ตั้งทิ้งไว้ 30 นาที เพื่อให้เจลแข็งตัว หลังจากนั้นเตรียม 5% stacking gel ที่ด้านบนของ separating gel และใส่หัวเพื่อเป็นแม่พิมพ์ของหลุมเจล ตั้งทิ้งไว้เพื่อให้เจลแข็งตัว 30 นาที

3.4.4.4.2 การเตรียมสารละลายตัวอย่าง

เตรียมสารละลายตัวอย่างให้มีปริมาณโปรตีน 5 ไมโครกรัมต่อ 20 ไมโครลิตรผสมกับสารละลายสีย้อมที่มี SDS, mercaptoethanol และ bromophenol blue (SDS staining dye) ในอัตราส่วน 1:1 นำไปต้มที่อุณหภูมิ 95 องศาเซลเซียส เป็นเวลา 5 นาที ตั้งทิ้งไว้ให้เย็นที่อุณหภูมิห้องก่อนนำไปป้อนในหลุมเจล

3.4.4.4.3 การทำอิเล็กโทรโฟเรซิส

ทำการแยกแอนติบอดีโดยนำเจลที่เตรียมไว้ไปประกอบเข้ากับเครื่องทำอิเล็กโทรโฟเรซิส (electrophoresis chamber) ที่มี SDS ในสารละลายบัฟเฟอร์ไกลซีนไฮโดรคลอไรด์ (running buffer) ทั้งส่วนบนและส่วนล่างของเครื่อง นำสารละลายตัวอย่างมาปิเปตในหลุมเจลไม่เกินหลุมละ 20 ไมโครลิตร ส่วนหลุมของ marker ให้ปิเปตปริมาตร 2 ไมโครลิตร ต่อหัวไฟฟ้าที่มีความต่างศักย์ 100 โวลต์ เป็นเวลา 120 นาที จนแถบสีของสีย้อมเคลื่อนไปจนถึงปลายเจลจึงหยุดให้กระแสไฟฟ้า นำเจลที่ได้ไปย้อมสีด้วย coomassie blue (staining solution) ซ้ำมค้นและล้างในสารละลายของเอทานอลและกรดอะซิติก (destaining solution) จนกว่าเจลจะใสและเห็นสีของแถบโปรตีนชัดเจน

3.4.5 การทดสอบความไวของโมโนโคลนอลแอนติบอดีหลังให้บริสุทธ์

นำโมโนโคลนอลแอนติบอดีที่ทำให้บริสุทธ์แล้วมาทดสอบความไวด้วยวิธี indirect competitive ELISA ตามขั้นตอนในข้อ 3.4.3.2

บทที่ 4

ผลการทดลองและวิจารณ์ผลการทดลอง

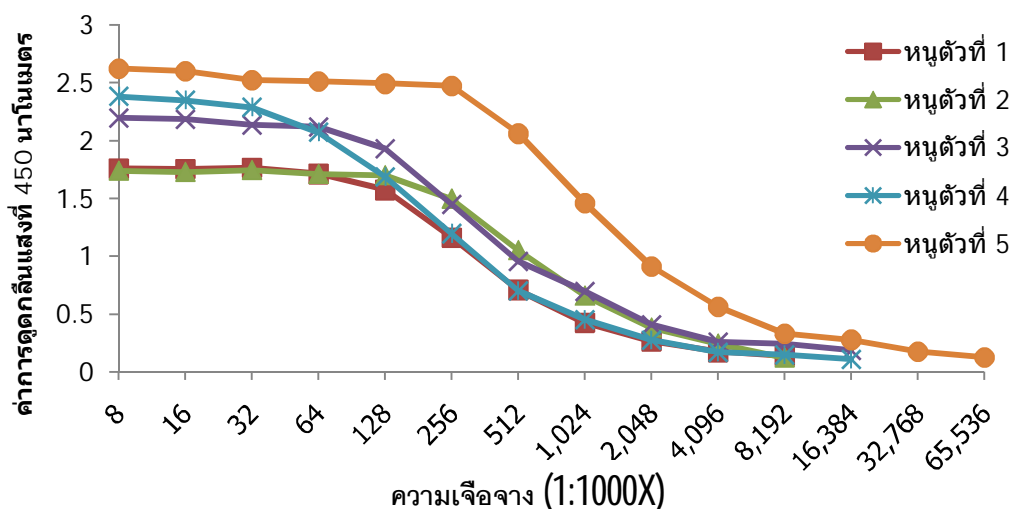
4.1 ฉีดกระตุ้นระบบภูมิคุ้มกันของหนูไม่ซีให้สร้างแอนติบอดีต่อ AFM₁

ทำการฉีดกระตุ้นหนูไม่ซีทั้งหมด 5 ตัว ด้วยแอนติเจน AFM₁-BSA (Sigma-Aldrich) ความเข้มข้น 2.5 ไมโครกรัมต่อมิลลิลิตร จำนวน 4 ครั้ง ทำการเก็บตัวอย่างเลือดของหนูไม่ซีในวันที่ 7 หลังจากการฉีดครั้งที่ 4 และแยกซีรัมมาหาระดับแอนติบอดีด้วยวิธี indirect ELISA และ indirect Competitive ELISA คัดเลือกหนูไม่ซีที่มีระดับแอนติบอดีสูงอย่างน้อย 1,000 (Liddle และ Cryer, 1991) และสามารถจับกับ AFM₁ ในรูปอิสระได้ เพื่อใช้สำหรับหลอมรวมเซลล์เพื่อผลิตโมโนโคลนอลแอนติบอดีต่อไป สำหรับหนูไม่ซีที่มีการสร้างแอนติบอดีในระดับต่ำ เนื่องจากการกระตุ้นปี-ลิมโฟไซต์ในหนูยังเกิดขึ้นไม่ถี่ จะไม่นำหนูไปใช้เพื่อผลิตโมโนโคลนอลแอนติบอดี เพราะอาจจะทำให้เซลล์ไฮบริโดมาที่ได้มีโอกาสที่จะไม่ผลิตแอนติบอดี หรือผลิตได้น้อย ควรฉีดแอนติเจนเพิ่ม จนหนูสร้างแอนติบอดีได้ในระดับสูงต่อไป

4.1.1 การหาระดับแอนติบอดี (antibody titer) ของหนูไม่ซีที่ได้รับการฉีดกระตุ้น

จากการทดสอบหาระดับแอนติบอดีโดยวิธี indirect ELISA ได้ผลดังภาพที่ 4.1 (ตารางที่ ก.1, ภาคผนวก ก) โดยเลือกระดับแอนติบอดีที่ความเจือจางของซีรัม ที่ให้ค่าการดูดกลืนแสงที่ 450 นาโนเมตร มีค่าประมาณ 0.1 (Liddle และ Cryer, 1991) พบว่าหนูทั้ง 5 ตัว มีการตอบสนองต่อแอนติเจนที่ฉีดเข้าไป โดยสามารถผลิตแอนติบอดีต่อ AFM₁-BSA ได้ในระดับสูง

หนูทั้ง 5 ตัวให้ระดับแอนติบอดีที่จำเพาะต่อ AFM₁-BSA อยู่ในช่วง 8,192,000 - 32,768,000 โดยหนูที่ให้ระดับแอนติบอดีต่ำที่สุด คือ หนูตัวที่ 1 และ 2 ให้ระดับแอนติบอดี 8,192,000 ส่วนหนูที่ให้ระดับแอนติบอดีสูงที่สุด คือ หนูตัวที่ 5 โดยให้ระดับแอนติบอดี 32,768,000 ดังตารางที่ 4.1



ภาพที่ 4.1 ระดับแอนติบอดีจากซีรัมของหนูไม่ซีที่ฉีดกระตุ้นด้วย AFM₁-BSA จำนวน 5 ตัว ด้วยวิธี indirect ELISA

ตารางที่ 4.1 สรุประดับแอนติบอดีของหนูไม่ซีที่ได้รับการกระตุ้นด้วย AFM₁-BSA จำนวน 5 ตัว ด้วยวิธี Indirect ELISA

| หนูตัวที่ | ระดับแอนติบอดี |
|-----------|----------------|
| 1 | 8,192,000 |
| 2 | 8,192,000 |
| 3 | 16,384,000 |
| 4 | 16,384,000 |
| 5 | 32,768,000 |

4.1.2 การทดสอบความจำเพาะของแอนติบอดีต่อ AFM₁ ในรูปอิสระ

จากการทดสอบความจำเพาะของแอนติบอดีต่อ AFM₁ ในรูปอิสระ ด้วยวิธี **indirect competitive ELISA** โดยเลือกระดับความเจือจางในซีรัมที่ให้ค่าการดูดกลืนแสงที่ 450 นาโนเมตร ประมาณ **1.0-1.3** มาทดสอบว่าแอนติบอดีที่อยู่ในซีรัมนั้น สามารถจับกับ AFM₁ ในรูปอิสระได้หรือไม่ พบว่าแอนติบอดีในซีรัมจากหนูไม่ซ้ทั้ง 5 ตัวสามารถจับกับ AFM₁ ในรูปอิสระที่ความเข้มข้น 2 ไมโครกรัมต่อมิลลิลิตรได้ โดยทำให้ค่าการดูดกลืนแสงที่ความยาวคลื่น 450 นาโนเมตรลดลง เมื่อเทียบกับค่าการดูดกลืนแสงในหลุมที่ไม่มีการแย่งจับของ AFM₁ อิสระ โดยมีเปอร์เซ็นต์การแย่งจับในการแย่งจับของ AFM₁ ในรูปอิสระอยู่ในช่วง **52.97-85.87 %** ดังแสดงในตารางที่ 4.2

ตารางที่ 4.2 การทดสอบความสามารถของแอนติบอดีในซีรัมในการจับกับแอนติเจนในรูปอิสระ โดยวิธี **indirect competitive ELISA**

| หนูตัวที่ | ระดับความเจือจางของซีรัม | ค่าการดูดกลืนแสงที่ 450 นาโนเมตร | | % การแย่งจับ |
|-----------|--------------------------|----------------------------------|------------------------------|--------------|
| | | ไม่มี AFM ₁ | AFM ₁ (2µg/ml) | |
| 1 | 1: 256,000 | 1.258 | 0.541 | 56.99 |
| 2 | 1: 512,000 | 0.927 | 0.410 | 55.77 |
| 3 | 1:512,000 | 0.956 | 0.185 | 80.65 |
| 4 | 1:256,000 | 1.196 | 0.169 | 85.87 |
| 5 | 1:1,024,000 | 0.808 | 0.380 | 52.97 |

4.2. การหลอมรวมเซลล์และคัดเลือกเซลล์ไฮบริโดมาที่สร้างโมโนโคลนอลแอนติบอดีต่อ AFM₁

เมื่อฉีดกระตุ้นหนูไม่ซ้ทั้ง 5 ตัว ด้วยแอนติเจน AFM₁-BSA ความเข้มข้น 2.5 ไมโครกรัมต่อมิลลิลิตร จำนวน 4 ครั้ง พบว่าหนูมีความสามารถในการผลิตแอนติบอดี และแอนติบอดีที่ได้มีความสามารถในการจับ AFM₁ ในรูปอิสระ จึงทำการหลอมรวมเซลล์ระหว่างเซลล์ม้ามของหนูไม่ซ้กับเซลล์มัยอีโลมา การหลอมรวมเซลล์ของหนูตัวที่ 1-3 ใช้เซลล์มัยอีโลมา SP2/0 และการหลอมรวมเซลล์ของหนูตัวที่ 4-5 จะใช้เซลล์มัยอีโลมา P3X นำเซลล์ม้ามของหนูไม่ซ้มาผสมกับเซลล์มัยอีโลมา แล้วนำไปปั่นเพื่อให้เซลล์ทั้งสองตกมารวมกัน จากนั้นหลอมรวมเซลล์ด้วย 50% PEG แล้วล้างออก เลี้ยงเซลล์ในอาหารเลี้ยงเซลล์ HAT เพื่อกำจัดเซลล์มัยอีโลมา หลังจากการหลอมรวมประมาณ 10 วัน ตรวจดูเซลล์ไฮบริโดมาด้วยกล้องจุลทรรศน์ชนิดหัวกลับพบว่าเซลล์ไฮบริโดมา

เริ่มมีการเจริญเติบโตในอาหารเลี้ยงเซลล์ HAT โดยจะเห็นเซลล์ขนาดเล็ก ลักษณะกลมใสเริ่มมีการเกาะกลุ่มกันเป็นโคโลนีภายในหลุม หลังจากที่มีการเจริญเติบโตของไฮบริโดมาเซลล์ประมาณ 1 ใน 4 ของหลุม นำอาหารเลี้ยงเซลล์ในหลุมที่มีโคโลนีของเซลล์ไฮบริโดมาเจริญขึ้นมาคัดเลือกเซลล์ไฮบริโดมาที่สามารถผลิตแอนติบอดีได้ โดยวิธี **indirect ELISA** หลังจากนั้นนำน้ำเลี้ยงเซลล์ในหลุมที่ให้ผลบวก (ให้ค่าการดูดกลืนแสงของอาหารเลี้ยงเซลล์ที่ 450 นาโนเมตร มากกว่า หรือเท่ากับ 0.7) มาทำการทดสอบต่อไป เพื่อดูว่าแอนติบอดีที่เซลล์ไฮบริโดมาผลิตได้ สามารถจับกับ **AFM₁** ในรูปอิสระได้หรือไม่ โดยใช้วิธี **indirect competitive ELISA** ให้ผลดังตารางที่ 4.3

จากการหลอมรวมเซลล์ในครั้งที่ 1 เมื่อเลี้ยงเซลล์ไปประมาณ 1 สัปดาห์พบว่าในหลุมมีเซลล์ไฮบริโดมาเจริญเพียงเล็กน้อยเป็นโคโลนีอยู่ในหลุม แต่พบเซลล์ไฟโบรบลาสต์ (**fibroblast**) ซึ่งมีจำนวนมากกว่าเซลล์ไฮบริโดมา และมีเจริญอย่างรวดเร็วจึงส่งผลให้ไปบดบังการเจริญของเซลล์ไฮบริโดมาจึงทำให้เซลล์ตายไปในที่สุด

จากการหลอมรวมเซลล์ครั้งที่ 2 และ 3 พบว่าเซลล์ไฮบริโดมาที่ได้มีความสามารถในการผลิตแอนติบอดีที่จำเพาะต่อ **AFM₁-BSA** ที่ใช้เคลือบพื้นหลุมของจาน **ELISA** จากการทำ **indirect ELISA** แต่ไม่สามารถจับกับ **AFM₁** อิสระจากการทำ **indirect competitive ELISA** จึงไม่นำมาใช้ในการวิจัยต่อไป

จากการหลอมรวมเซลล์ครั้งที่ 4 ได้เซลล์ไฮบริโดมาที่สามารถผลิตแอนติบอดี และมีความสามารถในการจับกับสาร **AFM₁** อิสระ จำนวน 2 หลุม นำแต่ละหลุมมาแยกเซลล์เดี่ยวโดยวิธี **limiting dilution** หลังจากขั้นตอนนี้รอให้เซลล์ไฮบริโดมาเจริญ แล้วนำน้ำเลี้ยงเซลล์มาทดสอบว่าเซลล์ยังสามารถผลิตแอนติบอดีและจับกับสารอิสระได้หรือไม่ ด้วยวิธี **indirect ELISA** และ **indirect competitive ELISA** ตามลำดับ แต่พบว่าเซลล์ได้สูญเสียความสามารถในการผลิตแอนติบอดีไป เนื่องจากโคลนที่ได้มีความไม่คงตัว (**stability**) จึงไม่นำมาใช้ในการวิจัยต่อไป

จากการหลอมรวมเซลล์ครั้งที่ 5 ได้เซลล์ไฮบริโดมาที่สามารถผลิตแอนติบอดี และมีความสามารถในการจับกับสาร **AFM₁** อิสระ จำนวน 11 หลุม นำแต่ละหลุมมาแยกเซลล์เดี่ยวโดยวิธี **limiting dilution** ทำการคัดเลือกโคลนที่มีความสามารถในการผลิตแอนติบอดีและสามารถจับกับ **AFM₁** อิสระได้ดี โดยเปรียบเทียบค่าการดูดกลืนแสงจากการทำ **indirect competitive ELISA** โดยหลุมที่ใส่ **AFM₁** อิสระแล้วทำให้ค่าการดูดกลืนแสงลดลงมากกว่า 90% เมื่อเทียบกับหลุมที่ไม่ใส่ **AFM₁** แสดงว่าโคลนนั้นสามารถผลิตแอนติบอดีที่สามารถจับกับ **AFM₁** อิสระได้ดี พบว่ามีทั้งหมด 5 โคลนที่มีสมบัติดังกล่าว จึงทำการกำหนดรหัสของเซลล์ไฮบริโดมา ได้แก่ **AFM₁-1,**

AFM₁-3, AFM₁-9, AFM₁-15 และ AFM₁-17 ดังตารางที่ 4.4 ต่อมาจึงขยายเพิ่มจำนวนเซลล์แล้วนำเซลล์ไปเก็บรักษาโดย แช่แข็งในไนโตรเจนเหลว และเก็บอาหารเลี้ยงเซลล์ไว้ใช้ในการตรวจสอบลักษณะสมบัติต่อไป

ตารางที่ 4.3 ผลการหลอมรวมเซลล์ของหนูทั้ง 5 ครั้ง ที่กระตุ้นภูมิคุ้มกันโดยใช้ AFM₁-BSA

| ครั้งที่ | จำนวน | จำนวนที่เซลล์ | | จำนวนที่ผลิต | | จำนวนที่ | | จำนวน | |
|----------|---------|----------------|-------|--------------|------|----------------------------------|------|------------|------|
| | ตั้งต้น | ไฮบริโดมาเจริญ | (%) | แอนติบอดี | (%) | แอนติบอดีจับกับ AFM ₁ | (%) | โคลนที่ได้ | (%) |
| | (หลุม) | (หลุม) | (%) | (หลุม) | (%) | (หลุม) | (%) | (โคลน) | (%) |
| 1 | 1,152 | - | - | - | - | - | - | - | - |
| 2 | 1,776 | 386 | 21.73 | 175 | 9.85 | - | - | - | - |
| 3 | 1,152 | 110 | 9.55 | 98 | 8.50 | - | - | - | - |
| 4 | 2,200 | 990 | 45.00 | 87 | 3.95 | 2 | 0.09 | - | - |
| 5 | 1,584 | 639 | 40.34 | 157 | 9.91 | 11 | 0.69 | 5 | 0.31 |

ตารางที่ 4.4 เซลล์ไฮบริโดมาที่ผลิตแอนติบอดีและสามารถจับกับสาร AFM₁ อิสระ ที่ได้จากการหลอมรวมเซลล์ครั้งที่ 5

| รหัสเซลล์ไฮบริโดมา | รหัสเซลล์ไฮบริโดมา | ค่าการดูดกลืนแสงที่ 450 นาโนเมตร | | % การแข่งขัน |
|----------------------|--------------------|----------------------------------|---------------------------|--------------|
| | | ไม่มี AFM ₁ | AFM ₁ (2µg/ml) | |
| AFM ₁ -1 | 130/1F/5G/11E/10F | 2.737 | 0.088 | 96.78 |
| AFM ₁ -3 | 130/1F/6F/10B/6H | 2.838 | 0.075 | 97.36 |
| AFM ₁ -9 | 131/11D/9D/10H/7G | 2.992 | 0.277 | 90.74 |
| AFM ₁ -15 | 70/3F/8H/11C | 2.900 | 0.091 | 96.86 |
| AFM ₁ -17 | 151/7B/12F/9H | 2.756 | 0.118 | 95.72 |

4.3 ผลการศึกษาลักษณะสมบัติเบื้องต้นของโมโนโคลนอลแอนติบอดี

4.3.1 การตรวจสอบไอโซไทป์ของโมโนโคลนอลแอนติบอดี

โมโนโคลนอลแอนติบอดีที่ผลิตจากไฮบริโดมาแต่ละโคลนมีความจำเป็นที่จะต้องตรวจสอบไอโซไทป์ เพื่อที่จะได้ทราบธรรมชาติของแอนติบอดีที่ได้ ว่ามีแรงจับของแอนติบอดีต่ออีพิโทป 1 ตำแหน่งบนแอนติเจน (**antibody affinity**) หรือ แรงจับรวมของแอนติบอดีที่มีตำแหน่งจับหลายตำแหน่งและแอนติเจนที่มีอีพิโทปซ้ำๆ กัน (**antibody avidity**) อย่างไรก็ตาม เช่นกรณีของ **IgM** จะมี **affinity** ต่ำกว่า **IgG** แต่มี **avidity** สูงกว่า เนื่องจากมีตำแหน่งที่จับแอนติเจนจำนวนมากกว่า ทำให้ **IgM** สามารถจับกับแอนติเจนได้อย่างมีประสิทธิภาพเทียบเท่ากับ **IgG** นอกจากนี้ในการทำแอนติบอดีให้บริสุทธิ์โดยใช้โครมาโทกราฟีแบบสัมพรรคภาพ จำเป็นต้องทราบกลุ่มย่อย ของ **IgG** เพื่อที่จะได้เลือกชนิดของคอลัมน์ให้เหมาะสม เนื่องจากกลุ่มย่อยของ **IgG** แต่ละชนิด มีความสามารถในการจับกับ โปรตีนเอ หรือ โปรตีนจี ด้วย **affinity** ต่างกัน จากการทดสอบไอโซ-ไทป์ของโมโนโคลนอลแอนติบอดีจากทั้ง 5 โคลน โดยวิธี **indirect ELISA** พบว่าโมโนโคลนอลแอนติบอดีทั้ง 5 โคลน มีไอโซไทป์เป็น **IgG₁** ดังตารางที่ 4.5

ตารางที่ 4.5 ผลการตรวจสอบไอโซไทป์ของโมโนโคลนอลแอนติบอดีโดยวิธี **indirect ELISA**

| รหัสเซลล์ | ค่าการดูดกลืนแสงที่ 450 นาโนเมตร | | | | | |
|----------------------|----------------------------------|-------------------|-------------------|------------------|-------|-------|
| | IgG ₁ | IgG _{2a} | IgG _{2b} | IgG ₃ | IgA | IgM |
| ไฮบริโดมา | | | | | | |
| AFM ₁ -1 | 1.087 | 0.071 | 0.086 | 0.085 | 0.073 | 0.216 |
| AFM ₁ -3 | 1.098 | 0.073 | 0.071 | 0.088 | 0.072 | 0.221 |
| AFM ₁ -9 | 1.124 | 0.074 | 0.086 | 0.09 | 0.07 | 0.219 |
| AFM ₁ -15 | 1.034 | 0.071 | 0.084 | 0.087 | 0.074 | 0.225 |
| AFM ₁ -17 | 1.051 | 0.072 | 0.083 | 0.09 | 0.071 | 0.226 |

หมายเหตุ : ส่วนที่เน้น หมายถึง ไอโซไทป์ของโมโนโคลนอลแอนติบอดีทั้ง 5 โคลน

4.3.2 การทดสอบความไวของโมโนโคลนอลแอนติบอดีต่อ AFM₁ ในรูปอิสระ

หาระดับการเจือจางของแอนติบอดีที่เหมาะสมเพื่อที่จะนำไปทดสอบความจำเพาะต่อ AFM₁ ของแอนติบอดีที่ได้ ด้วยวิธี **indirect ELISA** เนื่องจากในแต่ละโคลนมีความสามารถในการผลิตโมโนโคลนอลแอนติบอดีต่างกัน จึงทำให้ระดับความเข้มข้นของแอนติบอดีที่อยู่ในอาหารเลี้ยงเซลล์แตกต่างกัน จึงมีความจำเป็นที่จะต้องหาระดับการเจือจางที่เหมาะสมกับแอนติเจนที่ใช้เคลือบหลุม โดยใช้แอนติเจน **AFM₁-BSA** ความเข้มข้น **0.2** ไมโครกรัมต่อมิลลิลิตร ในการเคลือบหลุม เลือกว่าค่าความเจือจางที่ให้ค่าดูดกลืนแสงที่ **450** นาโนเมตรมีค่าใกล้เคียง **1.000** ทำให้ได้ระดับการเจือจางของแอนติบอดีที่เหมาะสมของโคลน **AFM₁-1, AFM₁-3, AFM₁-15** และ **AFM₁-17** ที่ **1:3,200** และโคลน **AFM₁-9** ที่ **1:1,600** ดังตารางที่ 4.6

ตารางที่ 4.6 ระดับการเจือจางของแอนติบอดีที่เหมาะสมในการทำ **indirect ELISA** ที่ความเข้มข้นของแอนติเจนที่ใช้เคลือบกันหลุมเท่ากับ **0.2** ไมโครกรัมต่อมิลลิลิตร

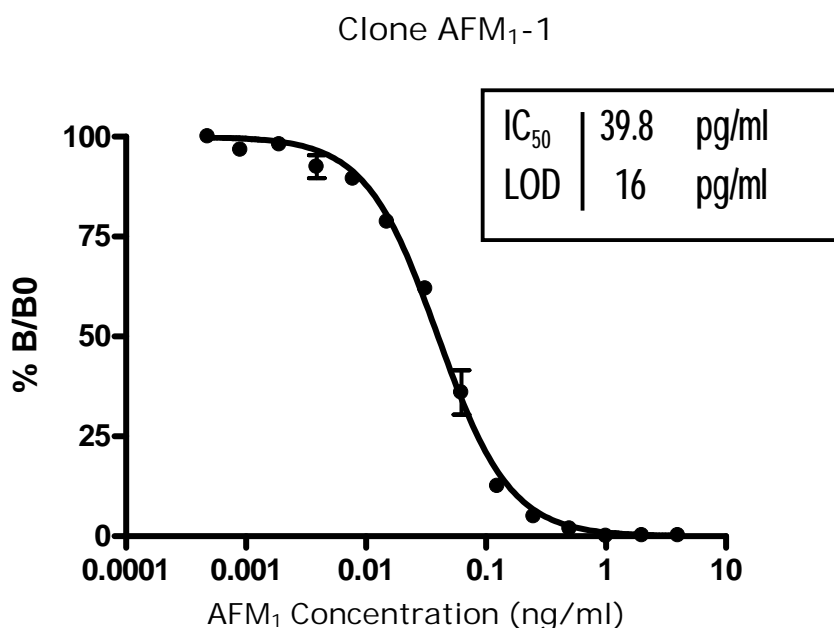
| ระดับการ เจือจาง | ค่าการดูดกลืนแสงที่ 450 นาโนเมตร | | | | |
|---------------------|----------------------------------|---------------------|---------------------|----------------------|----------------------|
| | รหัสเซลล์ไฮบริโดมา | | | | |
| | AFM ₁ -1 | AFM ₁ -3 | AFM ₁ -9 | AFM ₁ -15 | AFM ₁ -17 |
| 1:200 | 1.932 | 1.927 | 1.968 | 1.938 | 2.076 |
| 1:400 | 1.782 | 1.507 | 1.717 | 1.978 | 1.993 |
| 1:800 | 1.946 | 1.132 | 1.854 | 2.020 | 2.066 |
| 1:1,600 | 1.778 | 1.966 | 1.479 | 1.836 | 1.593 |
| 1:3,200 | 1.293 | 1.462 | 0.865 | 1.170 | 1.058 |
| 1:6,400 | 0.686 | 0.837 | 0.486 | 0.589 | 0.767 |
| 1:12,800 | 0.494 | 0.476 | 0.319 | 0.349 | 0.346 |
| 1:25,600 | 0.273 | 0.271 | 0.213 | 0.209 | 0.190 |

หมายเหตุ : ส่วนที่เน้น หมายถึง ระดับการเจือจางของแอนติบอดีที่เหมาะสมในแต่ละโคลน

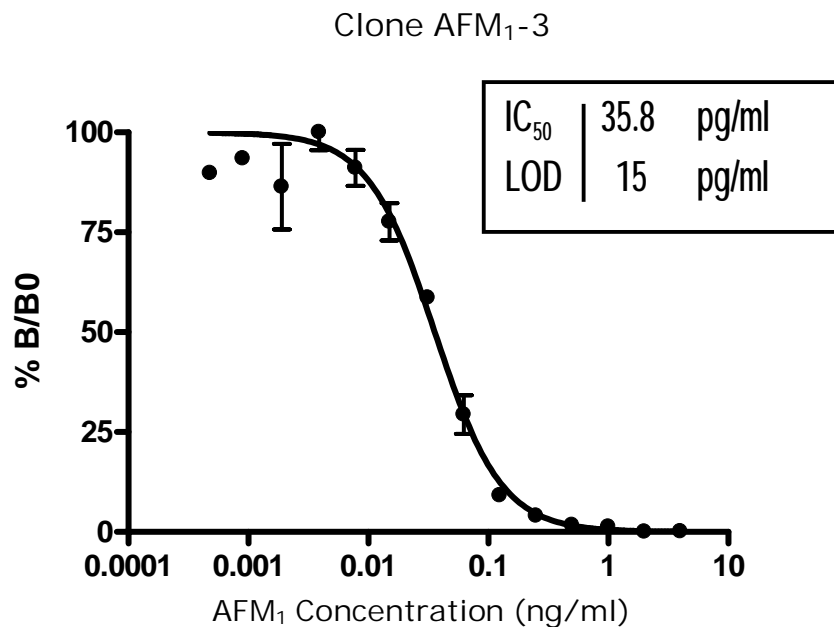
เมื่อทราบค่าความเจือจางที่เหมาะสมของโมโนโคลนอลแอนติบอดีแต่ละโคลนแล้ว จากนั้นหาค่า **IC₅₀** และ **LOD** ด้วยวิธี **indirect competitive ELISA** โดยใช้ **AFM₁** ในรูปอิสระเป็นตัวแข่งขันที่ความเข้มข้นต่าง ๆ โดยเริ่มจากความเข้มข้น **4.8** พิโคกรัมต่อมิลลิลิตร (**0.0048** นาโนกรัมต่อมิลลิลิตร) จนถึง **4** นาโนกรัมต่อมิลลิลิตร ได้ผลดังภาพที่ 4.2 - 4.6

พบว่าโมโนโคลนอลแอนติบอดี AFM_1-1 , AFM_1-3 , AFM_1-9 , AFM_1-15 และ AFM_1-17 ให้ค่า IC_{50} เท่ากับ 39.8, 35.8, 16.7, 28.3 และ 22.3 พิโคกรัมต่อมิลลิลิตร ตามลำดับ และให้ค่า LOD เท่ากับ 16, 15, 5, 7 และ 8 พิโคกรัมต่อมิลลิลิตร ตามลำดับ ดังสรุปในตารางที่ 4.7

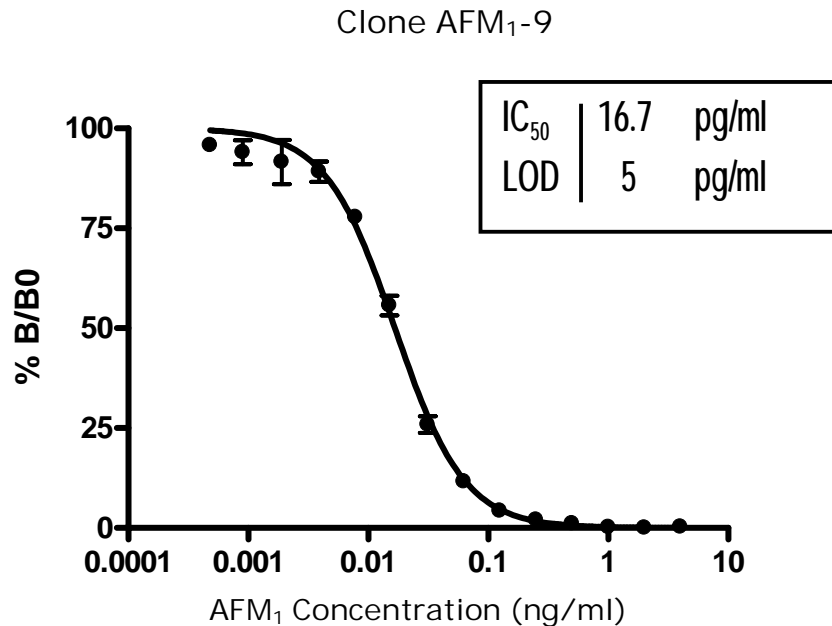
เมื่อเปรียบเทียบค่า LOD ที่ได้จากการทดสอบความไวของโมโนโคลนอลแอนติบอดีแต่ละโคลน กับการศึกษาของ Pei และคณะ (2009) ที่ได้ผลิตโมโนโคลนอลแอนติบอดีที่จำเพาะต่อ AFM_1 แล้วมีค่า LOD อยู่ที่ 0.04 นาโนกรัมต่อมิลลิลิตร (40 พิโคกรัมต่อมิลลิลิตร) พบว่าค่า LOD ของโมโนโคลนอลแอนติบอดี AFM_1-1 , AFM_1-3 , AFM_1-9 , AFM_1-15 และ AFM_1-17 มีความไวต่ำกว่าที่ Pei และคณะได้ศึกษาไว้ แต่อย่างไรก็ตามโมโนโคลนอลแอนติบอดีที่ได้ มีความไวต่อ AFM_1 ในระดับที่ต่ำกว่าค่าที่คณะกรรมการการยุโรป (European Commission) ได้กำหนดไว้ ว่าจะให้มีปริมาณของ AFM_1 ในน้ำนมและผลิตภัณฑ์นมสำหรับเด็กทารกได้ไม่เกิน 0.05 นาโนกรัมต่อมิลลิลิตร (50 พิโคกรัมต่อมิลลิลิตร) และ 0.025 นาโนกรัมต่อมิลลิลิตร (25 พิโคกรัมต่อมิลลิลิตร) ตามลำดับ



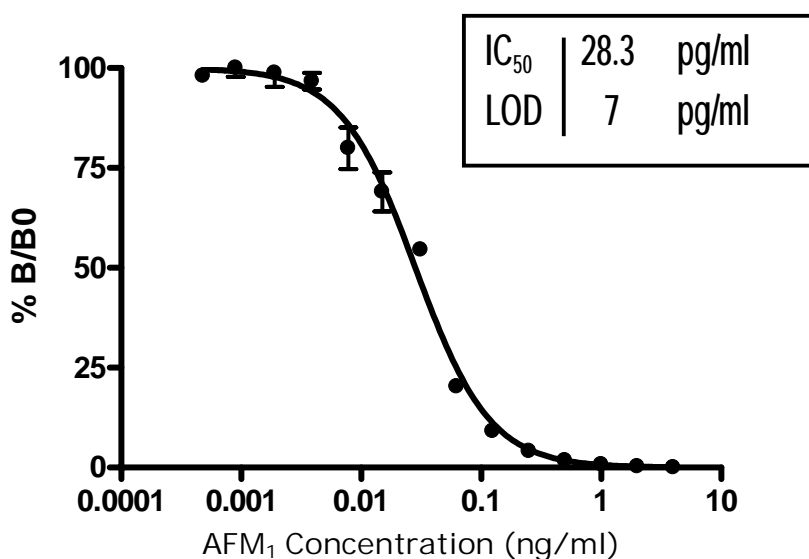
ภาพที่ 4.2 ความสัมพันธ์ระหว่างอัตราส่วนการดูดกลืนแสง (B/B_0) และปริมาณ AFM_1 ในการแข่งขันเมื่อทดสอบด้วย indirect competitive ELISA โดยใช้ AFM_1 -BSA ความเข้มข้น 0.2 ไมโครกรัมต่อมิลลิลิตรเคลือบที่ก้นหลุมและโมโนโคลนอลแอนติบอดีจากโคลน AFM_1-1



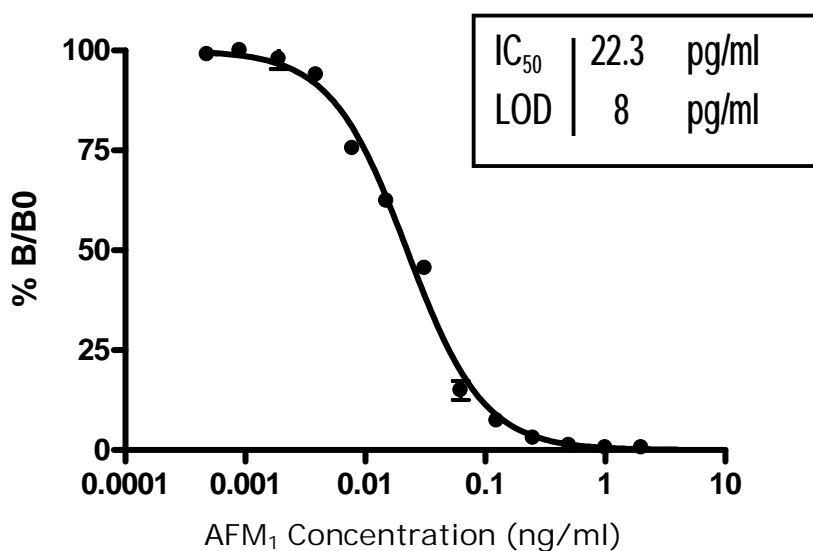
ภาพที่ 4.3 ความสัมพันธ์ระหว่างอัตราส่วนการดูดกลืนแสง (B/B_0) และปริมาณ AFM₁ ในการแข่งขันเมื่อทดสอบด้วย indirect competitive ELISA โดยใช้ AFM₁-BSA ความเข้มข้น 0.2 ไมโครกรัมต่อมิลลิลิตรเคลือบที่ก้นหลุมและโมโนโคลนอลแอนติบอดีจากโคลน AFM₁-3



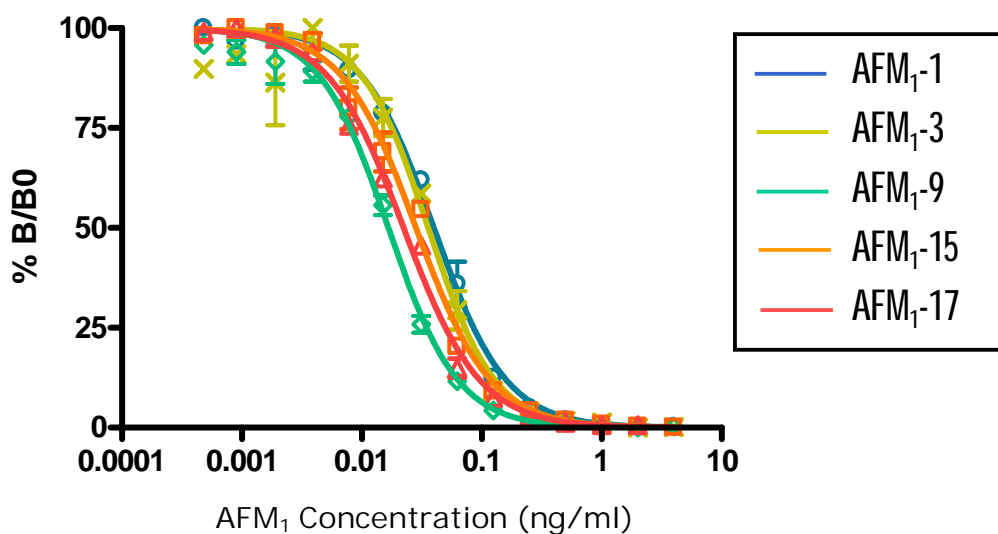
ภาพที่ 4.4 ความสัมพันธ์ระหว่างอัตราส่วนการดูดกลืนแสง (B/B_0) และปริมาณ AFM₁ ในการแข่งขันเมื่อทดสอบด้วย indirect competitive ELISA โดยใช้ AFM₁-BSA ความเข้มข้น 0.2 ไมโครกรัมต่อมิลลิลิตรเคลือบที่ก้นหลุมและโมโนโคลนอลแอนติบอดีจากโคลน AFM₁-9

Clone AFM₁-15

ภาพที่ 4.5 ความสัมพันธ์ระหว่างอัตราส่วนการดูดกลืนแสง (B/B_0) และปริมาณ AFM_1 ในการแข่งขันเมื่อทดสอบด้วย indirect competitive ELISA โดยใช้ AFM_1 -BSA ความเข้มข้น 0.2 ไมโครกรัมต่อมิลลิลิตรเคลือบที่ก้นหลุมและโมโนโคลนอลแอนติบอดีจากโคลน AFM_1 -15

Clone AFM₁-17

ภาพที่ 4.6 ความสัมพันธ์ระหว่างอัตราส่วนการดูดกลืนแสง (B/B_0) และปริมาณ AFM_1 ในการแข่งขันเมื่อทดสอบด้วย indirect competitive ELISA โดยใช้ AFM_1 -BSA ความเข้มข้น 0.2 ไมโครกรัมต่อมิลลิลิตรเคลือบที่ก้นหลุมและโมโนโคลนอลแอนติบอดีจากโคลน AFM_1 -17



ภาพที่ 4.7 กราฟเปรียบเทียบความสัมพันธ์ระหว่างอัตราส่วนการดูดกลืนแสงและปริมาณ AFM₁ ในการแข่งขันเมื่อทดสอบด้วย indirect competitive ELISA ของโมโนโคลนอลแอนติบอดี AFM₁-1, AFM₁-3, AFM₁-9, AFM₁-15 และ AFM₁-17

ตารางที่ 4.7 IC₅₀ และ LOD ของโมโนโคลนอลแอนติบอดี จากการวิเคราะห์ด้วยวิธี indirect competitive ELISA

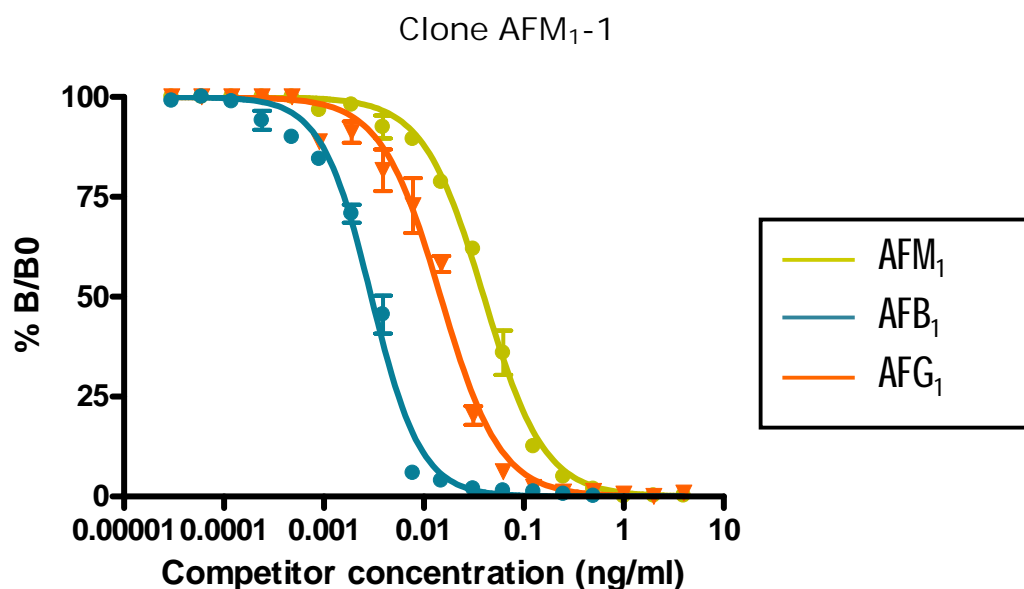
| รหัสเซลล์ไฮบริโดมา | IC ₅₀ (พิโคกรัมต่อมิลลิลิตร) | LOD (พิโคกรัมต่อมิลลิลิตร) |
|----------------------|--|-------------------------------|
| AFM ₁ -1 | 39.8 | 16 |
| AFM ₁ -3 | 35.8 | 15 |
| AFM ₁ -9 | 16.7 | 5 |
| AFM ₁ -15 | 28.3 | 7 |
| AFM ₁ -17 | 22.3 | 8 |

4.3.3 การทดสอบความจำเพาะของโมโนโคลนอลแอนติบอดีต่อ AFM₁

ทดสอบความจำเพาะของโมโนโคลนอลแอนติบอดีโดยทดสอบปฏิกิริยาข้ามของโมโนโคลนอลแอนติบอดีทั้ง 5 โคลนโดยวิธี indirect competitive ELISA โดยใช้ตัวแข่งขันเป็นสารในกลุ่ม AFs คือ AFB₁ และ AFG₁ ส่วนสารนอกกลุ่ม AFs ได้แก่ deoxynivalenol (DON) ซึ่งเป็น

สารพิษจาก *Fusarium sp.* และสารในกลุ่มยาปฏิชีวนะ ได้แก่ tetracycline, oxytetracycline, chloramphenicol, ciprofloxacin, enrofloxacin, norfloxacin, enoxacin, cinoxacin และ nitrofurantoin นำค่าการดูดกลืนแสงคำนวณโดยใช้โปรแกรม graph pad prism 4 เพื่อหา IC_{50} ของแต่ละสาร ดังภาพที่ 4.8, 4.9, 4.10, 4.11 และ 4.12 (ตารางที่ ก.2 ถึง ก.5, ภาคผนวก ก)

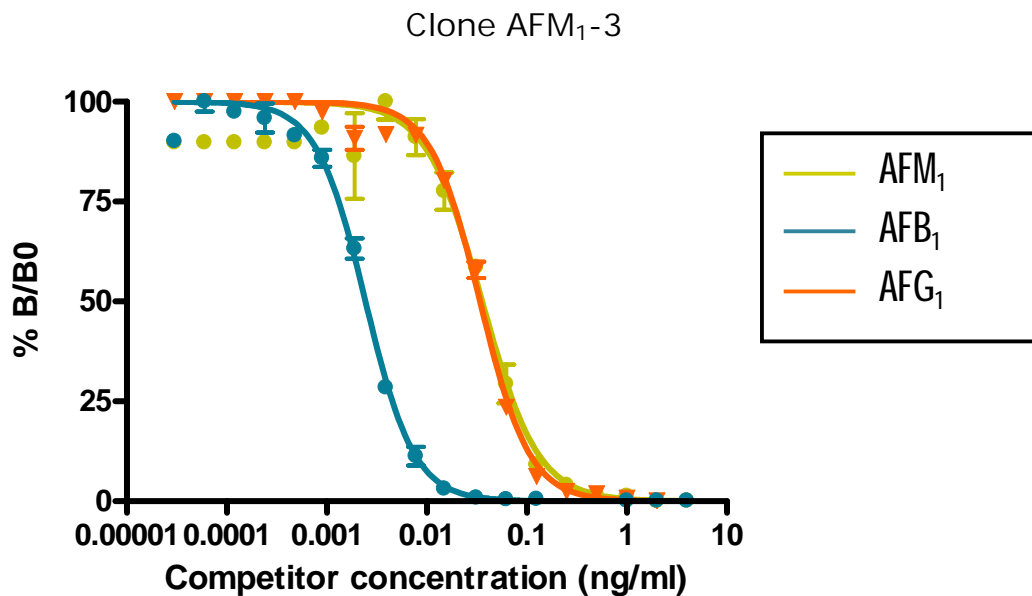
จากการทดสอบปฏิกิริยาข้ามของโมโนโคลนอลแอนติบอดีทั้ง 5 โคลน พบว่าเกิดปฏิกิริยาข้ามกับสารในกลุ่ม คือ AFB_1 และ AFG_1 ทั้งสองชนิด แต่ไม่เกิดปฏิกิริยาข้ามกับ DON และสารในกลุ่มยาปฏิชีวนะซึ่งเป็นสารนอกกลุ่ม AFs ดังตารางที่ 4.8 ถึงแม้ปฏิกิริยาระหว่างแอนติบอดีและแอนติเจนจะมีความจำเพาะสูง แต่แอนติบอดีที่ถูกกระตุ้นด้วยแอนติเจนชนิดหนึ่งสามารถทำปฏิกิริยากับแอนติเจนชนิดอื่นๆ ได้ ซึ่งปฏิกิริยาข้ามอาจเกิดขึ้นได้ 2 กรณี คือ กรณีที่แอนติเจนอาจมีอิพิโทปบางส่วนเหมือนกัน และกรณีที่แอนติบอดีอาจจะจับกับอิพิโทปอื่นที่มีโครงสร้างหรือมีคุณสมบัติทางเคมีใกล้เคียงกัน ดังนั้นจากการทดสอบความจำเพาะแสดงให้เห็นว่าโมโนโคลนอลแอนติบอดีทั้ง 5 โคลน มีความจำเพาะกับสารในกลุ่ม AFs สูง คาดว่าเนื่องจากสารภายในกลุ่ม AFs ด้วยกันจะมีโครงสร้างของโมเลกุลใกล้เคียงกัน หากนำมาเปรียบเทียบกับงานวิจัยของ Pei และคณะ(2009) พบว่าโมโนโคลนอลแอนติบอดีต่อ AFM_1 เกิดปฏิกิริยาข้ามกับสารในกลุ่ม เช่นเดียวกัน โดยเกิดปฏิกิริยาข้ามกับ AFM_1 , AFB_1 และ AFG_1 คิดเป็น 100, 13.9 และ 6.7% ตามลำดับ (Pei และคณะ, 2009)



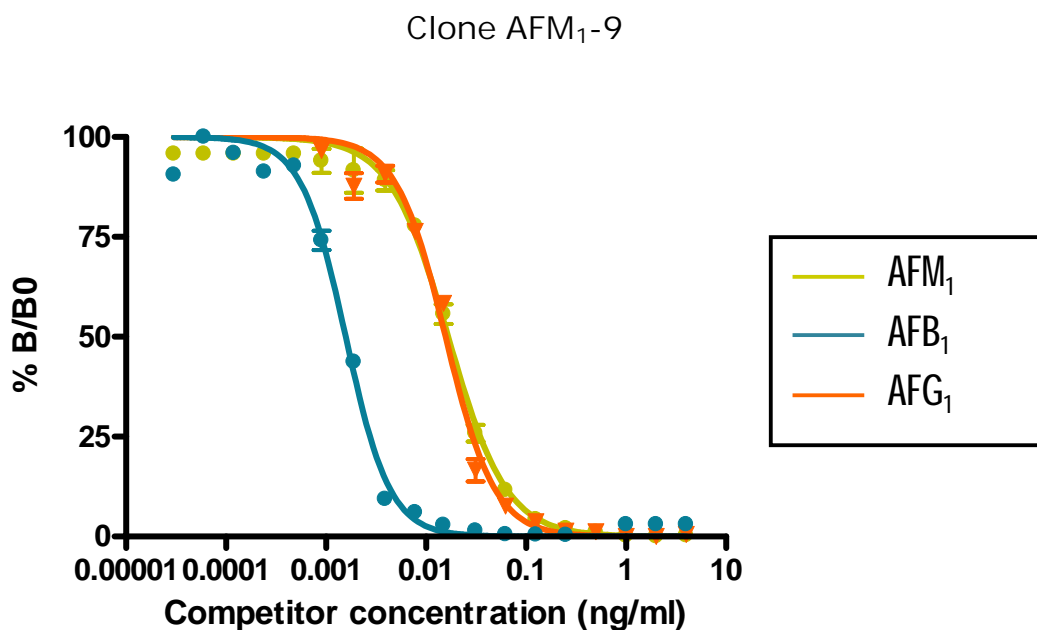
ภาพที่ 4.8 ความสัมพันธ์ของค่าการดูดกลืนแสง (B/B_0) กับความเข้มข้นของสารในกลุ่ม AFs

ในการทดสอบปฏิกิริยาข้ามของโมโนโคลนอลแอนติบอดีโคลน AFM_1-1

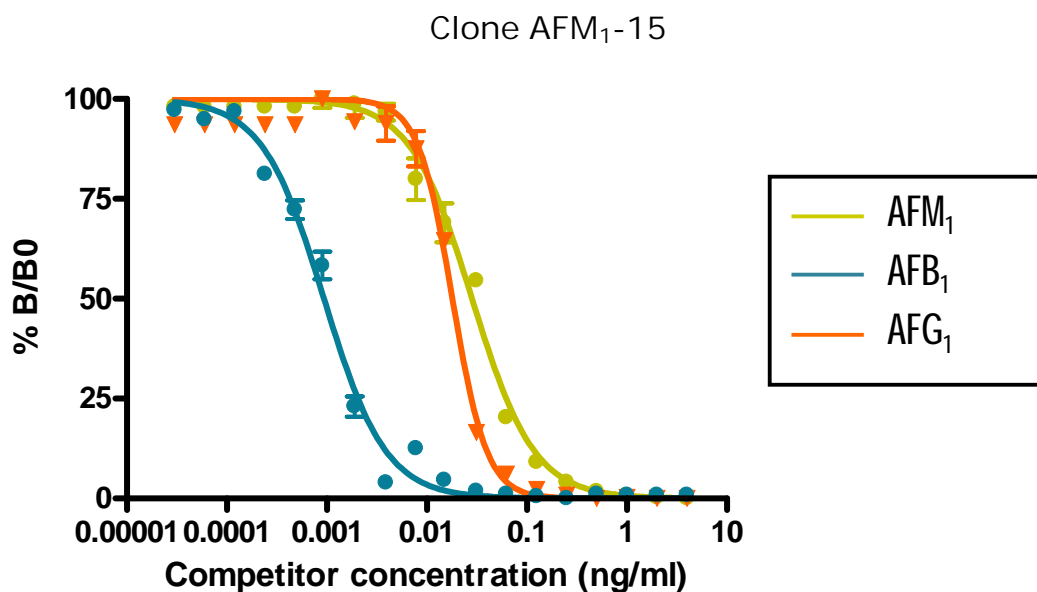
โดยวิธี indirect competitive ELISA



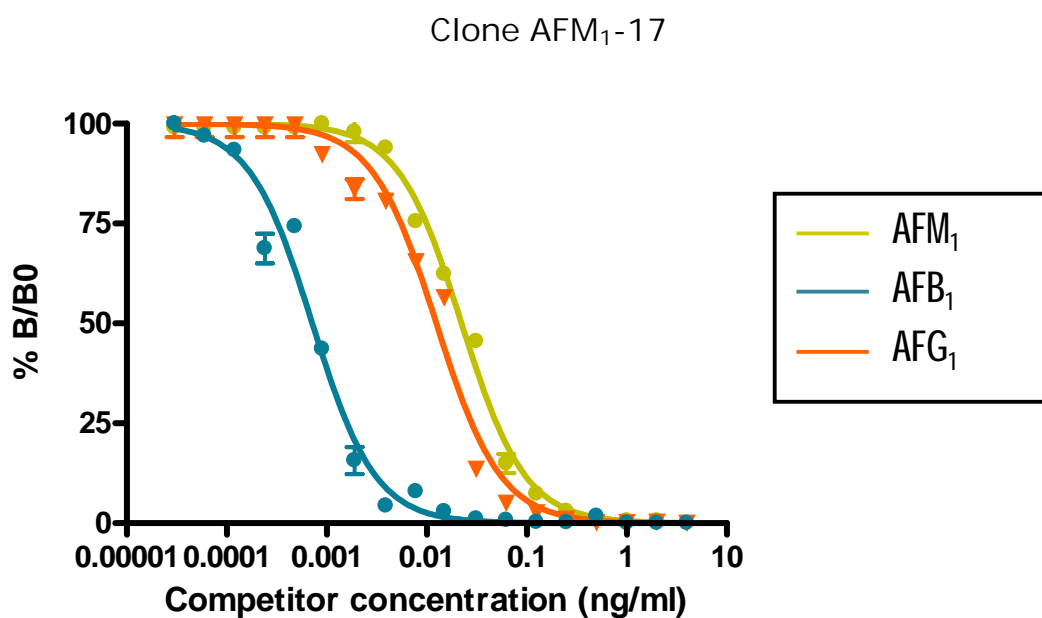
ภาพที่ 4.9 ความสัมพันธ์ของค่าการดูดกลืนแสง (B/B_0) กับความเข้มข้นของสารในกลุ่ม AFS ในการทดสอบปฏิกิริยาข้ามของโมโนโคลนอลแอนติบอดีโคลน AFM₁-3 โดยวิธี indirect competitive ELISA



ภาพที่ 4.10 ความสัมพันธ์ของค่าการดูดกลืนแสง (B/B_0) กับความเข้มข้นของสารในกลุ่ม AFS ในการทดสอบปฏิกิริยาข้ามของโมโนโคลนอลแอนติบอดีโคลน AFM₁-9 โดยวิธี indirect competitive ELISA



ภาพที่ 4.11 ความสัมพันธ์ของค่าการดูดกลืนแสง (B/B_0) กับความเข้มข้นของสารในกลุ่ม AFs ในการทดสอบปฏิกิริยาข้ามของโมโนโคลนอลแอนติบอดีโคลน AFM₁-15 โดยวิธี indirect competitive ELISA



ภาพที่ 4.12 ความสัมพันธ์ของค่าการดูดกลืนแสง (B/B_0) กับความเข้มข้นของสารในกลุ่ม AFs ในการทดสอบปฏิกิริยาข้ามของโมโนโคลนอลแอนติบอดีโคลน AFM₁-17 โดยวิธี indirect competitive ELISA

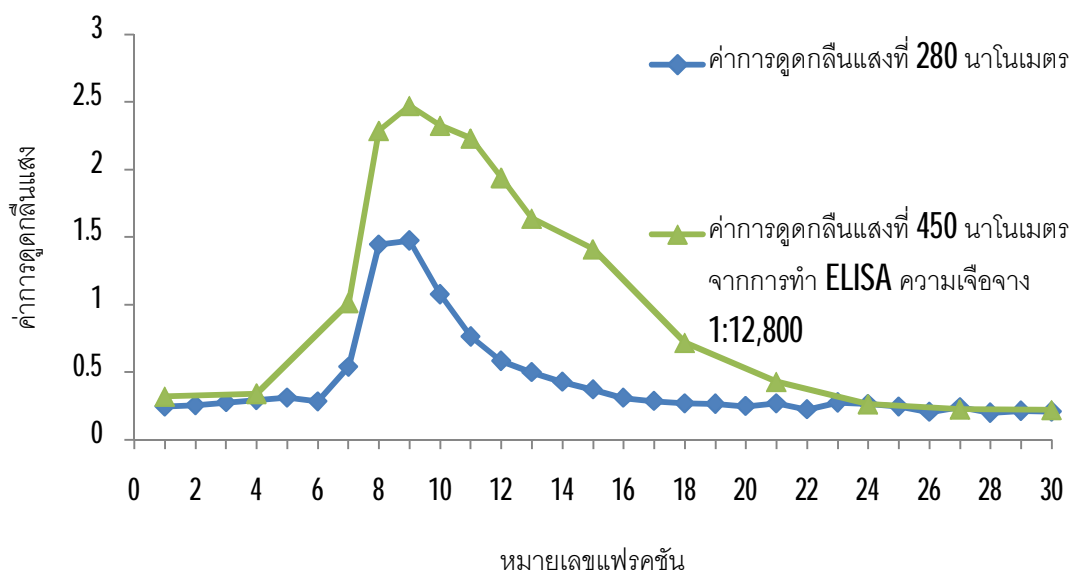
ตารางที่ 4.8 ค่า IC₅₀ และเปอร์เซ็นต์การเกิดปฏิกิริยาข้ามของโมโนโคลนอลแอนติบอดีต่อสารในกลุ่ม AFs และ สารนอกกลุ่มโดยวิธี indirect competitive ELISA

| สารแข่งขัน | AFM ₁ -1 | | AFM ₁ -3 | | AFM ₁ -9 | | AFM ₁ -15 | | AFM ₁ -17 | |
|--------------------|--------------------------|-------|--------------------------|-------|--------------------------|-------|--------------------------|-------|--------------------------|-------|
| | IC ₅₀ (pg/ml) | % CR | IC ₅₀ (pg/ml) | % CR | IC ₅₀ (pg/ml) | % CR | IC ₅₀ (pg/ml) | % CR | IC ₅₀ (pg/ml) | % CR |
| Aflatoxins | | | | | | | | | | |
| AFM ₁ | 39.8 | 100 | 35.8 | 100 | 16.7 | 100 | 28.3 | 100 | 22.3 | 100 |
| AFB ₁ | 3.0 | 1,328 | 2.4 | 1,491 | 1.6 | 1,043 | 0.9 | 3,144 | 1.6 | 1,393 |
| AFG ₁ | 14.8 | 269 | 34.1 | 105 | 15.7 | 106 | 16.2 | 175 | 12.5 | 178 |
| Mycotoxin | | | | | | | | | | |
| DON | >100,000 | <0.04 | >100,000 | <0.04 | >100,000 | <0.02 | >100,000 | <0.03 | >100,000 | <0.02 |
| Antibiotics | | | | | | | | | | |
| Tetracycline | >100,000 | <0.04 | >100,000 | <0.04 | >100,000 | <0.02 | >100,000 | <0.03 | >100,000 | <0.02 |
| Oxytetracycline | >100,000 | <0.04 | >100,000 | <0.04 | >100,000 | <0.02 | >100,000 | <0.03 | >100,000 | <0.02 |
| Chloramphenicol | >100,000 | <0.04 | >100,000 | <0.04 | >100,000 | <0.02 | >100,000 | <0.03 | >100,000 | <0.02 |
| Ciprofloxacin | >100,000 | <0.04 | >100,000 | <0.04 | >100,000 | <0.02 | >100,000 | <0.03 | >100,000 | <0.02 |
| Enrofloxacin | >100,000 | <0.04 | >100,000 | <0.04 | >100,000 | <0.02 | >100,000 | <0.03 | >100,000 | <0.02 |
| Norfloxacin | >100,000 | <0.04 | >100,000 | <0.04 | >100,000 | <0.02 | >100,000 | <0.03 | >100,000 | <0.02 |
| Nitrofurantoin | >100,000 | <0.04 | >100,000 | <0.04 | >100,000 | <0.02 | >100,000 | <0.03 | >100,000 | <0.02 |

4.4 การทำโมโนโคลนอลแอนติบอดีให้บริสุทธิ์บางส่วน

4.4.1 การทำแอนติบอดีให้บริสุทธิ์โดยใช้โปรตีนจี

จากการทดสอบความไวของโมโนโคลนอลแอนติบอดีที่ได้พบว่าโมโนโคลนอลแอนติบอดี **AFM₁-9** มีความไวมากที่สุด จึงนำอาหารเลี้ยงเซลล์ของโคลน **AFM₁-9** มาทำให้บริสุทธิ์ด้วยวิธีโครมาโทกราฟีแบบสัมพรรคภาพโดยใช้โปรตีนจี ที่พบได้บนผนังเซลล์ของ **β -hemolytic Streptococci strain C และ G** โดยโปรตีนชนิดนี้สามารถจับกับส่วน **Fc** ของแอนติบอดีชนิด **IgG** การทำโปรตีนให้บริสุทธิ์ด้วยวิธีนี้อาศัยหลักการของโครมาโทกราฟี เนื่องจากโมโนโคลนอลแอนติบอดีที่ได้จากโคลน **AFM₁-9** มีไอโซไทป์เป็น **IgG₁** ซึ่งมีสัมพรรคภาพสูงกับโปรตีนจี แอนติบอดีจึงถูกจับอยู่ในคอลัมน์ และจะถูกชะออกมาโดยใช้บัฟเฟอร์ที่ **pH 2.7** โดยนำแต่ละส่วน (**fraction**) ที่ได้มาตรวจหาโปรตีน โดยวัดค่าการดูดกลืนแสงที่ **280** นาโนเมตร และตรวจว่าโปรตีนที่ได้เป็นแอนติบอดีที่ยังสามารถทำงานได้อยู่หรือไม่ ด้วยวิธี **Indirect ELISA** วัดค่าการดูดกลืนแสงที่ **450** นาโนเมตร (ตารางที่ ก.6, ภาคผนวก ก) โดยใช้ความเจือจางของแต่ละส่วนที่ **1:12,800** ได้ผลดังภาพที่ **4.13**



ภาพที่ 4.13 โครมาโตแกรมที่ได้จากการทำโมโนโคลนอลแอนติบอดีจากโคลน **AFM₁-9** ให้บริสุทธิ์โดยใช้โปรตีนจีคอลัมน์ ชะแอนติบอดีด้วย **0.1M glycine-HCl pH 2.7** อัตราการไหล **1** มิลลิลิตรต่อนาที

จากโครมาโตแกรม พบว่าในส่วนที่ 7-15 มีค่าการดูดกลืนแสงที่ 280 นาโนเมตร และ 450 นาโนเมตรมีค่าสอดคล้องกัน ซึ่งแสดงให้เห็นว่าส่วนที่ถูกชะออกมานั้นเป็นแอนติบอดีที่ยังมีความสามารถในการทำปฏิกิริยากับ AFM₁-BSA ที่เคลือบไว้ที่หลุมได้ จึงนำส่วนนั้นๆ มารวมกัน และทำการไดอะไลซิสเพื่อกำจัดบัฟเฟอร์ที่ใช้ในการทำให้บริสุทธิ์ออกจากสารละลายที่ได้ ซึ่งแอนติบอดีที่ได้จะอยู่ใน pH 7.4 เพื่อเป็นรักษาสภาพของแอนติบอดีในการเก็บแอนติบอดีที่ทำให้บริสุทธิ์แล้วให้ได้เป็นเวลานาน

4.4.2 การหาปริมาณแอนติบอดีที่ได้จากการทำให้บริสุทธิ์

นำแอนติบอดีที่ผ่านการทำให้บริสุทธิ์และอาหารเลี้ยงเซลล์ก่อนทำให้บริสุทธิ์มาหาปริมาณโปรตีนโดยวิธี BCA (ภาพที่ ก.1, ภาคผนวก ก) เปรียบเทียบค่าการดูดกลืนแสงที่ได้กับกราฟมาตรฐานของโปรตีน BSA พบว่าอาหารเลี้ยงเซลล์ก่อนทำให้บริสุทธิ์และที่ทำให้บริสุทธิ์แล้ว มีความเข้มข้นของโปรตีน 4.238 และ 0.897 มิลลิกรัมต่อมิลลิลิตร ตามลำดับ (ตารางที่ ก.8 และ ก.9, ภาคผนวก ก) ซึ่งจะเห็นได้ว่าในอาหารเลี้ยงเซลล์ก่อนทำให้บริสุทธิ์นั้น มีความเข้มข้นของโปรตีนมากกว่าหลังทำให้บริสุทธิ์ เนื่องจากในอาหารเลี้ยงเซลล์นั้นมีการเติมซีรัมเพื่อช่วยในการเจริญเติบโตของเซลล์ จึงทำให้มีโปรตีนมากมายปนอยู่ในอาหารเลี้ยงเซลล์ แต่เมื่ออาหารเลี้ยงเซลล์ผ่านการทำให้บริสุทธิ์แล้ว จะเหลือแต่โปรตีนหรือแอนติบอดีที่จำเพาะต่อโปรตีนจีในคอลัมน์เท่านั้น ส่วนโปรตีนชนิดอื่นๆที่ไม่จำเพาะกับโปรตีนจีในคอลัมน์ก็จะถูกกำจัดไป

การหาปริมาณแอนติบอดีในรูปของ IgG หลังทำให้บริสุทธิ์ตามวิธีของ Johnstone และ Thrope (1987) จากการวัดความยาวคลื่นที่ 280 นาโนเมตร โดยอาศัยหลักการที่ว่า ในโมเลกุลของแอนติบอดีมีกรดอะมิโน tyrosine และ tryptophan ที่สามารถดูดกลืนแสงที่ความยาวคลื่น 280 นาโนเมตรได้ จึงสามารถนำมาคำนวณหาความเข้มข้นของแอนติบอดีได้ พบว่ามีความเข้มข้นของแอนติบอดี 0.61 มิลลิกรัมต่อมิลลิลิตร จากนั้นหาปริมาณแอนติบอดีที่อยู่ในอาหารเลี้ยงเซลล์ก่อนทำให้บริสุทธิ์ด้วยวิธี indirect ELISA โดยนำค่าการดูดกลืนแสงที่ได้มาเปรียบเทียบกับกราฟมาตรฐานของแอนติบอดีที่สร้างจากแอนติบอดีที่ทำให้บริสุทธิ์และทราบความเข้มข้นแล้ว (ภาพที่ ก.2, ภาคผนวก ก) พบว่าในอาหารเลี้ยงเซลล์ก่อนทำให้บริสุทธิ์มีความเข้มข้นของแอนติบอดี 0.135 มิลลิกรัมต่อมิลลิลิตร (ตารางที่ ก.10, ภาคผนวก ก) นำค่าปริมาณโปรตีนและแอนติบอดีที่ได้มาคำนวณหา % recovery และคำนวณเป็นค่าความบริสุทธิ์ (% purity) ของแอนติบอดีในโปรตีนทั้งหมด พบว่ามีค่าเท่ากับ 10.16% และ 68% ตามลำดับ ดังตารางที่ 4.13 เนื่องจากในขั้นตอนการไหลดอาหารเลี้ยงเซลล์ผ่านคอลัมน์ได้ทำการปรับอัตราการไหลไว้เร็ว

เกินไป คาดว่าแอนติบอดีที่อยู่ในอาหารเลี้ยงเซลล์จึงไม่สามารถจับกับโปรตีนที่อยู่ในคอลัมน์ได้ทัน จึงทำให้สูญเสียแอนติบอดีบางส่วนไป มีผลทำให้ได้ %recovery ค่อนข้างต่ำ

ตารางที่ 4.9 ผลสรุปของการทำโมโนโคลนอลแอนติบอดีจากโคลน AFM₁-9 ให้บริสุทธิ์

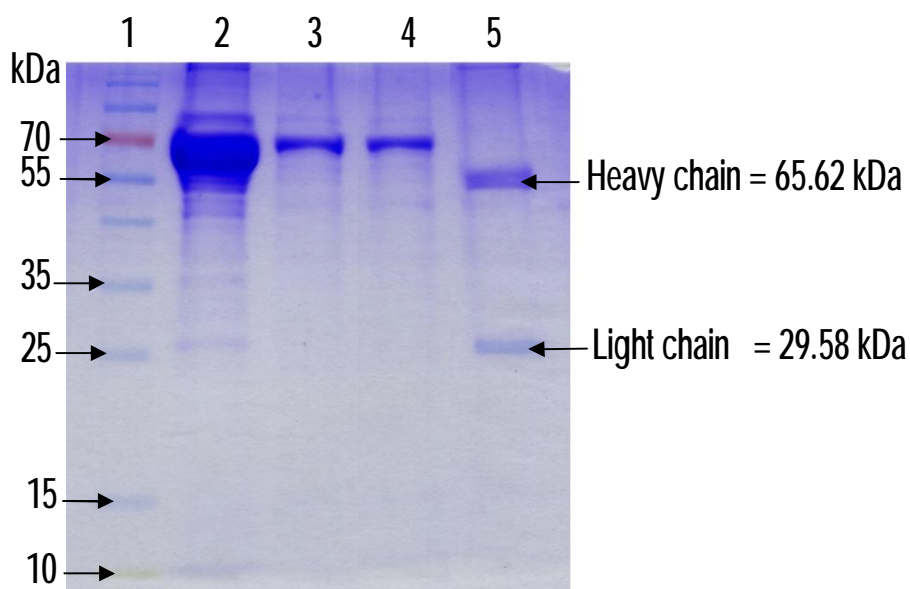
| การทำ ให้ บริสุทธิ์ | ปริมาณ (ml) | ปริมาณโปรตีน | | ปริมาณแอนติบอดี | | %recovery | %purity |
|---------------------------|----------------|------------------------|-------------|------------------------|-------------|-----------|---------|
| | | ด้วยวิธี BCA | | ด้วยวิธี ELISA | | | |
| | | ความเข้มข้น (mg/ml) | รวม (mg) | ความเข้มข้น (mg/ml) | รวม (mg) | | |
| ก่อน | 400 | 4.238 | 1,695.2 | 0.135 | 54 | - | 3 |
| หลัง | 9 | 0.897 | 8.073 | 0.61 | 5.49 | 10.16 | 68 |

4.4.3 การตรวจสอบความบริสุทธิ์และหามวลโมเลกุลของโมโนโคลนอลแอนติบอดีหลังจากทำให้บริสุทธิ์

การหามวลโมเลกุลของโมโนโคลนอลแอนติบอดี AFM₁-9 ภายหลังจากการทำให้บริสุทธิ์ เพื่อวิเคราะห์ว่าแอนติบอดีที่เตรียมได้มีความบริสุทธิ์มากน้อยเพียงใด มีโปรตีนชนิดอื่นปะปนอยู่หรือไม่ ด้วยวิธี SDS-PAGE ซึ่งเป็นวิธีแยกโปรตีนตามขนาด เมื่อพิจารณาแถบโปรตีนที่เกิดขึ้นของโมโนโคลนอลแอนติบอดีระหว่างก่อน และหลังทำให้บริสุทธิ์ จะเห็นว่าอาหารเลี้ยงเซลล์ก่อนทำให้บริสุทธิ์นั้นจะมีโปรตีนจากซีรัมปนอยู่มากมาย ทำให้เห็นเป็นแถบเข้มที่ระยะทางเดียวกับช่องที่ 2 แต่เมื่อนำอาหารเลี้ยงเซลล์นี้มาทำให้บริสุทธิ์แล้ว โปรตีนชนิดอื่นๆ เหล่านั้นจึงถูกกำจัดไป โดยช่องโมโนโคลนอลแอนติบอดีผ่านการทำให้บริสุทธิ์แล้วจะพบแถบโปรตีน 2 แถบ เนื่องจากในการทำ SDS-PAGE มีการเติมสาร 2-mercaptoethanol เข้าไปด้วย ซึ่งสารนี้จะเข้าไปตัดพันธะไดซัลไฟด์ในโมเลกุลของแอนติบอดี ทำให้โปรตีนสายยาว (heavy chain) และโปรตีนสายสั้น (light chain) แยกออกจากกัน

มวลโมเลกุลของโมโนโคลนอลแอนติบอดีนั้นหาได้จาก การหาความสัมพันธ์ของค่าลอการิทึมของน้ำหนักโมเลกุลกับระยะทางการเคลื่อนที่ (Relative mobility; R_f) ของโปรตีนมาตรฐาน (ภาพที่ ก.3, ภาคผนวก ก) แล้วนำระยะทางการเคลื่อนที่ของโปรตีนสายสั้น และโปรตีน

สายยาวไปเทียบกับกราฟความสัมพันธ์ระหว่างระยะทางการเคลื่อนที่กับมวลโมเลกุลของโปรตีนมาตรฐาน จากการหามวลของโมโนโคลนอลแอนติบอดี **AFM₁-9** พบว่า มวลโมเลกุลของโปรตีนสายยาว (H) และสายสั้น (L) เท่ากับ **65.62** และ **29.58** กิโลดาลตัน ตามลำดับ ดังแสดงในรูปแบบที่ **4.14** และตารางที่ **4.14**



ภาพที่ **4.14** แสดงแถบโปรตีนของโมโนโคลนอลแอนติบอดี **AFM₁-9** หลังจากทำให้บริสุทธิ์โดยวิธี **SDS-PAGE**

โดยช่องที่ **1** คือ โปรตีนมาตรฐาน

2 ซีรัม (FCS)

3 อาหารเลี้ยงเซลล์ RPMI ที่เติม 10% FCS

4 อาหารเลี้ยงเซลล์ **AFM₁-9** ก่อนทำให้บริสุทธิ์

5 อาหารเลี้ยงเซลล์ **AFM₁-9** หลังทำให้บริสุทธิ์

ตารางที่ 4.10 ผลของการหามวลโมเลกุลของโมโนโคลนอลแอนติบอดี AFM₁-9 หลังจากทำให้บริสุทธิ์ด้วยเทคนิค SDS-PAGE

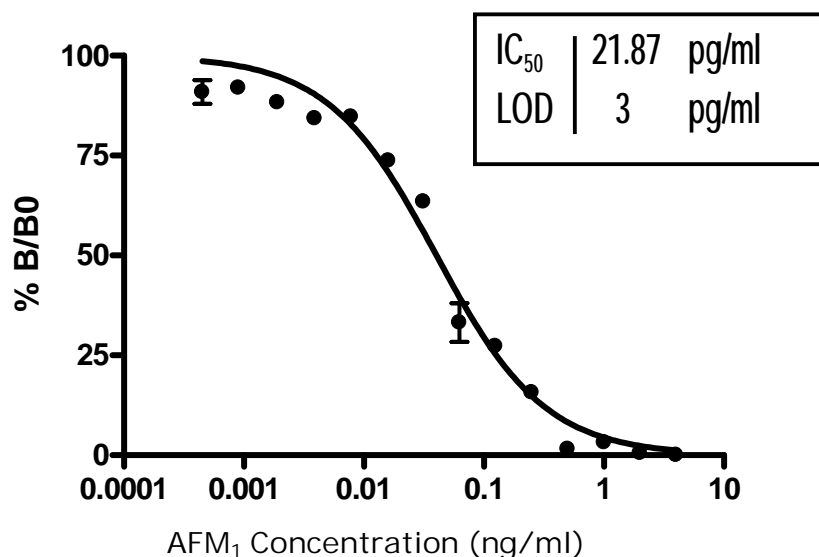
| ตัวอย่าง | มวลโมเลกุล (kDa) | Relative mobility (R _f) |
|---|---------------------|-------------------------------------|
| โปรตีนมาตรฐาน | | |
| 1 | 170 | 0.02 |
| 2 | 130 | 0.04 |
| 3 | 100 | 0.08 |
| 4 | 70 | 0.15 |
| 5 | 55 | 0.22 |
| 6 | 44 | 0.31 |
| 7 | 35 | 0.44 |
| 8 | 25 | 0.58 |
| 9 | 15 | 0.88 |
| 10 | 10 | 1 |
| โมโนโคลนอลแอนติบอดี AFM ₁ -9 | | |
| Heavy chain | 65.62 | 0.24 |
| Light chain | 29.58 | 0.55 |

4.5 การทดสอบความไวของโมโนโคลนอลแอนติบอดีหลังทำให้บริสุทธิ์

4.5.1 การทดสอบความไวของโมโนโคลนอลแอนติบอดีหลังทำให้บริสุทธิ์

จากการหาความเข้มข้นที่ของแอนติบอดีทำให้บริสุทธิ์แล้วจากโคลน AFM₁-9 ที่เหมาะสมกับแอนติเจน AFM₁-BSA ที่ใช้เคลือบกันหลุมที่มีความเข้มข้น 0.2 ไมโครกรัมต่อมิลลิเมตร ด้วยวิธี indirect ELISA โดยจะเลือกความเข้มข้นของแอนติบอดีที่ทำให้ค่าการดูดกลืนแสงที่ 450 นาโนเมตรมีค่าใกล้เคียง 1.000 ซึ่งความเข้มข้นของแอนติบอดีที่ทำให้บริสุทธิ์แล้วที่เหมาะสมอยู่ที่ 40 นาโนกรัมต่อมิลลิเมตร (ตารางที่ ก.12, ภาคผนวก ก)

นำแอนติบอดีจากโคลน AFM_1-9 ที่ทำให้บริสุทธิ์แล้วมาทำการทดสอบความไวต่อ AFM_1 ในรูปอิมมูโนแอสซายด้วยวิธี **indirect competitive ELISA** ได้ผลดังรูปที่ 4.15 (ตารางที่ ก.13, ภาคผนวก ก) พบว่ามีค่า IC_{50} เท่ากับ **21.87** พิโคกรัมต่อมิลลิลิตร และมีค่า **LOD** เท่ากับ **3** พิโคกรัมต่อมิลลิลิตร



ภาพที่ 4.15 ความสัมพันธ์ระหว่างอัตราส่วนการดูดกลืนแสงและปริมาณ AFM_1 ในการแข่งขันเมื่อทดสอบด้วย **indirect competitive ELISA** โดยใช้ AFM_1 -BSA ความเข้มข้น 0.2 ไมโครกรัมต่อมิลลิลิตรเคลือบที่ก้นหลุมและโมโนโคลนอลแอนติบอดีจากโคลน AFM_1-9 หลังจากทำให้บริสุทธิ์ ความเข้มข้น 40 นาโนกรัมต่อมิลลิลิตร

เมื่อเปรียบเทียบความไวของแอนติบอดีจากโคลน AFM_1-9 ต่อ AFM_1 ระหว่างก่อนและหลังทำให้บริสุทธิ์ พบว่า แอนติบอดีจากโคลน AFM_1-9 หลังทำให้บริสุทธิ์มีความไวต่อ AFM_1 ไกล่เคียงกับค่าเดิม ดังตารางที่ 4.15

ตารางที่ 4.11 การเปรียบเทียบความไวของโมโนโคลนอลแอนติบอดีจากโคลน AFM_1-9 ต่อ AFM_1 ระหว่างก่อนและหลังทำให้บริสุทธิ์ ด้วยวิธี **indirect competitive ELISA**

| แอนติบอดี | IC_{50} (pg/ml) | LOD (pg/ml) |
|--------------------|----------------------|----------------|
| ก่อนทำให้บริสุทธิ์ | 16.70 | 5 |
| หลังทำให้บริสุทธิ์ | 21.87 | 3 |

จากผลการทดลองหาความไวของโมโนโคลนอลแอนติบอดีจากโคลน **AFM₁-9** ที่มีความจำเพาะต่อ **AFM₁** ในรูปอิสระ โดยให้ค่าความเข้มข้นของสารที่ต่ำที่สุดที่สามารถตรวจวัดได้ (**LOD**) ต่ำกว่าค่าที่คณะกรรมการยุโรป (**European Commission**) ได้กำหนดไว้ ว่าให้มีปริมาณของ **AFM₁** ในน้ำนมและผลิตภัณฑ์นมสำหรับเด็กทารกได้ไม่เกิน **0.05** นาโนกรัมต่อมิลลิลิตร (**50** พิโคกรัมต่อมิลลิลิตร) และ **0.025** นาโนกรัมต่อมิลลิลิตร (**25** พิโคกรัมต่อมิลลิลิตร) ตามลำดับ ดังนั้นโมโนโคลนอลแอนติบอดีจากโคลน **AFM₁-9** จึงเหมาะสมในการนำไปพัฒนาเป็นชุดตรวจสอบ **AFM₁** โดยวิธี **ELISA** ต่อไปได้

บทที่ 5

สรุปผลการวิจัย และข้อเสนอแนะ

สรุปผลการวิจัย

จากการฉีดกระตุ้นหนูไมซ์ทั้งหมด 5 ตัว ด้วยแอนติเจน **AFM₁-BSA** พบว่าหนูทั้ง 5 ตัวมีการตอบสนองต่อแอนติเจนที่ฉีดเข้าไปดีมาก โดยให้ระดับแอนติบอดีอยู่ในช่วง **8,192,000** ถึง **32,768,000** หลังจากนั้นทำการทดสอบความจำเพาะของแอนติบอดีในซีรัมต่อ **AFM₁** ในรูปอิสระเพื่อยืนยันว่าแอนติบอดีที่ได้นั้นสามารถจับกับ **AFM₁** ได้ จากการทดสอบพบว่าแอนติบอดีในซีรัมจากหนูทั้ง 5 ตัวสามารถจับกับ **AFM₁** ในรูปอิสระที่ความเข้มข้น 2 ไมโครกรัมต่อมิลลิลิตรได้ โดยมีเปอร์เซ็นต์การแข่งขันในการทำปฏิกิริยากับ **AFM₁** ในรูปอิสระอยู่ในช่วง **52.97-85.87 %** เมื่อตรวจพบแอนติบอดีที่มีความจำเพาะกับ **AFM₁** แล้วจึงทำการหลอมรวมเซลล์ม้ามของหนูกับเซลล์มัยอีโลมา โดยการหลอมรวมเซลล์ของหนูตัวที่ **1-3** ใช้เซลล์มัยอีโลมา **SP2/0** พบว่าเซลล์ไฮบริโดมาที่ได้มีความสามารถในการผลิตแอนติบอดีที่จำเพาะต่อ **AFM₁-BSA** ที่ใช้เคลือบพื้นหลุม แต่ไม่สามารถจับกับ **AFM₁** อิสระจากการทำ **indirect competitive ELISA** จึงไม่นำมาใช้ในการวิจัยต่อไป และการหลอมรวมเซลล์ของหนูตัวที่ **4-5** ใช้เซลล์มัยอีโลมา **P3X** พบว่าจากการหลอมรวมเซลล์ครั้งที่ 5 ได้เซลล์ไฮบริโดมาที่จำเพาะต่อ **AFM₁** จำนวน 5 โคลน ได้แก่ **AFM₁-1, AFM₁-3, AFM₁-9, AFM₁-15** และ **AFM₁-17** จากนั้นทำการศึกษาลักษณะสมบัติเบื้องต้นของโมโนโคลนอลแอนติบอดีที่ได้ จากการทดสอบไอโซไทป์ของโมโนโคลนอลแอนติบอดีจากทั้ง 5 โคลน โดยวิธี **indirect ELISA** พบว่าโมโนโคลนอลแอนติบอดีทั้ง 5 โคลน มีไอโซไทป์เป็น **IgG₁** เมื่อทดสอบความไวของ โมโนโคลนอลแอนติบอดี โดยใช้ **AFM₁** ในรูปอิสระเป็นตัวแข่งขัน พบว่าโมโนโคลนอลแอนติบอดีโคลน **AFM₁-1, AFM₁-3, AFM₁-9, AFM₁-15** และ **AFM₁-17** ให้ค่า **IC₅₀** เท่ากับ **39.8, 35.8, 16.7, 28.3** และ **22.3** พิโคกรัมต่อมิลลิลิตร ตามลำดับ และให้ค่า **LOD** เท่ากับ **16, 15, 5, 7** และ **8** พิโคกรัมต่อมิลลิลิตร ตามลำดับ จากนั้นทำการศึกษาความจำเพาะของโมโนโคลนอลแอนติบอดีโดยการทดสอบปฏิกิริยาค้างกับสารในกลุ่มอะฟลาทอกซิน และสารนอกกลุ่ม พบว่าโมโนโคลนอลทั้ง 5 โคลน เกิดปฏิกิริยาค้างกับสารในกลุ่มอะฟลาทอกซินทั้งสองชนิด คือ **AFB₁** และ **AFG₁** แต่ไม่เกิดปฏิกิริยาค้างกับสารนอกกลุ่ม ผลจากการทดสอบความไวของโมโนโคลนอลแอนติบอดีที่ได้ พบว่าโมโนโคลนอลแอนติบอดี **AFM₁-9** มีความไวมากที่สุด จึงนำมาทำให้บริสุทธิ์ด้วยวิธีโครมาโทกราฟีแบบสัมพรรคภาพโดยใช้โปรตีนจีเซฟาโรสคอลัมน์ พบว่าโมโนโคลนอลแอนติบอดีที่ทำให้บริสุทธิ์แล้วจะมีปริมาณแอนติบอดีเท่ากับ **0.61** มิลลิกรัมต่อมิลลิลิตร ซึ่งมีความบริสุทธิ์เพิ่มขึ้นเป็น **68** เปอร์เซ็นต์ จากนั้นทำการทดสอบความบริสุทธิ์และมวลโมเลกุลของ

โมโนโคลนอลแอนติบอดีที่ผ่านการทำให้บริสุทธิ์แล้ว ด้วยวิธี SDS-PAGE พบว่าโมโนโคลนอลแอนติบอดีที่ได้มีความบริสุทธิ์ และมวลโมเลกุลของโมโนโคลนอลแอนติบอดี AFM₁-9 ของโปรตีนสายยาว และสายสั้น เท่ากับ 65.62 และ 29.58 กิโลดาลตัน ตามลำดับ เมื่อแอนติบอดีที่ได้มีความบริสุทธิ์แล้วจึงนำมาทดสอบความไวอีกครั้งเพื่อเปรียบเทียบกับความไวของแอนติบอดีก่อนทำให้บริสุทธิ์ พบว่า โมโนโคลนอลแอนติบอดี AFM₁-9 มีความไวต่อ AFM₁ ใกล้เคียงกับค่าเดิม โดยให้ค่า IC₅₀ และ LOD เท่ากับ 21.87 และ 3 พิโคกรัมต่อมิลลิลิตร ตามลำดับ

จากงานวิจัยนี้พบว่า โมโนโคลนอลแอนติบอดี AFM₁-9 มีความจำเพาะต่อ AFM₁ ในรูปอิสระ โดยความไวของแอนติบอดีที่ได้มีค่าต่ำกว่าค่าที่คณะกรรมการยุโรป (European Commission) ได้กำหนดไว้ ว่าให้มีปริมาณของ AFM₁ ในน้ำนมและผลิตภัณฑ์นมสำหรับเด็กทารกได้ไม่เกิน 0.05 นาโนกรัมต่อมิลลิลิตร (50 พิโคกรัมต่อมิลลิลิตร) และ 0.025 นาโนกรัมต่อมิลลิลิตร (25 พิโคกรัมต่อมิลลิลิตร) ตามลำดับ ดังนั้นโมโนโคลนอลแอนติบอดีจากโคลน AFM₁-9 สามารถนำไปพัฒนาเป็นชุดตรวจสอบ AFM₁ ที่พบในน้ำนม โดยวิธีทางภูมิคุ้มกันวิทยาต่อไปได้

ข้อเสนอแนะ

เนื่องจากโมโนโคลนอลแอนติบอดี AFM₁-9 นี้เกิดปฏิกิริยาข้ามกับสารในกลุ่มอะฟลาทอกซิน ได้แก่ AFB₁ และ AFG₁ ค่อนข้างสูง ดังนั้นโมโนโคลนอลแอนติบอดี AFM₁-9 นี้ จึงเหมาะสมที่จะนำมาพัฒนาเป็นชุดตรวจสอบสารพิษในกลุ่มอะฟลาทอกซิน (generic test) ที่ปนเปื้อนในวัตถุดิบอาหารสัตว์

ขั้นตอนต่อไปควรนำแอนติบอดีที่ได้มาศึกษาหาสภาวะที่เหมาะสมสำหรับการตรวจวิเคราะห์สารในกลุ่มอะฟลาทอกซิน เช่น วิธีสกัดสารออกจากตัวอย่าง ปริมาณแอนติเจนและแอนติบอดีที่เหมาะสม เป็นต้น เพื่อเพิ่มความไว และความสะดวกในการใช้งานของชุดตรวจสอบในการตรวจวิเคราะห์ตัวอย่าง

รายการอ้างอิง

ภาษาไทย

คณิงนิจ ก่อธรรมฤทธิ์. 2545. ความปลอดภัยของอาหารสัตว์. วารสารข่าวปศุสัตว์ 25(212) : 16-9.

คณิงนิจ ก่อธรรมฤทธิ์ และอดิศักดิ์ เล็บนาค. 2538. ผลการตรวจสอบสารพิษอะฟลาทอกซินในสัตว์.

สาส์นไก่และการเกษตร 43(10) : 47-53.

ชัยวัฒน์ วิฑูระกุล, นัฐวุฒิ อินคำเชื้อ และวิชาญ สุขประเสริฐ. 2551. การปนเปื้อนอะฟลาทอกซินในอาหารโคนมและนมโคในฟาร์มโคนมจังหวัดลำพูน.ข่าวสุขภาพสัตว์ภาคเหนือ 16(4) : 44-50.

เบญจมาศ มโหสถนันท์. 2543. การปนเปื้อนของสารพิษเชื้อราอะฟลาทอกซินในน้ำนม. การแก้ปัญหาอะฟลาทอกซินในอาหารโคนมตามโครงการแก้ปัญหาอะฟลาทอกซินในอาหารและอาหารสัตว์แบบครบวงจรในส่วนรับผิดชอบของกรมปศุสัตว์ ปีงบประมาณ 2539-2543. กองควบคุมคุณภาพอาหารสัตว์ กรมปศุสัตว์ : 161-166.

เบญจมาศ มโหสถนันท์. 2544. การหาชนิดวัตถุอาหารสัตว์ที่ใช้ผสมในอาหารชั้น และชนิดของอาหารหยাবสำหรับเลี้ยงโคนมที่มีผลกระทบต่ออัตราการขับออกของสารพิษอะฟลาทอกซินทางน้ำนมของแม่โครีดนม. การสัมมนาเรื่องการแก้ปัญหาอะฟลาทอกซินในอาหารและอาหารสัตว์แบบครบวงจร. ชลบุรี.

ประพฤษ ตั้งมันคง และ ปกรณ์ จาละ. 2549. การตรวจหาสารพิษจากเชื้อรา (Mycotoxins) งานตรวจหาสารพิษจากเชื้อรา. นครปฐม: คณะสัตวแพทยศาสตร์ มหาวิทยาลัยเกษตรศาสตร์ กำแพงแสน.

ไพศาล สิทธิกรกุล. 2548. วิทยานิพนธ์ฉบับนี้ สำหรับการเรียนการสอนและการวิจัย. กรุงเทพมหานคร : ศูนย์สื่อเสริมกรุงเทพ.

มาลินี ลิ้มโกคา. 2527. พิษวิทยาและปัญหาที่พบในสัตว์. กรุงเทพมหานคร: โรงพิมพ์จักรลสนิทวงศ์.

วิทยา สังข์ทอง. **2543.** การปนเปื้อนของสารพิษเชื้อราอะฟลาทอกซินในน้ำมัน. การแก้ปัญหาอะฟลาทอกซินในอาหารโคนมตามโครงการแก้ปัญหาอะฟลาทอกซินในอาหาร และอาหารสัตว์แบบครบวงจรในส่วนรับผิดชอบของกรมปศุสัตว์ ปีงบประมาณ **2539-2543.** กองควบคุมคุณภาพอาหารสัตว์ กรมปศุสัตว์ : **123-129.**

ศุภกิจ อังศุภากร. **2526.** ผลของอะฟลาทอกซินต่อสุขภาพของคนและสัตว์ในประเทศไทย. สัตวแพทยสาร **34(3) : 285-303.**

สุทธิพร พิริยานน. **2543.** การปนเปื้อนของเชื้อราในอาหารสัตว์. การแก้ปัญหาอะฟลาทอกซินในอาหารโคนมตาม โครงการแก้ปัญหาอะฟลาทอกซินในอาหารและอาหารสัตว์แบบครบวงจรในส่วน รับผิดชอบของกรมปศุสัตว์ ปีงบประมาณ **2539-2543.** กองควบคุมคุณภาพอาหารสัตว์กรมปศุสัตว์ : **158-160.**

สุทธิพันธ์ สารสมบัติ. **2541.** อิมมูโนวิทยา. พิมพ์ครั้งที่ **4.** กรุงเทพมหานคร: พรินต์โพร.

สำนักงานคณะกรรมการอาหารและยา. **2529.** ประกาศกระทรวงสาธารณสุข ฉบับที่ 98 เรื่องมาตรฐานอาหารที่มีสารปนเปื้อน. ประกาศกระทรวงสาธารณสุข ตามพระราชบัญญัติอาหาร พ.ศ. **2522.**

อนงค์ บิณฑวิหค. **2546.** สารพิษจากเชื้อรา : อะฟลาทอกซิน. พิมพ์ครั้งที่ **1.** กรุงเทพมหานคร: โรงพิมพ์แห่งจุฬาลงกรณ์มหาวิทยาลัย.

ภาษาอังกฤษ

Abcam. An explanation and description of the different structural elements of an antibody [Online] Available from: <http://www.abcam.com/index.html?pageconfig=resource&rid=11258&pid=11287> [2001, August 15]

Badea, M., Micheli, L., Messia, M. C., Candigliota, T., Marconi, E., Mottram, T., Velasco-Garcia, M., Moscone, D and Palleschi, G. 2004. Aflatoxin M₁ determination in raw milk using a flow-injection immunoassay system. Analytica Chimica Acta 520 : 141-148.

Cavaliere, C., Foglia, P., Guarini, C., Marzioni, F., Nazzari, M., Samperi, R., and Lagana, A. 2006. Aflatoxin M₁ determination in cheese by liquid chromatography-tandem mass spectrometry. Journal of Chromatography 1135 : 135-141.

Cathey, C. G., Huang, A. G., Sarr, A. B., Clement, B. A and Phillips, T. D. 1994. Development and evaluation of a minicolumn assay for the detection of aflatoxin M₁ in milk. Journal of Dairy Science 77 : 1223-1231.

Creepy, E. E. 2002. Update of survey, regulation and toxic effects of mycotoxins in Europe. Toxicology Letters 127 : 19-28.

Curits, L.R. and Zhang, Q. 1995. Temperature modulated incidence of aflatoxin B₁-initiated liver cancer in rainbow trout. Fundamental and Applied Toxicology 25 : 146-159.

Diaz, S., Dominguez, L., Prieta, J., Blanco, J. L., and Moreno, M. A. 1995. Application of a diphasic dialysis membrane produce for surveying occurrence of aflatoxin M₁ in commercial milk. Journal of Agricultural and Food Chemistry 43 : 2678-2680.

European Commission Regulation, No. 683/2004/EC of 13 April 2004, Amending Regulation (EC) No. 466/2001 as Regards Aflatoxins and Ochratoxin A in Foods for Infants and Young Children, Official Journal of European Communities L106 : 3-5.

- Gallagher, E. P., and Eaton, D. L. 1995. In vitro biotransformation of aflatoxin B₁ in channel catfish liver. Toxicology and Applied Pharmacology 132 : 82-90.
- Goryacheva, I. Y., Karagusheva, M. A., Peteghem, C. V., and Sibanda, L. 2009. Immunoaffinity pre-concentration combined with on-column visual detection as a tool for rapid aflatoxin M₁ screening in milk. Food Control 20 : 802-806.
- Gulvano, F., Ritieni, A., Piva, G., and Pietie, A. 2005. A mycotoxin in the human food chain. In D. E. Diaz (Ed.), Mycotoxins blue book : 187-224.
- Heathcote, J. G. 1984. Aflatoxin and related toxins. In V. Betina (Ed.), Mycotoxins-production, Isolation, Separation and Purification. Amsterdam: Elsevier.
- Keith, W., and Walker, J. 2005. Principle and Techniques of Biochemistry and Molecular Biology. Cambridge University: 295.
- Kim, E. K., Shon, D. H., Ryu, D., Park, J. W., Hwang, H. J., and Kim, Y. B. 2000. Occurrence of aflatoxin M₁ in Korean dairy products determined by ELISA and HPLC. Food Additives and Contaminants 17 : 59-64.
- Lee, J. E., Kwak, B. M., Ahn, J. H., and Jeon, T. H. 2009. Occurrence of aflatoxin M₁ in raw milk in South Korea using an immunoaffinity column and liquid chromatography. Food Control 20 : 136-138.
- Lillehoj, E. B. 1983. Effect of environment and cultural factors on aflatoxin contamination of developing corn Kernel. In U.L. Diener, R.L. Asquith and J.W. Dickens (eds), Aflatoxin and Aspergillus Flavus in corn. Alabama: 279.
- Manetta, A.C., Giammarco, M., Giuseppe, L.D., Gramenzi, A., Formigoni, A., and Lambertini, L. 2009. Distribution of aflatoxin M₁ during Grana Padano cheese production from naturally contaminated milk. Food Chemistry 113 : 595-599.

- Micheli, L., Grecco, R., Badea, M., Moscone, D., and Palleschi, G. 2005. An electrochemical immunosensor for aflatoxin M₁ determination in milk using screen-printed electrodes. Biosensors and Bioelectronics 21 : 588-596.
- Midlands Technical College. B-Cells and Humoral Immunity [Online]. Available from: <http://classes.midlandstech.edu/carterp/Courses/bio225/chap17/Lecture3.htm> [2001, August 15]
- Patricia, A. M., Hendrich, S., Langren, C. and Bryant, C. M. 2006. Food mycotoxins: An update. Journal of Food Science 71 : 51-65.
- Pei, S. C., Zhang, Y. Y., Eremin, S. A., and Lee, W. J. 2009. Detection of aflatoxin M₁ in milk products from China by ELISA using monoclonal antibodies. Food Control 20 : 1080-1085.
- Phoenix collage. Chapter15: The Specific Immune System [Online]. Available from: http://www.pc.maricopa.edu/Biology/rcotter/BIO%20205/LessonBuilders/Chapter%2015%20LB/Ch15LessonBuilder_print.html [2011, July 24]
- Radoi, A., Targa, M., Prieto-Simon, B., and Marty, J. L. 2008. Enzyme-linked immunosorbent assay (ELISA) based on superparamagnetic nanoparticles for aflatoxin M₁ detection. Talanta 77 : 138-143.
- Rastogi, S., Dwivedi, P. D., Khanna, S. K., and Das, M. 2004. Detection of aflatoxin M₁ contamination in milk and infant milk products from Indian markets by ELISA. Food Control 15 : 287-290.
- Reddy, S. V., and Waliyar, F. Properties of aflatoxin and its producing fungi [Online]. 2005. Available from:<http://www.aflatoxin.info/Aflatoxin.asp> [2011, July 24]
- Sahoo, P. K., and Mukherjee, S. C. 2001. Immunosuppressive effect of Aflatoxin B₁ in Indian major carp. Comparative Immunology, Microbiology and Infectious Diseases 24 : 143-149.

- Shundo, L., and Sabino, M. 2006. Aflatoxin M₁ in milk by immunoaffinity column cleanup with TLC/HPLC determination. Brazilian Journal of Microbiology 37 : 164-167.
- Tekinsen, K. K., and Tekinsen, O. C. 2005. Aflatoxin M₁ in white pickle and van otlu (herb) cheeses consumed in southeastern in Turkey. Food Control 16 : 565-568.
- Wilson, D. A., and Payne, G. A. 1994. Factors affecting *Aspergillus flavus* group infection and aflatoxin contamination of crops. In D. L. Eaton and J. D. Groopman (Eds.), The toxicology of aflatoxins. New York Academic Press: 309-326.
- Woychik, N. A., Hinadill, R. D., and Chu, S. F. 1984. Production and characterization of monoclonal antibodies against aflatoxin M₁. Applied and Environmental Microbiology 48 : 1096-1099.
- Yang C, C., Jiun L, W., and Yao P, K. 2005. Determination of aflatoxin M₁ in Milk and milk powder using high-flow solid-phase extraction and liquid chromatography-tandem mass spectrometry. Journal of Agriculture and Food Chemistry 53 : 8474-8480.

ภาคผนวก

ภาคผนวก ก

ตารางที่ ก.1 ค่าการดูดกลืนแสงที่ 450 นาโนเมตรที่ได้จากวิธี indirect ELISA ของซีรัมหนู

| ความเจือจางของซีรัม (เท่า) | หนูตัวที่ | | | | |
|----------------------------|-----------|-------|------|------|-------|
| | 1 | 2 | 3 | 4 | 5 |
| 8,000 | 1.756 | 1.739 | 2.14 | 2.38 | 2.514 |
| 16,000 | 1.753 | 1.728 | 2.19 | 2.29 | 2.625 |
| 32,000 | 1.764 | 1.744 | 2.12 | 2.35 | 2.601 |
| 64,000 | 1.712 | 1.71 | 2.20 | 2.07 | 2.524 |
| 128,000 | 1.573 | 1.699 | 1.93 | 1.69 | 2.495 |
| 256,000 | 1.161 | 1.497 | 1.45 | 1.20 | 2.474 |
| 512,000 | 0.709 | 1.05 | 0.96 | 0.70 | 2.063 |
| 1,024,000 | 0.424 | 0.658 | 0.69 | 0.45 | 1.463 |
| 2,048,000 | 0.265 | 0.383 | 0.41 | 0.28 | 0.914 |
| 4,096,000 | 0.172 | 0.244 | 0.26 | 0.17 | 0.562 |
| 8,192,000 | 0.136 | 0.122 | 0.24 | 0.15 | 0.328 |
| 16,384,000 | - | - | 0.19 | 0.11 | 0.277 |
| 32,768,000 | - | - | - | - | 0.175 |

ตารางที่ ก.2 ค่าการดูดกลืนแสงที่ 450 นาโนเมตรของแอนติบอดีจากโคลน AFM₁-1, AFM₁-3, AFM₁-9, AFM₁-15 และ AFM₁-17 โดยแข่งขันกับ AFM₁ อิสระ ด้วยวิธี indirect competitive ELISA

| AFM ₁ concentration (ng/ml) | A ₄₅₀ รหัสเซลล์ไฮบริโดมา | | | | |
|--|--|---------------------|---------------------|----------------------|----------------------|
| | AFM ₁ -1 | AFM ₁ -3 | AFM ₁ -9 | AFM ₁ -15 | AFM ₁ -17 |
| 0 | 1.696 | 1.717 | 1.199 | 1.748 | 1.546 |
| 0.00048 | 1.871 | 1.672 | 1.150 | 1.739 | 1.624 |
| 0.0009 | 1.812 | 1.739 | 1.131 | 1.772 | 1.638 |
| 0.0019 | 1.836 | 1.612 | 1.103 | 1.752 | 1.606 |
| 0.0039 | 1.735 | 1.856 | 1.075 | 1.716 | 1.543 |
| 0.0078 | 1.680 | 1.697 | 0.945 | 1.428 | 1.253 |
| 0.015 | 1.486 | 1.455 | 0.692 | 1.240 | 1.045 |
| 0.03125 | 1.184 | 1.113 | 0.352 | 0.992 | 0.778 |
| 0.0625 | 0.714 | 0.588 | 0.189 | 0.402 | 0.296 |
| 0.125 | 0.289 | 0.224 | 0.105 | 0.211 | 0.176 |
| 0.25 | 0.153 | 0.133 | 0.079 | 0.124 | 0.108 |
| 0.5 | 0.097 | 0.091 | 0.069 | 0.085 | 0.079 |
| 1 | 0.063 | 0.083 | 0.059 | 0.067 | 0.070 |
| 2 | 0.067 | 0.060 | 0.056 | 0.059 | 0.070 |
| 4 | 0.067 | 0.062 | 0.059 | 0.054 | 0.060 |
| IC ₅₀ (ng/ml) | 0.03984 | 0.03581 | 0.01667 | 0.02831 | 0.0223 |
| LOD (ng/ml) | 0.016 | 0.015 | 0.005 | 0.007 | 0.008 |

ตารางที่ ก.3 ค่าการดูดกลืนแสงที่ 450 นาโนเมตรของแอนติบอดีจากโคลน AFM₁-1, AFM₁-3, AFM₁-9, AFM₁-15 และ AFM₁-17 โดยแข่งขันกับ AFG₁ อีสุระ ด้วยวิธี indirect competitive ELISA

| AFG ₁ concentration (ng/ml) | A ₄₅₀ รหัสเซลล์ไฮบริโดมา | | | | |
|--|--|---------------------|---------------------|----------------------|----------------------|
| | AFM ₁ -1 | AFM ₁ -3 | AFM ₁ -9 | AFM ₁ -15 | AFM ₁ -17 |
| 0 | 1.696 | 1.717 | 1.199 | 1.748 | 1.546 |
| 0.00048 | 1.829 | 1.858 | 1.235 | 1.622 | 1.542 |
| 0.0009 | 1.631 | 1.813 | 1.195 | 1.730 | 1.432 |
| 0.0019 | 1.673 | 1.693 | 1.091 | 1.335 | 1.302 |
| 0.0039 | 1.504 | 1.710 | 1.126 | 1.627 | 1.258 |
| 0.0078 | 1.348 | 1.708 | 0.958 | 1.521 | 1.032 |
| 0.015 | 1.089 | 1.503 | 0.746 | 1.136 | 0.899 |
| 0.03125 | 0.417 | 1.100 | 0.255 | 0.333 | 0.260 |
| 0.0625 | 0.168 | 0.480 | 0.150 | 0.159 | 0.133 |
| 0.125 | 0.099 | 0.168 | 0.104 | 0.095 | 0.098 |
| 0.25 | 0.079 | 0.100 | 0.076 | 0.071 | 0.073 |
| 0.5 | 0.081 | 0.090 | 0.074 | 0.058 | 0.060 |
| 1 | 0.070 | 0.070 | 0.061 | 0.062 | 0.061 |
| 2 | 0.058 | 0.058 | 0.060 | 0.057 | 0.063 |
| 4 | 0.074 | 0.056 | 0.067 | 0.057 | 0.058 |
| IC ₅₀ (ng/ml) | 0.01476 | 0.03408 | 0.01568 | 0.01621 | 0.01247 |
| LOD (ng/ml) | 0.005 | 0.016 | 0.007 | 0.005 | 0.003 |

ตารางที่ ก.4 ค่าการดูดกลืนแสงที่ 450 นาโนเมตรของแอนติบอดีจากโคลน AFM₁-1, AFM₁-3, AFM₁-9, AFM₁-15 และ AFM₁-17 โดยแข่งขันกับ AFB₁ อีสุระ ด้วยวิธี indirect competitive ELISA

| AFB ₁ concentration (ng/ml) | A ₄₅₀ รหัสเซลล์ไฮบริโดมา | | | | |
|--|--|---------------------|---------------------|----------------------|----------------------|
| | AFM ₁ -1 | AFM ₁ -3 | AFM ₁ -9 | AFM ₁ -15 | AFM ₁ -17 |
| 0 | 1.696 | 1.717 | 1.199 | 1.707 | 1.546 |
| 0.00003 | 1.6845 | 1.649 | 1.1125 | 1.661 | 1.548 |
| 0.00006 | 1.6995 | 1.8235 | 1.2225 | 1.6215 | 1.503 |
| 0.00012 | 1.681 | 1.779 | 1.1755 | 1.6545 | 1.4495 |
| 0.00024 | 1.6045 | 1.7515 | 1.1215 | 1.3955 | 1.0855 |
| 0.00048 | 1.536 | 1.675 | 1.139 | 1.249 | 1.168 |
| 0.0009 | 1.446 | 1.575 | 0.922 | 1.018 | 0.713 |
| 0.0019 | 1.224 | 1.177 | 0.568 | 0.435 | 0.300 |
| 0.0039 | 0.813 | 0.565 | 0.170 | 0.121 | 0.132 |
| 0.0078 | 0.168 | 0.262 | 0.131 | 0.262 | 0.186 |
| 0.015 | 0.136 | 0.119 | 0.094 | 0.131 | 0.112 |
| 0.03125 | 0.104 | 0.079 | 0.078 | 0.086 | 0.085 |
| 0.0625 | 0.095 | 0.072 | 0.067 | 0.074 | 0.080 |
| 0.125 | 0.091 | 0.074 | 0.066 | 0.063 | 0.072 |
| 0.25 | 0.082 | 0.064 | 0.065 | 0.055 | 0.070 |
| 0.5 | 0.073 | 0.064 | 0.061 | 0.074 | 0.094 |
| 1 | 0.072 | 0.066 | 0.096 | 0.069 | 0.068 |
| IC ₅₀ (ng/ml) | 0.002982 | 0.002438 | 0.01571 | 0.00089 | 0.001571 |
| LOD (ng/ml) | 0.001 | 0.001 | 0.001 | 0.00024 | 0.00019 |

ตารางที่ ก.5 ค่าการดูดกลืนแสงที่ 450 นาโนเมตรของแอนติบอดีจากโคลน AFM₁-1, AFM₁-3, AFM₁-9, AFM₁-15 และ AFM₁-17 โดยแข่งขันกับสารนอกกลุ่ม AFS ความเข้มข้น 100 นาโนกรัมต่อมิลลิลิตร ด้วยวิธี indirect competitive ELISA

| สารแข่งขัน (100 ng/ml) | A ₄₅₀ | | | | |
|---------------------------|---------------------|---------------------|---------------------|----------------------|----------------------|
| | รหัสเซลล์ไฮบริโดมา | | | | |
| | AFM ₁ -1 | AFM ₁ -3 | AFM ₁ -9 | AFM ₁ -15 | AFM ₁ -17 |
| Mycotoxin | | | | | |
| DON | 1.581 | 1.904 | 1.274 | 1.367 | 1.306 |
| Antibiotics | | | | | |
| Tetracycline | 1.926 | 1.916 | 1.931 | 1.905 | 1.906 |
| Oxytetracycline | 1.896 | 1.910 | 1.909 | 1.884 | 1.902 |
| Chloramphenicol | 1.925 | 1.937 | 1.954 | 1.922 | 1.923 |
| Ciprofloxacin | 1.920 | 1.928 | 1.929 | 1.903 | 1.902 |
| Enrofloxacin | 1.945 | 1.955 | 1.962 | 1.936 | 1.915 |
| Norfloxacin | 1.949 | 1.957 | 1.957 | 1.942 | 1.938 |
| Enoxacin | 1.937 | 1.954 | 1.952 | 1.931 | 1.941 |
| Cinoxacin | 1.935 | 1.970 | 1.964 | 1.935 | 1.914 |
| Nitrofurantoin | 1.883 | 1.905 | 1.914 | 1.867 | 1.862 |

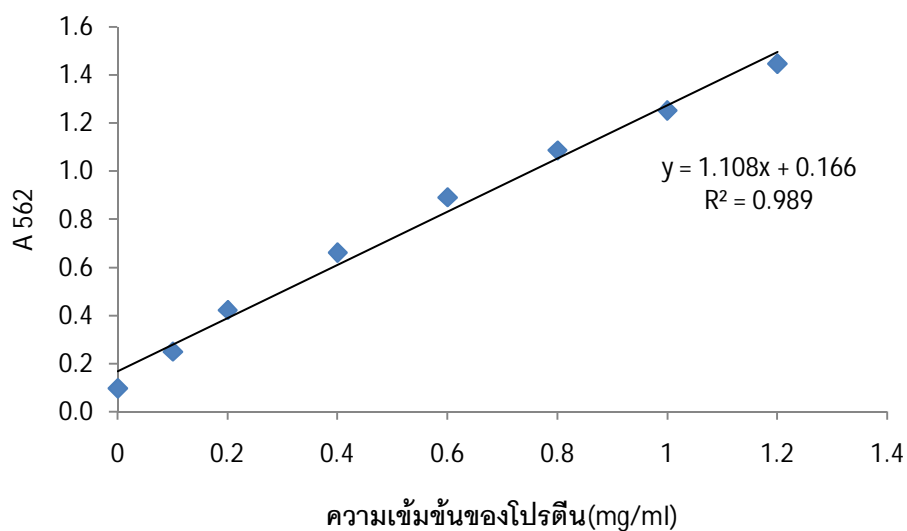
ตารางที่ ก.6 ค่าการดูดกลืนแสงของโปรตีนที่ 280 นาโนเมตร และค่าการดูดกลืนแสงจากการทำ indirect ELISA ที่ 450 นาโนเมตร

| Fraction | A ₂₈₀ | A ₄₉₂ | Fraction | A ₂₈₀ | A ₄₉₂ |
|----------|------------------|------------------|----------|------------------|------------------|
| 1 | 0.247 | 0.323 | 16 | 0.312 | - |
| 2 | 0.257 | - | 17 | 0.288 | - |
| 3 | 0.279 | - | 18 | 0.271 | 0.719 |
| 4 | 0.295 | 0.344 | 19 | 0.268 | - |
| 5 | 0.314 | - | 20 | 0.251 | - |
| 6 | 0.286 | - | 21 | 0.271 | 0.43 |
| 7 | 0.541 | 1.015 | 22 | 0.227 | - |
| 8 | 1.446 | 2.286 | 23 | 0.278 | - |
| 9 | 1.475 | 2.472 | 24 | 0.267 | 0.265 |
| 10 | 1.078 | 2.326 | 25 | 0.248 | - |
| 11 | 0.765 | 2.232 | 26 | 0.208 | - |
| 12 | 0.585 | 1.94 | 27 | 0.243 | 0.227 |
| 13 | 0.501 | 1.638 | 28 | 0.202 | - |
| 14 | 0.43 | - | 29 | 0.216 | - |
| 15 | 0.374 | 1.411 | 30 | 0.211 | 0.224 |

หมายเหตุ เครื่องหมาย - ไม่ได้นำไปทำ indirect ELISA

ตารางที่ ก.7 ค่าการดูดกลืนแสงที่ความยาวคลื่น 562 นาโนเมตร ของสารละลายโปรตีนมาตรฐาน BSA โดยวิธี BCA

| ความเข้มข้นโปรตีน BSA (mg/ml) | A_{562} |
|----------------------------------|-----------|
| 0 | 0 |
| 0.1 | 0.152 |
| 0.2 | 0.325 |
| 0.4 | 0.564 |
| 0.6 | 0.793 |
| 0.8 | 0.989 |
| 1.0 | 1.155 |
| 1.2 | 1.349 |



ภาพที่ ก.1 กราฟมาตรฐานของโปรตีน BSA โดยวิธี BCA

ตารางที่ ก.8 ค่าความเข้มข้นของโปรตีนในแอนติบอดี AFM₁₋₉ ก่อนทำให้บริสุทธิ์ ที่ความยาวคลื่น 562 นาโนเมตร เทียบกับกราฟมาตรฐานโปรตีน BSA โดยวิธี BCA

| Dilution | A ₅₆₂ | | | เฉลี่ย | ความเข้มข้นของโปรตีน (mg/ml) |
|----------------------------|------------------|-------|------|--------|------------------------------|
| | 1 | 2 | 3 | | |
| 1:10 | 0.617 | 0.655 | 0.62 | 0.631 | 4.197 |
| 1:20 | 0.395 | 0.393 | 0.42 | 0.403 | 4.278 |
| ความเข้มข้นของโปรตีนเฉลี่ย | | | | | 4.238 |

ตารางที่ ก.9 ค่าความเข้มข้นของโปรตีนในอาหารเลี้ยงเซลล์หลังทำให้บริสุทธิ์ ที่ความยาวคลื่น 562 นาโนเมตร เทียบกับกราฟมาตรฐานโปรตีน BSA โดยวิธี BCA

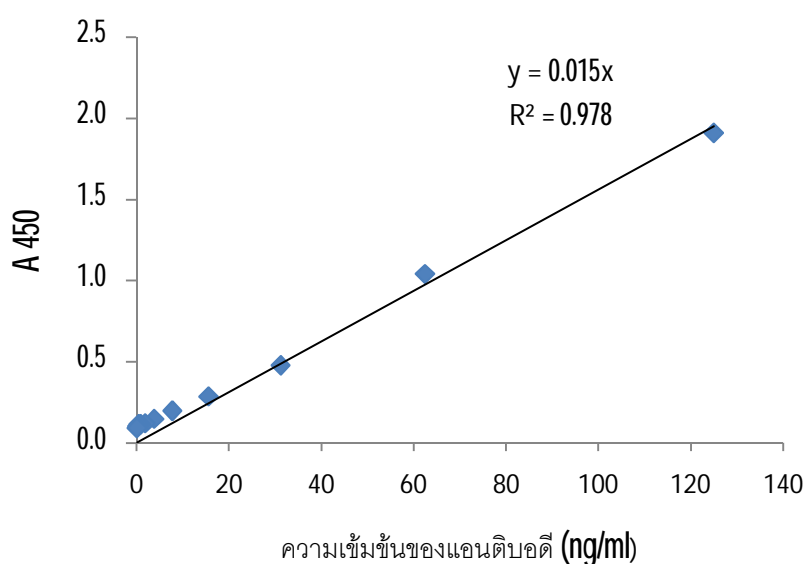
| Dilution | A ₅₆₂ | | | เฉลี่ย | ความเข้มข้นของโปรตีน (mg/ml) |
|----------------------------|------------------|-------|-------|--------|------------------------------|
| | 1 | 2 | 3 | | |
| 0 | 1.135 | 1.119 | 1.225 | 1.160 | 0.897 |
| 1:2 | 0.655 | 0.664 | 0.669 | 0.663 | 0.897 |
| ความเข้มข้นของโปรตีนเฉลี่ย | | | | | 0.897 |

ตารางที่ ก.10 ค่าความเข้มข้นของแอนติบอดีในอาหารเลี้ยงเซลล์หลังทำให้บริสุทธิ์ เมื่อเทียบกับกราฟมาตรฐานของแอนติบอดี

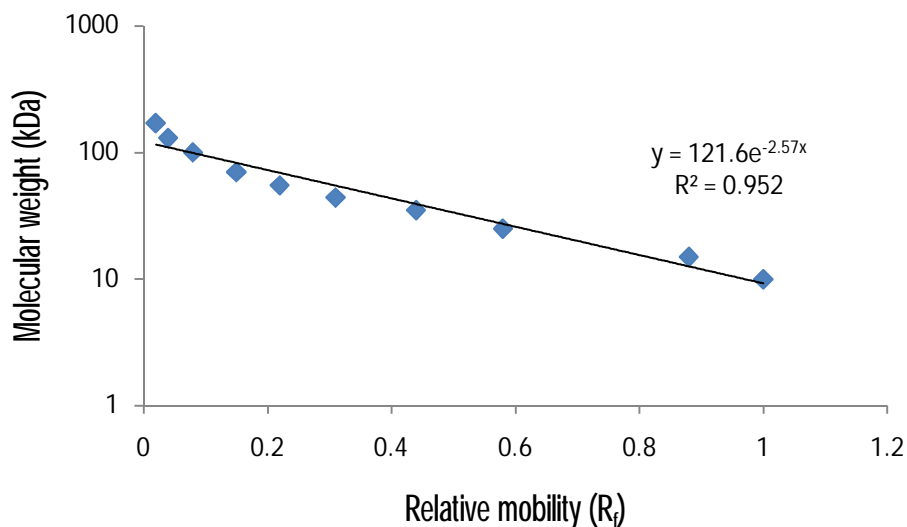
| Dilution | A ₅₆₂ | | เฉลี่ย | ความเข้มข้นของโปรตีน (mg/ml) |
|----------------------------|------------------|-------|--------|------------------------------|
| | 1 | 2 | | |
| 1:1600 | 1.304 | 1.355 | 1.330 | 0.141 |
| 1:3200 | 0.616 | 0.586 | 0.601 | 0.128 |
| ความเข้มข้นของโปรตีนเฉลี่ย | | | | 0.135 |

ตารางที่ ก.11 ค่าความเข้มข้นของแอนติบอดีที่ทำให้ปรีสุทธีแล้ว โดยวิธี indirect ELISA เพื่อนำไปสร้างกราฟมาตรฐานของแอนติบอดี

| ความเข้มข้นของแอนติบอดี (ng/ml) | A_{450} | | เฉลี่ย |
|------------------------------------|-----------|-------|--------|
| | 1 | 2 | |
| 125 | 1.936 | 1.879 | 1.908 |
| 62.5 | 1.045 | 1.033 | 1.039 |
| 31.25 | 0.531 | 0.424 | 0.478 |
| 15.625 | 0.294 | 0.275 | 0.285 |
| 7.81 | 0.2 | 0.194 | 0.197 |
| 3.9 | 0.155 | 0.138 | 0.147 |
| 1.95 | 0.12 | 0.12 | 0.120 |
| 0.976 | 0.117 | 0.111 | 0.114 |
| 0.488 | 0.12 | 0.112 | 0.116 |
| 0.244 | 0.108 | 0.098 | 0.103 |
| 0.122 | 0.091 | 0.091 | 0.091 |



ภาพที่ ก.2 กราฟมาตรฐานของแอนติบอดี โดยวิธี indirect ELISA โดยใช้ AFM₁-BSA ความเข้มข้น 0.2 ไมโครกรัมต่อมิลลิลิตรเคลือบที่ก้นหลุม และแอนติบอดีจากโคลน AFM₁-9 ที่ผ่านการทำให้ปรีสุทธีแล้วในช่วงความเข้มข้น 0.122-125 นาโนกรัมต่อมิลลิลิตร



รูปที่ ก.3 กราฟแสดงความสัมพันธ์ระหว่างค่า R_f กับน้ำหนักโมเลกุล (kDa) ของสารละลายโปรตีนมาตรฐานที่ใช้ในการเปรียบเทียบหาผลโมเลกุลของโมโนโคลนอลแอนติบอดีหลังทำให้บริสุทธิ์ด้วยเทคนิค SDS-PAGE

ตารางที่ ก.12 การหาความเข้มข้นของโมโนโคลนอลแอนติบอดี AFM₁-9 ที่เหมาะสมกับแอนติเจน ความเข้มข้น 0.2 ไมโครกรัม ด้วยวิธี indirect ELISA

| แอนติบอดี (ng/ml) | แอนติเจน AFM ₁ -BSA (0.2 ug/ml) | | | เฉลี่ย |
|-------------------|--|-------|-------|--------|
| | 1 | 2 | 3 | |
| 100 | 2.164 | 2.198 | 2.066 | 2.143 |
| 80 | 1.978 | 1.972 | 1.96 | 1.970 |
| 60 | 1.464 | 1.448 | 1.522 | 1.478 |
| 40 | 0.96 | 0.958 | 0.969 | 0.962 |

ตารางที่ ก.13 ค่าการดูดกลืนแสงที่ 450 นาโนเมตร ของแอนติบอดีจากโคลน AFM₁-9 หลังทำให้
บริสุทธิ์ที่ความเข้มข้น 40 นาโนกรัมต่อมิลลิลิตร โดยวิธี indirect competitive
ELISA

| AFB ₁ concentration (ng/ml) | A ₄₅₀ | | ค่าเฉลี่ย |
|--|--------------------------|-------|-----------|
| | 1 | 2 | |
| 0 | 1.001 | 0.964 | 0.982 |
| 0.00048 | 0.931 | 0.881 | 0.906 |
| 0.0009 | 0.915 | 0.914 | 0.915 |
| 0.0019 | 0.87 | 0.898 | 0.884 |
| 0.0039 | 0.856 | 0.845 | 0.851 |
| 0.0078 | 0.849 | 0.859 | 0.854 |
| 0.015 | 0.771 | 0.751 | 0.761 |
| 0.03125 | 0.669 | 0.681 | 0.675 |
| 0.0625 | 0.461 | 0.38 | 0.421 |
| 0.125 | 0.37 | 0.372 | 0.371 |
| 0.25 | 0.283 | 0.264 | 0.274 |
| 0.5 | 0.152 | 0.156 | 0.154 |
| 1 | 0.17 | 0.166 | 0.168 |
| 2 | 0.148 | 0.143 | 0.146 |
| 4 | 0.149 | 0.133 | 0.141 |
| | IC ₅₀ (ng/ml) | | 0.02187 |
| | LOD (ng/ml) | | 0.003 |

ภาคผนวก ข

การเตรียมสาร

1. การเตรียมสารละลายสำหรับการทดสอบโดยเทคนิค ELISA

1) 0.2 M Phosphate buffer, pH 7.4

| | | |
|---------------------------|-------|------|
| Na_2HPO_4 | 27.60 | กรัม |
|---------------------------|-------|------|

| | | |
|---------------------------|-------|------|
| NaH_2PO_4 | 71.63 | กรัม |
|---------------------------|-------|------|

แต่ละลายในน้ำกลั่น 1 ลิตร แล้วปรับ pH ด้วย NaH_2PO_4 จนได้ pH 7.4

2) 0.01 M Phosphate Buffer Saline (PBS), pH 7.4

| | | |
|----------|---|------|
| PB Stock | 1 | ลิตร |
|----------|---|------|

| | | |
|------|-------|------|
| NaCl | 175.2 | กรัม |
|------|-------|------|

| | | |
|----------|----|------|
| น้ำกลั่น | 18 | ลิตร |
|----------|----|------|

3) 0.05% Tween 20 ใน PBS (PBS-T)

| | | |
|----------|-----|-----------|
| Tween 20 | 500 | ไมโครลิตร |
|----------|-----|-----------|

| | | |
|-----|---|------|
| PBS | 1 | ลิตร |
|-----|---|------|

4) 5% นมพร่องมันเนย

| | | |
|---------------|---|------|
| นมพร่องมันเนย | 5 | กรัม |
|---------------|---|------|

| | | |
|-----|-----|-----------|
| PBS | 100 | มิลลิลิตร |
|-----|-----|-----------|

ละลายนมพร่องมันเนยใน PBS เตรียมใหม่ก่อนใช้

5) 0.2 M Citrate buffer, pH 4.0

| | | |
|-------------------|------|------|
| Potassium citrate | 33.2 | กรัม |
|-------------------|------|------|

| | | |
|-------------|-------|------|
| Citric acid | 21.54 | กรัม |
|-------------|-------|------|

| | | |
|-----------------|---|------|
| ละลายในน้ำกลั่น | 1 | ลิตร |
|-----------------|---|------|

ปรับ pH ด้วย Citric acid ให้ได้ pH 4.0

6) Substrate solution TMB

| | | |
|-----------------------------------|-----|-----------|
| 3,3',5,5'-Tetramethylbenzidine | 3.0 | ไมโครกรัม |
| DMSO | 300 | ไมโครลิตร |
| 0.2 M Citrate buffer | 9.9 | มิลลิลิตร |
| 30% H ₂ O ₂ | 1.2 | ไมโครลิตร |

ผสมให้เข้ากันในขวดสีชา (เตรียมใหม่ทุกครั้งก่อนใช้)

7) 1 M H₂SO₄ (Stopping reagent)

| | | |
|--------------------------------------|-----|-----------|
| H ₂ SO ₄ (96%) | 98 | มิลลิลิตร |
| น้ำกลั่น | 902 | มิลลิลิตร |

ค่อย ๆ เทกรดลงในน้ำกลั่น ผสมให้เข้ากัน (หลังจากเทกรดลงไปใต้น้ำกลั่นอาจเกิดความร้อน ควรนำขวดแช่ในน้ำที่อุณหภูมิห้อง)

3. การเตรียมอาหารเลี้ยงเซลล์

1) Stock 100X HAT

| | | | | | |
|--------------|--------|------|-------------------|----|-----------|
| Hypoxanthine | 0.1361 | กรัม | ละลายด้วยน้ำกลั่น | 20 | มิลลิลิตร |
| Aminopterin | 0.0018 | กรัม | ละลายด้วยน้ำกลั่น | 20 | มิลลิลิตร |
| Thymidine | 0.0388 | กรัม | ละลายด้วยน้ำกลั่น | 20 | มิลลิลิตร |

นำสารละลายแต่ละสารมาผสมกัน แล้วเติมน้ำกลั่นลงไปให้ครบ 100 มิลลิลิตร นำไปกรองด้วย Millipore ขนาด 0.22 ไมโครเมตร แบ่งใส่ขวด ขวดละ 10 มิลลิลิตร แล้วเก็บไว้ที่อุณหภูมิ -20 องศาเซลเซียส
หมายเหตุ Aminopterin อาจละลายได้ยากที่อุณหภูมิห้อง ควรนำไปอุ่นใน water bath ที่อุณหภูมิไม่เกิน 60 องศาเซลเซียสจนกว่าจะละลาย

2) 100X HT

| | | | | | |
|--------------|--------|------|-------------------|----|-----------|
| Hypoxanthine | 0.1361 | กรัม | ละลายด้วยน้ำกลั่น | 20 | มิลลิลิตร |
| Thymidine | 0.0388 | กรัม | ละลายด้วยน้ำกลั่น | 20 | มิลลิลิตร |

นำสารละลายแต่ละสารมาผสมกัน แล้วเติมน้ำกลั่นลงไปให้ครบ 100 มิลลิลิตร นำไปกรองด้วย Millipore ขนาด 0.22 ไมโครเมตร แบ่งใส่ขวด ขวดละ 10 มิลลิลิตร แล้วเก็บไว้ที่อุณหภูมิ -20 องศาเซลเซียส

3) อาหารเลี้ยงเซลล์ RPMI 1640

| | | |
|--------------------|------|------|
| RPMI 1640 | 10.4 | กรัม |
| NaHCO ₃ | 2 | กรัม |
| L-glutamine | 0.1 | กรัม |
| Glucose | 2 | กรัม |
| Pyruvic acid | 0.11 | กรัม |
| น้ำกลั่น | 1 | ลิตร |

ละลายสารทุกอย่างในน้ำกลั่น ผสมให้เข้ากัน แล้วนำไปกรองด้วย Millipore ขนาด 0.22 ไมครอนเมตร แบ่งใส่ขวด ขวดละ 100 มิลลิลิตร แล้วเก็บไว้ที่อุณหภูมิ 4 องศาเซลเซียส

4) อาหารเลี้ยงเซลล์ HT

| | | |
|----------------------------|----|-----------|
| อาหารเลี้ยงเซลล์ RPMI 1640 | 1 | ลิตร |
| HT 100X | 10 | มิลลิลิตร |

ผสมให้เข้ากัน แล้วนำไปกรองด้วย Millipore ขนาด 0.22 ไมครอนเมตร แบ่งใส่ขวด ขวดละ 100 มิลลิลิตร แล้วเก็บไว้ที่อุณหภูมิ 4 องศาเซลเซียส

5) อาหารเลี้ยงเซลล์ HAT

| | | |
|----------------------------|----|-----------|
| อาหารเลี้ยงเซลล์ RPMI 1640 | 1 | ลิตร |
| HAT 100X | 10 | มิลลิลิตร |

ผสมให้เข้ากัน แล้วนำไปกรองด้วย Millipore ขนาด 0.22 ไมครอนเมตร แบ่งใส่ขวด ขวดละ 100 มิลลิลิตร แล้วเก็บไว้ที่อุณหภูมิ 4 องศาเซลเซียส

6) 50% PEG (Polyethylene glycol)

นำ PEG 5 กรัมมาอุ่นให้ละลายที่อุณหภูมิประมาณ 60 องศาเซลเซียส เติมอาหารเลี้ยงเซลล์ RPMI 1640 ปริมาตร 5 มิลลิลิตร ผสมให้เข้ากัน แล้วแบ่งใส่หลอด หลอดละ ประมาณ 1 มิลลิลิตร นำไปเก็บที่อุณหภูมิ 4 องศาเซลเซียส ก่อนหลอมรวมเซลล์ นำหลอดมาอุ่นไว้ที่อุณหภูมิ 37 องศาเซลเซียส

7) น้ำยาเก็บเซลล์แช่แข็ง (Freezing medium)

| | | |
|----------------------------|----|-----------|
| อาหารเลี้ยงเซลล์ RPMI 1640 | 90 | มิลลิลิตร |
| Dimethyl sulfoxide (DMSO) | 10 | มิลลิลิตร |

ผสมให้เข้ากัน แล้วนำไปแช่ที่อุณหภูมิ -20 องศาเซลเซียส (ใช้งานขณะเย็นประมาณ 4 องศาเซลเซียส)

4. การเตรียมสารละลาย สำหรับใช้ในการทำแอนติบอดีให้บริสุทธิ์

1) 20 mM Sodium phosphate pH 7.0

| | | |
|--|------|------|
| $\text{Na}_2\text{PO}_4 \cdot 12 \text{H}_2\text{O}$ | 2.77 | กรัม |
| $\text{NaH}_2\text{PO}_4 \cdot \text{H}_2\text{O}$ | 1.69 | กรัม |
| น้ำกลั่น | 1 | ลิตร |

ไตเตรตต่างด้วยกรด จนได้ pH 7.0 แล้วจึงนำไปกรองด้วย Millipore ขนาด 0.22 ไมโครเมตร

2) 0.1 M glycine-HCl pH 2.7

| | | |
|-----------|------|-----------|
| Glycine | 7.5 | กรัม |
| Conc. HCl | 2.42 | มิลลิลิตร |
| น้ำกลั่น | 1 | ลิตร |

ไตเตรตต่างด้วยกรด จนได้ pH 2.7 แล้วจึงนำไปกรองด้วย Millipore ขนาด 0.22 ไมโครเมตร

3) 1 M Tris HCl buffer, pH 9.0

| | | |
|-------------|--------|------|
| Trizma base | 121.14 | กรัม |
| Conc. HCl | 6.41 | กรัม |

ไตเตรตต่างด้วยกรด จนได้ pH 9.0 แล้วจึงนำไปกรองด้วย Millipore ขนาด 0.22 ไมโครเมตร

5. การเตรียมสารละลายที่ใช้ในการทำ SDS-PAGE

1) 10% Separating gel (1 แผ่น ปริมาตร 8 มิลลิลิตร)

| | | |
|---|-------|-----------|
| น้ำกลั่น | 3.836 | กรัม |
| 40% Acylamide/Bis | 2 | มิลลิลิตร |
| 1 M Tris-HCl pH 6.8 | 2 | มิลลิลิตร |
| 10% SDS | 80 | ไมโครลิตร |
| 10% $(\text{NH}_4)_2\text{S}_2\text{O}_8$ | 80 | ไมโครลิตร |
| TEMED | 40 | ไมโครลิตร |

ผสมให้เข้ากันโดยเติม TEMED เป็นอย่างสุดท้ายเพื่อให้เกิดการ polymerization

2) 5% Stacking gel (1 แผ่น ปริมาตร 2 มิลลิลิตร)

| | | |
|---|-------|-----------|
| น้ำกลั่น | 1.204 | มิลลิลิตร |
| 40% Acylamide/Bis | 250 | ไมโครลิตร |
| 1 M Tris-HCl pH 6.8 | 504 | ไมโครลิตร |
| 10% SDS | 20 | ไมโครลิตร |
| 10% $(\text{NH}_4)_2\text{S}_2\text{O}_8$ | 20 | ไมโครลิตร |
| TEMED | 2 | ไมโครลิตร |

ผสมให้เข้ากันโดยเติม TEMED เป็นอย่างสุดท้ายเพื่อให้เกิดการ polymerization

3) SDS Staining dye

| | | |
|--------------------------|-----|-----------|
| SDS dye | 900 | ไมโครลิตร |
| β -mercaptoethanol | 100 | ไมโครลิตร |

4) Running buffer

| | | |
|-------------|------|------|
| Trizma base | 15.1 | กรัม |
| Glycine-HCl | 94 | กรัม |
| SDS | 5 | กรัม |
| น้ำกลั่น | 1 | ลิตร |

5) Staining solution

| | | |
|-------------------------------|-----|-----------|
| Comassie brilliant blue R 250 | 5 | กรัม |
| 95% Ethanol | 450 | มิลลิลิตร |
| Acetic acid | 100 | มิลลิลิตร |
| น้ำกลั่น | 450 | มิลลิลิตร |

6) Destaining solution

| | | |
|---------------------|-----|-----------|
| Methanol | 250 | มิลลิลิตร |
| Glacial acetic acid | 70 | มิลลิลิตร |
| น้ำกลั่น | 680 | มิลลิลิตร |

ประวัติผู้เขียนวิทยานิพนธ์

นางสาวอภิญญา แสงดอกไม้ เกิดเมื่อวันที่ 23 เมษายน พ.ศ.2529 ที่จังหวัด กรุงเทพมหานคร สำเร็จการศึกษาหลักสูตรวิทยาศาสตรบัณฑิต สาขา จุลชีววิทยา คณะวิทยาศาสตร์ มหาวิทยาลัยศรีนครินทรวิโรฒ ในปีการศึกษา 2550 และเข้าศึกษาต่อใน หลักสูตรปริญญาวิทยาศาสตรมหาบัณฑิต หลักสูตรเทคโนโลยีชีวภาพ คณะวิทยาศาสตร์ จุฬาลงกรณ์มหาวิทยาลัย เมื่อปีการศึกษา 2551 เสนอผลงานเรื่อง **Production and Characterization of Monoclonal Antibodies Against Aflatoxin M₁** ในการประชุม International Conference on Environmental, Biomedical and Biotechnology 2011